

26.3(2053)
М34

RECORDS OF THE GEOLOGY
OF THE WEST SIBERIAN REGION

МАТЕРИАЛЫ
по
ГЕОЛОГИИ
ЗАПАДНО-СИБИРСКОГО КРАЯ

ВЫПУСК 16.

ИЗДАНИЕ З.С.Г.Г.Т.

19

*

ТОМСК

*

34

~~4057~~

~~X~~

~~neg. ip~~

97 17361

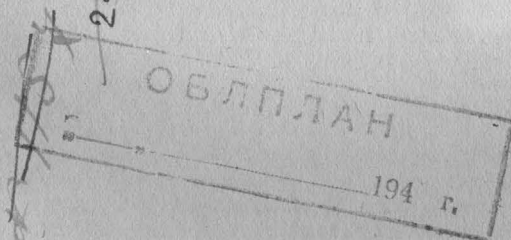
26.3(2P53)
МЗН

RECORDS OF THE GEOLOGY
OF THE WEST SIBERIAN REGION

МАТЕРИАЛЫ
по
ГЕОЛОГИИ
ЗАПАДНО-СИБИРСКОГО КРАЯ

ВЫПУСК 16.

ОТВЕТСТВЕННЫЙ РЕДАКТОР ПРОФ. М. А. УСОВ.



ИЗДАНИЕ З.С.Г.Г.Т.

ТОМСК

*

34

СОДЕРЖАНИЕ.

1. Некипелов М. Е.—Майнское серноколчеданное медно-цинковое месторождение	3
Nekipelov M. E.—The Mainsky Pyrite-Zink Deposit	
2. Краснопеева П. С.—Кельбесский золотоносный район	50
Krasnoperueva P. S.—The Kelbes Goldbearing Region	

Томск, Горлито № 1421-34 г.
Сдано в набор 21/X-34 г.
Подписано к печати 20/XII-34 г.
Объем 41/2 печатн. листа

Статформ. 176×250/16
Тип. зи. в 1 печатн. л. 63104
Тираж 500 экз.
Заказ № 2987-34 г.

Томск, типография изд. „Красное Знамя“ — Советская ул. № 3.

МАИНСКОЕ СЕРНОКОЛЧЕДАННОЕ МЕДНО-ЦИНКОВОЕ МЕСТОРОЖДЕНИЕ.

М. Е. Некипелов.

The Mainsky Pyrite Copper-Zink Deposit.

By M. E. Nekipelov.

I. Введение.

1. Вступление.

В 1930 г., по инициативе Инцветмета, Зап.-Сиб. КрайГРУ была организована Майнская геолого-разведочная партия, техруком которой был назначен горн. инж. В. А. Нуднер. Партия вошла в состав группы геолого-разведочных партий Инцветмета, работавших в Хакасско-Минусинском районе, под общим руководством горн. инж. В. С. Домарева. С осени 1930 г., с момента организации Хакасско-Минусинской Геолого-Разведочной Базы, Майнская г.-р. партия переходит на стационарный тип работ. В мае 1932 г., в связи с переходом В. А. Нуднера на другую работу, работы Майнской г.-р. партии были продолжены мною.

Помимо выше отмеченных работ в исследовании Майнского месторождения принимали участие и геофизические партии: в 1930 г. Геофизическим Институтом ГГГРУ и Геофизическим отделом ЦНИГРИ в 1932 г. были проведены на Майнском м-нии электрометрические работы как в первом, так и во втором случае—под руководством горн. инж. Ю. Н. Лепешинского.

За период с 1930 г. и по февраль 1934 г., при ежегодном консервировании работ, с последующей их организацией, Майнской геолого-разведочной партией все же проведены значительные работы, выразившиеся в проведении поверхностных выработок, колонковых скважин и шахты.

В камеральных работах партии в 1933—34 г.г. по составлению отчета за весь период работ принимали участие прораб Б. А. Фортес и ст. коллектор И. В. Дробуния. Микроскопическое описание керна большей части буровых скважин сделано геологом Н. М. Анисимовой. Минерографическое описание проведено в лаборатории Треста геологом А. А. Онсовской. Химические анализы руд Майнского м-ния проведены лабораторией Хакасско-Минусинской Геолого-Разведочной Базы и лабораторией Треста в г. Томске.

При составлении отчета, а также до этого момента я пользовался консультацией проф. М. А. Усова и геолога И. К. Баженова, которым выражают глубокую благодарность.

2. Исторический обзор исследования месторождения.

Майнское меднорудное месторождение было известно еще в XVIII столетии. По литературным источникам, на данном месторождении в 1732 г. был основан „Майнский“ рудник, и под этим наименованием „рудника“ он в Зап.-Сиб. крае до сих пор и числится.

Гмелин, посетивший рудник в 1738 г., застал его разрабатывавшимся при помощи шахты, глубиной 8 саж., из которой работы производились на 3 горизонтах. Описываемые Гмелевым руды, по мнению проф. В. В. Никитина, соответствуют шлаковой руде, или хризоколле, причем содержание руды было „от 48 до 60 фунтов меди в центнере руды“, т. е. 12—15%. Руды плавились на Луказинском заводе (вероятно, Лугавское село), основанном в 1740 г. и через 9 лет уже закрытом (8).

Через 35 лет, в 1773 г., Майнский рудник посетил Паллас (11), который пишет: „Его можно прimitить издалека по красной глине, лежащей вместе с рудой выкопанной. Уже работу провели сажен на 20 в гору, однако все теперь уже или сожжено или упало и нельзя более попасть в гору. В нем ломали толстую горизонтальную жилу, состоящую из медного колчедана, горной смолы и богатого медного глянца, безпрерывно в глубину простирающуюся. Все здешние мужики, кои в то время тут ни работали, признаются, что отпрыгивающие в глубину прожилки нарочито проходили, забивали и замазывали, чтоб было не видно потому, что все горные служители, при заведении Луказинского завода бывшие, по разным причинам, особенно что не желали быть в толь отдаленных местах, старались, дабы Майнский рудник, как богатейшую и выгоднейшую руду содержащий, был оставлен. Известно также, что как повеление об оставлении присекшейся жилы последовало, и против их чаяния велено им вместо Екатеринбурга, куда они желали возвратиться, далее в Нерчинск отправиться“...

В последующие годы никаких сведений о разработках на Майнском месторождении не имеется, только около 1880 г., по собранным Г. Г. Келлем (5) сведениям, производились работы неким Чернядьевым, по словам одного из рабочих которого медная руда была зеленая и синяя и находилась небольшими гнездами между черными и красными железняками.

Далее, по сведениям В. В. Никитина, полученным от местных жителей д. Означенной, в 1905 г. возобновил работы А. В. Блуменау. Данное имя связано с работами компании, „в составе которой, повидимому, принимал участие и основатель медного дела на Улене горный инженер М. Ф. Делярю“ (7). Между прочим, в фондовом отделе была обнаружена схематическая копия с подлинника, составленного Блуменау, каковым производились восстановление древних подземных выработок и их обмер и составление плана в феврале 1905 г.

В 1905 же году, уже после восстановительных работ Блуменау, посетил Майнский рудник К. М. Аргентов, который сообщает, что на руднике пробито 2 шахты и около десятка шурfov. Во второй шахте вскрыт тонкий прожилок мощностью 1,5—2 вершка медной руды, состоящий из самородной меди, красной медной руды и малахита (7).

В 1915 и 16 г.г. Майнское месторождение посетили по поручению Южно-Сибирского о-ва Горно-Металлургических заводов эксперты: горн. инж. Г. Г. Келль и проф. В. В. Никитин. Данная экспертиза констатировала наличие зоны железной шляпы и привела Г. Г. Келля к выводу: „Большие размеры залежи железняков определяют, очевидно, существование на глубине грандиозной колчеданной залежи“. На основании данной благоприятной экспертизы, в 1917 г. Г. Г. Келль, под руководством В. В. Никитина, были поставлены разведочные работы, выразившиеся в проведении 5 буровых скважин, глубиной до 185 м каждая, которые и подтвердили наличие здесь колчеданного месторождения. Основной результат этой разведки Г. Г. Келль формулировал так (5): „Среднее содержание меди одной из скважин в зоне цементации в рудной толще, не разделенной прослойками пустой породы, при истинной мощности в 5 м,

определенность в 11,92%. Мощность залежи, включая и промежутки пустой породы, может быть принята равной 10,2 м. Таким образом, промышленный характер месторождения выясняется с полной достоверностью".

В 1922—23 гг. геологом И. К. Баженовым была произведена геологическая съемка района Маинского месторождения, при чем в своем отчете об исследовании района он также помещает данные и о результатах исследования самого месторождения, где на основании материалов разведочных работ 1917 г., в которых он принимал участие, дается петрографическое описание, характер зоны оруденения и оценка месторождения (1).

И. К. Баженов устанавливает наличие двух жил, расположенных параллельно друг к другу, при чем основные данные относятся к нижнему телу. Принимая во внимание работы XVIII столетия, он устанавливает две зоны вторичных сульфидов: I зона на глубине 85 и II — на глубине 50 м от поверхности. На горизонтах ниже 100 м залегают уже первичные руды.

Большое протяжение по вертикали зоны обогащения от 50 м до 85 м И. К. Баженов объясняет сложными физико-географическими условиями, в которых протекала жизнь данного района в последний геологический период, влияя на постепенное изменение депрессионного уровня грунтовых вод в сторону повышения, они тем самым расширяли зону накопления вторичных сульфидов. Настоящий период жизни района характеризуется понижением депрессионного уровня грунтовых вод, вследствие чего начался процесс окисления II зоны вторичных сульфидов, каковые в растворах погружаются на более глубокие горизонты, обогащая своим отложением I зону вторичных сульфидов. По этой причине и ряду других И. К. Баженов считает зону II вторичных сульфидов не особенно богатой.

Верхняя жила работами 1917 года встречена везде в зоне выщелачивания, при чем она выполнена охрами и опалами. И. К. Баженов полагает, что можно ожидать и в ней на большой глубине соответственных зон обогащения вторичными сульфидами.

Относительно первичных руд анализы Г. Г. Келля показали отсутствие Cu, Ag и Au в пирите, но данную характеристику зоны первичных руд И. К. Баженов считает сомнительной и приписывает это неточности анализа руд.

С 1930 года начались разведочные работы Зап.-Сиб. ГРУ. За период с 1930 года и по февраль 1934 г., кроме довольно значительных поверхностных разведочных работ, пройдено 15 буровых скважин, глубиной от 150 м и до 350 м, и шахта № 5 глубиной 120 м, с горизонтальными выработками на двух горизонтах.

3. Оро- и гидрография района.

Маинское медное месторождение находится в 80 км на Ю от г. Минусинска и в 7 км от д. Означенной, Аскынского района, Хакасской автономной области, будучи расположено в предгориях Зап. Саяна, среди гористой живописной местности на левой стороне р. Енисея. Предгория Зап. Саяна резко выступают над степной областью у д. Означенной и далее на юг быстро повышаются. У д. Означенной р. Енисей выходит из Саяна и затем, значительно расширившись, образует многочисленные покрытые пышной растительностью острова.

В южном направлении правобережная часть Енисея, до широты Маинского рудника, представлена высокой грядой, куда входит г. Амай, с отметкой около 700 м. Эта гряда является водоразделом между ключами, впадающими в рч. Сизую, и ключами, уходящими в степь, при этом

г. Амай служит водоразделом для рч. Сизой и кл. Никитинского. Против г. Амай, на левой стороне р. Енисея, расположены Майнская гора, с отметкой 634 м, и несколько южнее г. Баштак, с отметкой выше 753 м, при чем последняя является водоразделом для рч. Уй и кл. Разведочного. Абсолютная отметка р. Енисея на широте Майнского рудника равна, примерно, 300 м. В 3 км на Ю от Майнского рудника в Енисей впадает рч. Уй. Все эти речки обладают спокойным течением и протекают по разработанным долинам, занимая весьма незначительную часть их тальвега.

Горный ландшафт местности характерен мягкими очертаниями, южнее же широты рч. Уй горы вблизи Енисея приобретают более резкие очертания и нередко сопровождаются отвесными скалами. На юге над всей горной системой высится Таскылы; слева Таскыл с гольцом Бурус (абс. отм. 2.100 м) и справа Голый Таскыл, или Итем (абс. отм. 1.900 м), с голыми причудливой и красивой формы вершинами, покрытыми до августа снежным покровом, исчезающим только (и то не всегда) на весьма короткий период.

По развитию растительности участок Майнского месторождения можно характеризовать, как лесостепной, но уже в 10—15 км на ЮВ и на ЮЗ он переходит в лесистую тайгу, где производятся Леспромхозом заготовки леса и дальнейший сплав его по речкам и р. Енисею.

II. Краткий геологический очерк.

1. Геологическое строение района месторождения.

Район Майнского медного м-ния расположен в северной части Зап. Саяна. В состав его входит довольно сложный комплекс горных пород, слагающих данную горную систему. На севере Западный Саян у д. Означенной граничит с породами Минусинской котловины, прикрытой молодыми рыхлыми образованиями: енисейским галечником и аллювиально-делювиальными отложениями, в состав которых входят озерно-речные песчаноглинистые породы (5, 19—23). В самой северной части Зап. Саяна здесь залегают глубинные изверженные породы, каковые имеют значительное распространение, протягиваясь широкой полосой, примерно, в широтном направлении от р. Абакана до Енисея и далее на восток. Данная линейная интрузия получила от И. К. Баженова наименование „Майнский гранодиорит“ (1). Южнее, также в широтном направлении, проходит полоса эфузивных пород, так называемая эфузивная оторочка Зап. Саяна, каковая, будучи прорвана интрузией Майнского гранодиорита, претерпела контактное воздействие, выразившееся, главным образом, в окремнении, хлоритизации и эпидотизации горных пород. Эфузивы являются вмещающей толщей для ряда месторождений цветных металлов, преимущественно—médных, в частности и для Майнского месторождения, при чем м-ния располагаются вблизи контакта с интрузией Майнского гранодиорита.

У Майнского месторождения эфузивные породы представлены порфиритами, превращенными в некоторых участках в хлоритовые сланцы; они слагают здесь полосу шириной около 2 км. Обращает на себя внимание образование отдельных участков рассланцованных хлоритизированных порфиритов, давших хлоритовые сланцы, которые образуют неправильной формы отдельные зоны, не прослеживающиеся в каком-либо одном направлении на более или менее значительное расстояние. И сама по себе рассланцовка весьма разнообразна по интенсивности: от слабых намеков на рассланцовку в порфиритах до основательно рассланцованных хлоритовых сланцев. Подобное образование рассланцованных пород, вероятно, обусловлено тектоническим давлением, которое в зонах пород, ослабленных процессом хлоритизации, и привело к внутреннему смещению частиц, с образованием

*ланцеватости перпендикулярно направлению давления. А неодинаковое по интенсивности и по распространению в порфириатах проявление процесса хлоритизации обусловило образование также неправильных участков и зон хлоритовых сланцев.

Кроме этой сплошной полосы эфузивных пород, среди интрузии Майнского гранодиорита обнаруживаются отдельные их островки, представляющие остатки в кровле интрузива толщи порфириотов, снесенной денудационными процессами.

На Ю полоса порфириотов контактирует с метаморфической толщей Зап. Саяна, каковая И. К. Баженовым разделяется на два отдела: I и II отдельы метаморфической толщи, которых я не рассматриваю, так как они находятся на значительном расстоянии от Майнского месторождения. Необходимо только отметить, что Енисей, пробиваясь через Зап. Саян, пересекает шесть гранитных интрузивов (4, 9) с Ю на С: Шугурский, Большепорожский, Гремячинский, Березовский, Джойский и Майнский.

Все тела гранитов имеют вытянутую линзовидную форму вдоль господствующего направления складок, при чем обнаруживается сложение этих тел в ту или другую сторону, согласно залеганию метаморфической толщи. Такой факолитообразный характер интрузивов подмечен Н. А. Молчановым, который полагает, что все тела гранитов представляют геологически одновременные образования, являясь дериватами одной интрузии, и что Майнский гранодиорит является наиболее кислым, обогащенным минерализаторами, остатком дифференциации, внедрившимся в последнюю стадию интрузивного процесса (4).

Толща порфириотов и афанитов, вмещающая Майнское месторождение, граничит на Ю с I отделом метаморфической толщи Зап. Саяна по зоне сплошного раздробления, в состав которой входят также кристаллические известняки. Возраст этих известняков кембрийский и определен благодаря найденной как Баженовым, так и Батовым (3, 4) фауне археозиат. По стратиграфическим соотношениям Баженов относит Майнские эфузивы к нижнему кембрию, и кристаллические известняки и метаморфические сланцы I отдела к Ст₁₋₂ (12).

Майнский гранодиорит, который прорывает породы кембрия, по исследованиям И. К. Баженова, нигде не появляется среди пород силура, почему данной интрузии приписывается им верхне-кембрийский возраст, и его внедрение связывается с проявлением Салаирской фазы складчатости (12).

В последующем здесь проявились резкие надвиговые перемещения, направленные на север. В районе Майнского месторождения одна крупная тектоническая линия проходит через д. Означенную, где круто поднимающейся Зап. Саян. граничит с Минусинской котловиной, и вторая широкая зона нарушения проходит к Ю от Майнского месторождения, где она имеет ширину до 3 км, будучи прослежена до широты рч. Уй. Возраст данного надвига Баженовым определяется, как послекарбоновый. Молчанов же полагает, что по возрасту — более молодой и связывает его с альпийскими горообразовательными движениями.

2. Характеристика горных пород.

Известные горные породы в районе Майнского месторождения существуют в виде двух категорий: интрузивных и эфузивных.

Среди интрузивных пород наибольшее значение, с точки зрения генезиса месторождений цветных металлов, имеет Майнский гранодиорит, околовконтакта с которым и концентрируются отдельные рудные месторождения. По внешнему облику гранодиорит представляет средне, а иногда и круп-

нозернистые породы, сероватожелтого до розового цвета. Макроскопически он состоит из полевого шпата, кварца и роговой обманки, почему в поле Баженовым был определен как гранодиорит. Микроскопически породы состоят также существенно из кислого плагиоклаза, альбитолигоклаза, кварца и роговой обманки; кроме того, встречаются магнетит и эпидот, при чем они должны быть отнесены, особенно—последний, к продуктам поствулканической деятельности интрузии.

Шлифы керна скважины № 6 с глубин 135—178 м, где она вошла в гранодиорит, состоят также в основном из альбита № 6—9, крупных зерен кварца и незначительного количества роговой обманки, при чем этот агрегат имеет гранитовидную структуру. Такая порода более точно должна быть названа кварцевым альбититом. В подчиненном количестве в ней встречаются хлорит, эпидот и магнетит, а также кальцит; полевые шпаты частично подверглись серицитизации.

Баженов, изучив Маинскую интрузию на большом протяжении, фиксирует полное отсутствие сопровождающих жил; только по рч. М. Калы были встречены пегматиты мясокрасного цвета. Такое же отсутствие жильных образований наблюдается и на самой площади Маинского месторождения, где обнаруживаются только две или три незначительных по мощности кварцевых жилы.

Эффузивные породы имеют значительное распространение, залегая широкой полосой в широтном направлении, и являются вмещающими породами Маинского месторождения. На площади самого месторождения полоса эффузивов достигает ширины 2—2,5 км. Внешний облик эффузивов довольно однообразен: это—плотные, большей частью тонко- или скрытозернистые породы, серого, серовато-зеленого и черного цвета, иногда значительно окремненные—и тогда приобретают светлые оттенки. Эффузивы в некоторых местах рассланцованны, образуя хлоритовые сланцы. Мощность участков со сланцами иногда значительна, но большей частью они имеют неправильные контуры, с незначительной мощностью от 2 до 3 м; кроме того, наблюдаются отдельные рассланцованные участочки в несколько сантиметров мощностью.

Микроскопически эффузивы представляются довольно разнообразными, по крайней мере—в структурном отношении. Прежде всего, имеются хорошо выраженные порфириты с довольно крупными порфировыми выделениями идиоморфного плагиоклаза № 35 и с гиалопилитовой основной массой. Затем, очень часто встречаются диабазовая и особенно интерсеральная структуры, с пересекающимися в различных направлениях тонкими лейстами плагиоклазов; таким породам нужно дать наименование диабазовый порfirит, а в некоторых местах и диабаз. Иногда, правда, очень редко, встречаются и афаниты с хлоритизированной стекловатой массой. К структурному разнообразию эффузивной толщи необходимо отнести и миндалекаменные разности, у которых миндалины выполнены эпидотом и кварцем, а также хлоритом и иногда кальцитом.

Нередко эффузивы, при одинаковом макроскопическом облике, представлены альбитофирами. К альбитам относятся и фенокристы некоторых пород: при замерах на Федоровском столике плагиоклаз дал № 8. Иногда участки породы представляют агрегат мелких лейст альбита и изъеденных зернышек кварца с основной фельзитовой массой, так что здесь имеются и кварцевые альбитофиры.

Эффузивные породы изменены последующими процессами, из которых доминирующими являются эпидотизация, окремнение и хлоритизация. Эпидот играет значительную роль в составе пород, но распределен крайне неравномерно. В некоторых шлифах он занимает подчиненное положение, при чем местами заметно его образование за счет плагиоклазов. Зато в других

горизонтах буровых скважин, особенно по мере приближения к рудной зоне, эпидот заполняет шлиф иногда полностью. В таких случаях порода приобретает желтовато-зеленоватый цвет. Иногда наблюдается заполнение эпидотом только трещинок основной массы. Большое распространение в составе эфузивной толщи имеют окремненные порфиры, приобретающие светлые оттенки. Последний процесс особенно интенсивен по мере приближения к рудной зоне, при чем в шлифах кварц наблюдается, по крайней мере, минимум в двух генерациях. Третий процесс, который также имеет значительное распространение, это—хлоритизация. Этот процесс характерен неравномерностью как по распространению, так и по интенсивности. Так, встречаются зоны, где хлорит имеет подчиненное положение по отношению прочих компонентов, но в некоторых участках эфузивной толщи он значительно распространен, и здесь он занимает все поле шлифа.

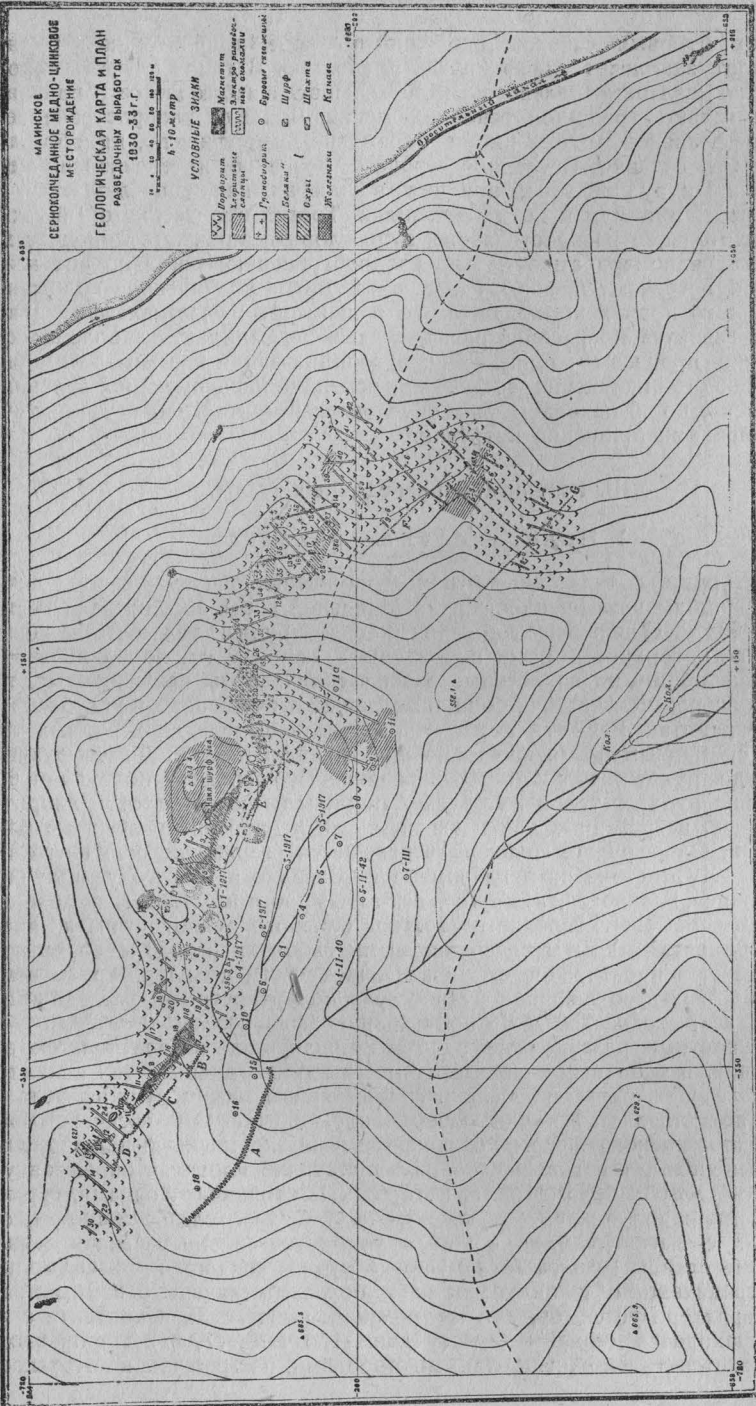
Частично процессы хлоритизации и серицитизации связаны со стадией зеленокаменного изменения эфузивов, почти сплошь имеющих зеленоватую окраску, но в основном они обусловлены контактово-метасоматическими явлениями Майнской интрузии.

III. Результаты разведочных работ.

1. Поверхностная разведка.

Выходы рудных тел Майнского месторождения обнаруживаются почти у самой вершины возвышенности, или Майнской горы, абсолютная отметка которой—634 м. С целью исследования выходов рудных тел месторождения на дневную поверхность были проведены в 1930—32 г. довольно значительные по об'ему поверхностные разведочные работы как канавные, так и шурфовые, при чем частично они представляют очищенные и углубленные старые выработки. Все эти выработки вскрыли выхода двух рудных тел, с общим суммарным протяжением по простирианию в 700 м. Доминирующее простириание рудных тел СЗ: 290° и падение юго-западное под углом 60°. Простириание рудных тел и их падение подчинены сланцеватости хлоритовых сланцев, встреченных как в висячем, так и особенно в лежачем боку рудных тел. Одно рудное тело, подвергвшееся разработке еще в тридцатых годах XVIII столетия и планомерной разведке в 1917 году, получило наименование „Главного“, а другое, вскрытое работами 1930 г. и меньшее по размерам,—„Северо-западного“. Выхода Главного рудного тела на дневную поверхность вскрыты поверхностными работами на 450 м по простирианию, при чем простириание его в восточной части довольно круто изменяется на СВ. Северо-западное рудное тело поверхностными разведочными работами вскрыто на 250 м по простирианию (фиг. 1).

Поверхностные разведочные работы прошли везде в зоне полного выщелачивания, и основными показателями выходов рудных тел являлись: бурые железняки, охры и „беляки“. Нормальный разрез рудного тела по канавам представляется в следующем виде, начиная от висячего бока: обыкновенно зеленовато-серый большую частью окремненный порфирит постепенно переходит в „беляк“, породу достаточно плотную, окремненную, желтовато-белого и белого цвета, которая затем граничит с охрами, бурыми железняками и полуопалами; в лежачем боку бурые железняки иногда контактируют с магнетитом, за которым находятся сильно рассланцованные хлоритовые сланцы (канава № 4). Иногда рудная зона представлена только охрами, граничащими с полуопалами и беляками (канавы 5 и 9), или же выход характеризуется бурыми железняками (кан. № 3), в контакте с которыми находятся охры и беляки (кан. 11, 12, 16, 17, 27). Порой выход ограничивается только опаловидными породами, по трещинкам которых от-



Фиг. 1.

ложились натеки бурого железняка (кан. 15, 26, 33). Некоторые канавы особенно в ЮВ. части „Главного“ рудного тела, вскрыли только отдельные полосы беляков с мелкими порами, заполненными лимонитом (кан. 1, 35, 36, 37, 39). Между прочим, поверхностными работами были вскрыты и отдельные апофизы гранодиорита (кан. 1, 8, 21, 35, 36, 38).

Принимая за выхода рудных тел бурые железняки и охры, а также полуопалы, мы будем иметь следующие мощности выходов рудных тел Майнского месторождения на дневную поверхность (табл. I и II).

Таблица I. Мощность выходов Главного рудного тела.

Развед. канавы	Мощность выхода рудного тела <i>m</i> .
№ 5	22
№ 9	7
№ 4	6
№ 3	14
№ 2	2
№ 8	8

Таблица II. Мощность выходов Северо-западного рудного тела.

Развед. канавы	Мощность выхода рудного тела <i>m</i> .
№ 12	4
№ 11	4
№ 15	5
№ 16	4,5
№ 17	26
№ 18	3

Далее на ЮВ выхода Главного рудного тела представлены беляками, с весьма незначительной по мощности зоной полуопалов, пронизанных жилочками лимонита и охры.

Для уточнения выходов рудных тел и для выявления элементов залегания, главным образом,угла падения, что при проектировании буровых скважин имеет первенствующее значение, были проведены шурфовые работы.

Наклонный шурф № 4 задан у северного конца канавы № 4 и пройден по охре. Угол наклона ствола шурфа изменяется от 32° и до 68° . На глубине 18,5 *m* по вертикали пройден на С-квершлаг вкrest простирания Главного рудного тела. Начиная с С на Ю выработка вскрыла сначала хлоритовые сланцы, падающие на Ю под углом 70° . В трещинах сланца белые каолинизированные образования окрашены в зеленый цвет налетами медной зелени. За хлоритовым сланцем проходит зона нарушения, представленная вязкой глинистой массой, с различного характера обломками хлоритовых сланцев, охры и налетами медной зелени. Мощность данной зоны 0,5 *m*. Со 2-го *m* от забоя обнаруживается светлозеленый обесцвеченный порфирит, который по мере приближения к магнетиту делается темнее. Мощность порфирита 0,4 *m*. За порфиритами следует магнетит, мощность которого по зап. стене около 1 *m* и по восточной—0,75 *m*. Магнетит—тонкосернистый, плотный, серого цвета, сильно рассланцованный, по плоскостям рассланцовки—отложения охры. Магнетит южнее граничит с бурьими железняками, граница с которыми местами ясная и содержит линзочки охры, а местами как бы наблюдается постепенный переход. Бурые железняки пористые и крепкие, покрытые красноватобурым налетом туриита, мощностью около 3 *m*, постепенно переходят в охру. Мощность охры здесь значительна и достигает 10 *m*. В лежачем боку охры перемешаны с бурьими железняками и линзами каолинизированных и окремненных пород, при чем в этом участке заметно сильное смятие пород. Южнее охры представляют собой кварцевый скелет (сетку), заполненный бурьими окислами железа и получившийся за счет выщелачивания рудной вкрапленности. Охра бурого, местами желтобурого цвета. Падение всех пород на юг около 70° . На 16 *m* от С. конца забоя охра граничит с „беляками“, вначале рыхлыми, далее более плотными, слегка окремненными. На 21 метре квершлага „беляки“ контактируют с охрой. Жила охры имеет падение на Ю под углом в 60° . Мощ-

ность охр 1,5 м. Висячий бок рудного тела представлен „беляками“, сильно обожреными.

Рассмотрим теперь шурфы к ЮВ от шурфа № 4, заданные по простиранию Главного рудного тела.

Шурф № 7. Глубина 7,80 м. Пройдены две рассечки вкрест простирации рудного тела. Северная рассечка вошла в охры с каолинизированной рыхлой массой и обломками бурых железняков, которые затем переходят в сплошные плотные и ноздреватые и пористые бурые железняки. В висячем и лежачем боку рудного тела обнаруживаются „беляки“, переходящие на С в рассланцованные порфиры, а на Ю постепенно переходящие в желтозеленые слегка оглиненные порфиры. В общей своей массе беляки очень рыхлы и легко растираются рукой в песок: породы сильно выщелочены и почти сплошь изрезаны жилками охры и охристой глины. Мощность рудной зоны в разрезе данного квершлага—3,5 м. Падение рудной зоны на Ю $\angle 60^\circ$.

Шурф № 6. Глубина 18,70 м. До глубины 10 м шурф проходит по свалам старых выработок; глубже начинаются коренные породы—„беляки“, сильно пропитанные бурыми окислами железа. Затем, с 13,5 м шурф проходит через бурую рыхлую охру, которая по мере углубки, становится плотнее, включая в себе обломки бурых железняков. На дне шурфа мы уже имеем плотный и пористый железняк. Как в южном, так и в северном направлении вкрест простирации рудного тела даны рассечки. Рудная зона на данном горизонте представлена плотными бурыми железняками, переходящими кое где в сильно смятые бурого цвета породы, которые представляют смесь каолинизированных прослойков и частиц с охрой и обломками бурых железняков. К лежачему боку данная порода перемежается с различного характера участками в виде линз из рыхлых беляков и окремненных пород, которые сменяются охрами бурого цвета и опаловидными породами, с бурым железняком. Лежачий бок рудной зоны представлен окремненными „беляками“. Рудная зона к висячему боку от бурых железняков переходит также в бурую охру, чередующуюся с прослойками и линзами каолинизированных пород, переходящих в плотные окремненные участки. Вмещающие породы висячего бока представлены каолинизированным, с крупными зернами кварца, гранодиоритом. Мощность рудной зоны, вскрытой рассечками, 5,5 м.

Шурф № 8. Глубина 8 м. Шурф прошел по сильно рассланцованным порфирам и вошел в беляки, на трещинах которых отложились бурые окислы железа. Беляки представляют собой окремненную каолинизированную породу. Заданная северная рассечка была приостановлена из-за обвала.

Шурф № 20. Глубина 11 м. Северная рассечка данного шурфа вошла и остановлена в сильно каолинизированном гранодиорите.

Шурф № 23. Глубина 8 м. Задан по линии скв. № 11. Под небольшим покровом делювиальных отложений вскрыт слой полуопалов, с прожилками бурого железняка. На глубине 4 м полуопалы постепенно переходят в желтую обожренную, слегка окремненную каолинизированную породу („беляки“). А последняя на глубине 8,5 м граничит с порфиrom. Полуопалы различно окрашены, от краснобурого цвета, с различными оттенками до желтого, и пронизаны густой сетью трещинок, заполненных бурым железняком. Порфирит несколько обесцвечен, приобретая светлые оттенки. На глубине 9 м пройдена в южном направлении рассечка, которой пересечены желтые окремненные „беляки“, подстилаемые желтого цвета сильно оглиненным порфиrom. Южнее участками встречается среди беляков порфирит. На всем протяжении эти „беляки“ значительно окремнены, розового и краснобурого цвета. Породы сильно смяты и трещиноваты; по трещинкам обнаруживаются обильные натеки бурого железняка.

Шурф № 24. Глубина 9 м. До 5 м шурф проходил по обожренной окремненной породе, с тонкими прожилками бурых железняков по трещинкам; глубже идут порфиры желтозеленого и серозеленого цвета. Рассечка, заданная на С, вскрыла порфиры, в которых имеются опало-видные миндалинки, окрашенные медью в зеленый цвет. Южная рассечка также проходит по порфиру. На первом метре она встретила прожилок каолинизированной породы мощностью 0,4 м. Порода сильно обожрена, местами обильные образования лимонита, с миндалинками полуопалов, окрашенными в зеленый цвет. Южнее вскрыты порфиры.

Остальные шурфы мало интересны: шурфы №№ 16, 17, 26 и 27 прошли по „белякам“ и остановлены в порфириатах и шурф № 25 остановлен в гранодиорите.

В участке Северо-западного рудного тела пройдено 4 шурфа: №№ 19, 9, 11 и 21.

Шурф № 19, глубиной 3,25 м, прошел по каолинизированным породам. Охры коричневатого цвета. Кое-где встречаются куски бурых железняков.

Шурф № 9 пройден с 2 квершлагами. Северный квершлаг длиной 7,5 м проходит по белякам, кое-где рыхловатым, пропитанным бурыми окислами железа; местами они значительно окремнены, и по трещинам отложилась коричневого цвета охра. Южный квершлаг длиной 8 м прошел по охрам бурокрасного цвета и белякам.

Шурф № 11 глубиною 3,70 м прошел по белякам с незначительными охристыми участками.

Шурф № 21, незначительный по глубине, остановлен в слегка каолинизированных порфириатах.

Рассматривая данный материал поверхностной разведки, можно прийти к заключению, что выхода рудных тел Майнского месторождения относятся к зоне железной шляпы, представленной бурыми железняками, плотными, пористыми и ноздреватыми, с образованием местами сплошных масс туриита, охрами различной окраски от желтобурой до темно-красно-коричневой; полуопалами и „беляками“, при чем последние произошли за счет тех же порфириотов вмещающей эфузивной толщи под каолинизирующим воздействием сернокислых вод. Сернокислые воды, несомненно, образовались за счет окисления и растворения опускавшимися атмосферными водами главным образом пиритов, каковой процесс дал нам с одной стороны сульфат закиси железа, перешедший затем в лимонит, и с другой стороны—серную кислоту, каковая, внедряясь по трещинкам вмещающих пород, каолинизировала порфиры, при чем этот процесс сопровождался обесцвечиванием их. Кроме этого, в результате этого химического процесса образовался свободный кремнезем, благодаря которому и произошло окремнение уже каолинизированных порфириотов, а также образование полуопалов, разнообразные цвета которых зависят от бурых окислов железа и углекислых соединений меди, входящих в их состав.

Магнетиты и бурые железняки были опробованы проф. В. В. Никитиным; результаты этих проб, взятых из старых канав, представлены на таблице III.

Таблица III. Состав магнетитов и бурых железняков.

М е с т о	Cu	Au	Ag	S	Fe ₂ O ₃	FeO	Fe	H ₂ O
Магнетит с примазками малахита из канавы	1,38	Нет	Нет	0,15	71,20	3,10	52,4	1,47
Бурый железняк из канавы	0,47	Нет	Нет	0,28	85,06	—	60	—

Майнской г.р. партией были взяты пробы из шурфа № 4 и результаты анализов на медь приводятся в таблице IV.

Таким образом, железная шляпа м-ния почти свободна от меди. Нет в ней также золота и серебра.

Таблица IV. Химанализ железной шляпы м-ния из ш. № 4.

М е с т о	Расстояние в м.	П о р о д а	Cu
Ствол шурфа	От поверхности 16,30—19,30	Бурокрасная охра	Нет
Квершлаг	От штрека 4,45—5,45	Бурокрасная охра с бу- рыми железняками	Нет
	5,45—6,45		Нет
:	6,45—7,45		Нет
:	7,45—8,45		Нет
:	8,4 —9,45		Нет
:	9,45—10,45		0,06

2. Описание глубоких горных работ.

На Майнском м-нии имеются две категории глубоких горных выработок, относящиеся к различным периодам.

К древним выработкам относятся шахты №№ 1, 2 и 3, каковые были восстановлены в 1905 году А. В. Блуменгау. Этими выработками воспользовался проф. В. В. Никитин во время производства экспертных работ в 1916 году и сделал их описание (8).

Из этих выработок шахта № 1 наиболее хорошо сохранилась и имеет значительные выработки, которые были изучены партией, тогда как шахты № 2 и 3, хотя и возобновлялись, но в настоящее время обвалились и—по сведениям—имеют незначительные выработки. Шахта № 2 находится несколько северо-западнее шахты № 1, всего в 20, примерно, метрах. Теперь здесь достаточно глубокий обвал, получившийся в результате оседания выработок. По сведениям, которые получил проф. В. В. Никитин от жителя дер. Означенной З. И. Белозерова, шахта имеет глубину 6—7 саж. (13—15 м). Наличие вблизи нее шахты № 1 позволило игнорировать необходимость восстановительных работ по шахте № 2. Шахта № 3, расположенная в 30 м на ЮВ от шахты № 1, носит среди местного населения наименование „Тихоновской“. Эта шахта А. В. Блуменгау также была перебрана и перекреплена до глубины 20 саж. (42,6 м), но на этой глубине шахта еще не вышла из обвала (8), и в настоящее время без специальных работ нельзя спуститься в нее, так как у сруба шахты произошло значительное оседание пород.

Необходимо отметить, что глубокие горные работы, начатые в XVIII столетии, велись с целью добычи медной руды, которая свозилась на Луказинский завод, где и плавилась. Но уже в 1773 году, во время посещения Майнского рудника Галласом, рудник имел картину запустения: выработки большей частью обвалились, и пробраться в них уже нельзя было. Впоследствии выработки, вероятно, много раз возобновлялись отдельными лицами и в различные периоды. Последнее заключение проф. В. В. Никитин делает по остаткам крепей шахты № 1. Вероятно, другое наименование шахт, как например, шахта № 3—„Тихоновская“ и шахта № 1—„Чернидьевская“, связаны с последними предпринимателями, о которых еще сохранилась память у местного населения. В основном, судя по выработкам, особенно по обновленным, работы велись преимущественно в охрах. Проф. В. В. Никитин, хотя и затрудняется объяснить причину, что влекло

прежних мелких предпринимателей к охрам, но во всяком случае делает предположение, что здесь, вероятно, сказывалась возможность применения их в качестве красок. С нашей точки зрения последнее предположение является единственно верным, тем более, если учесть, что работы Майнского рудника известны с давних пор, и применение охры, в качестве красок, местным и окружным населением практикуется давным-давно. Мы встречались с такими рабочими, которые не имеют никакого представления о ведении горных работ, однако, они в прошлом специально посещали Майнский рудник и производили кустарную разработку охры из шахты № 1. Если же учесть более значительную потребность в красках в прошлом, хотя бы в масштабе бывшего Минусинского уезда, то будет вполне понятным такое появление отдельных предпринимателей, как некий Чернидьев, производивший работы, примерно, в 1880 году.

Шахта № 1. Глубина шахты 25 м. На этом горизонте шахта находится в хлоритизированных порфиритах, и последние два метра ее не закреплены, что обясняется достаточной устойчивостью и крепостью пород.

Со дна шахты, без какого-либо зумпфа, проведен квершлаг в южном направлении, вкrest простирания главного рудного тела. Как ствол шахты, так и квершлаг подвергались перекреплению в 1931 году. Длина перекрепленного квершлага 31 м. Повидимому, он продолжается несколько дальше, но вследствие обвала проникнуть к старому забою было нельзя. От квершлага отходят два штрека: юго-восточный и северо-западный, в настоящее время закрытые, но еще доступные проф. В. В. Никитину.

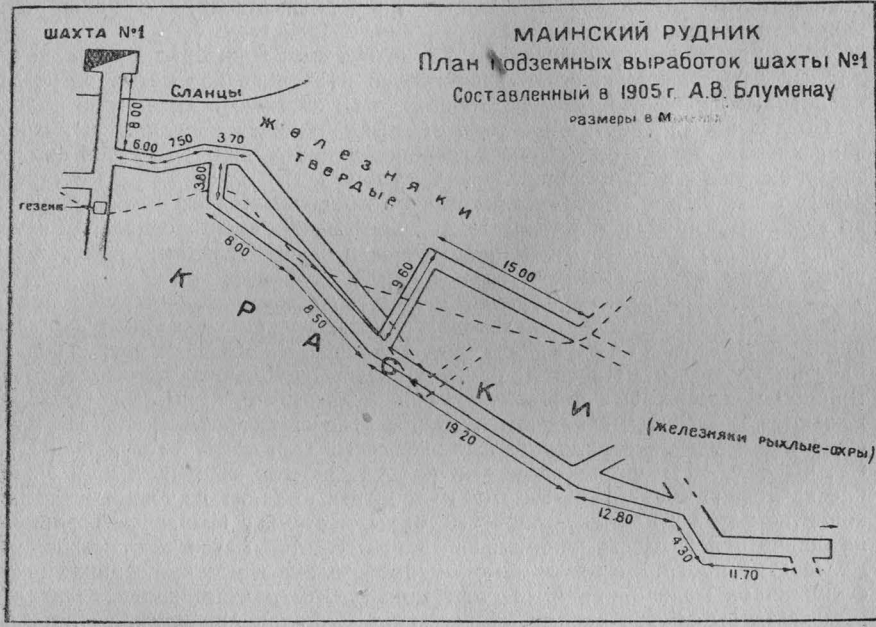
Первый из них, юго-восточный штрек, в который в настоящее время можно проникнуть не без некоторого риска, только через дыру, описан проф. В. В. Никитиным, осмотревшим его в 1916 г. Штрек вначале идет по плотному магнетиту, придерживаясь небольших прослоев выетрившихся хлоритовых пород и трещин в магнетите, в которых обнаруживаются примазки медной зелени. Проф. Никитин отмечает, что близ с'емочной точки № 8 видны работы верхнего горизонта, отступающие на СВ, что в свою очередь говорит за падение рудной залежи на ЮЗ. Падение крутое, примерно 70—80°. На 18 м штрек выходит из толщи железняков и вступает в красные глинистые охры, местами с включением жирной, на ощупь белой массы, напоминающей кил. В этой массе местами видны железистые прослои с включениями медной зелени и местами, повидимому, с кирпичной медной рудой. Породы здесь слабы и заполняют значительную часть выработки своими обрушениями. Обрушившиеся глыбы породы часто несут на себе гладкие поверхности скольжения. Медистые прослои обладают довольно значительным наклоном, затем ложатся почти горизонтально, с простиранием, приблизительно поперечным к направлению выработки, и с небольшим падением на ЮВ. Несмотря на это, выработки поворачивают не по простиранию прослоев, но, следуя приблизительно в прежнем направлении, сами углубляются все больше и больше. Руда представлена более или менее типичной, но убогим шлаковатым бурым железняком. Прослои очень тонки. Мощность их не превосходит обычно 3—5 см. Прослои включены в светлой опаловой породе. Выработка заканчивается гезенком, метра 4 глубиной, где уже медных прослоев не видно, и они заменяются темносерыми прослойками полуопала. Проф. Никитин приводит в своем описании и другой ЮВ. штрек, который, повидимому, вследствие значительных обрушений, не подвергался с'емке. Данный штрек вначале также проведен по плотным магнетитам, а затем в дальнейшем идет в охрах. Исклучительно редко наблюдаются в охрах пятна зеленого цвета, но и то, отмечает проф. Никитин, повидимому, не связанные с присутствием меди. В некоторых местах наблюдается оригинального вида брекчия, с угловатыми кусками цвета крем, включенными в темнокрасную

массу. Иногда штrek проходит по сплошной массе пористого бурого железняка. Оба штреka пройдены с наклоном в более глубокие горизонты и достигают, по примерным замерам проф. Никитина, 17 саж. (36 м) от устья шахты, при чем последний штrek проходит под первым.

Северо-западный штrek данной шахты прослеживается только на протяжении 10 м, а дальше он вступает в сплошные обрушения шахты № 2.

К сожалению, съёмка выработок, произведенная проф. В. В. Никитиным, не сохранилась, и в нашем распоряжении имеется лишь план 1905 г., составленный А. В. Блуменау (фиг. 2).

Заканчивая свое описание, проф. Никитин делает заключение, что древние работы, очевидно, преследовали прожилки хризоколлы, реже ма-



Фиг. 2.

лахита, при чем они встречались только в бурых железняках. Повидимому, о жилах хризоколлы говорит и Паллас, посетивший рудник в 1773 году. Если не принимать всерьез, что он сообщает о причинах закрытия работ Майнского рудника (приведено нами в историческом обзоре), то во всяком случае можно предполагать, что наиболее мощные скопления хризоколлы в виде толстой жилы были выработаны и что тонкие прослойки „присекшейся жилы“ было уже невыгодно разрабатывать, в результате чего Луказинский завод был закрыт. Кроме того, если посмотреть на геологическую карту Майнского месторождения, то можно видеть, что древние подземные работы велись на участке наиболее мощного развития бурых железняков и охр железной шляпы, т. е. там, где происходил процесс интенсивного выщелачивания, с образованием достаточно больших скоплений хризоколлы.

Проф. Никитиным было произведено опробование небольших куч добытой отсюда руды. Об этом он сообщает следующее.

Первая куча, или рудный штабель, состоял из мелких кусков хризоколлы, добытой или при разведочных работах Блуменау, а может быть и в еще более раннее время. Из этой кучи взята пробы № 2. Вторая куча представляла куски хризоколлы большой величины, при чем эта куча старше возрастом, так как она сильно побурела, очевидно, вследствие выветривания от долговременного лежания на воздухе. От данной кучи взята пробы № 3. Результаты анализа проб приведены на таблице V.

Таблица V. Результаты опробования штабелей хризоколлы.

№ пробы	Cu	SiO ₂	Al ₂ O ₃	Fe ₂ O ₃	CaO	Потеря п/прок.
№ 2	1,46	66,83	2,18	9,91	Нет	19,11
№ 3	5,63	43,15	—	—	—	—

Между прочим, проф. Никитин, отмечая пониженное содержание меди в пробе № 2, обясняет это тем, что им была взята для опробования опаловидная порода.

Затем проф Никитин приводит два анализа проб руды, взятых им из юго-восточного штрека шахты № 1 (табл. VI).

Таблица VI. Результаты опробования руды ш. № 1.

Р у д а	Au	Ag	Cu	S	Fe ₂ O ₃	FeO	Fe
Магнет	Нет	Нет	0,22	0,14	70,52	—	49,32
Железн. охры	0,04	0,16	1,42	0,16	23,91	—	16,8
В золотниках				В процентах			

283309
Майнской геолого-разведочной партией в 1930—31 г.г. была возобновлена шахта № 1, причем квершлаг был закреплен сплошной крепью. Этот квершлаг, проведенный в южном направлении и вкrest простирации рудной залежи, на 2 м от ствола шахты вошел сначала в магнетитовую залежь, мощностью в 2 м, а затем, пройдя „беляками“ метра полтора, пересек охры с отдельными кусками бурых железняков, общей мощностью в 3 м. В дальнейшем квершлаг прошел по белякам и на 32 м от ствола шахты остановлен. На 22 м от ствола шахты углублен гезенк. Гезенк, который по времени его углубки, относится к древним работам, также был возобновлен и углублен до 45 м; вместе же с глубиной шахты № 1 общая глубина вертикальных выработок составляет 70 м. Гезенк при своей углубке пересек выше отмеченную рудную залежь, при чем из него пройдено два квершлага. Верхний квершлаг, на глубине 47 м от поверхности в северном направлении, пересек рудную залежь со всеми особенностями, отмеченными выше, но только с несколько измененными мощностями, а именно—охры с кусками бурых железняков, имеют общую мощность в 2 м и магнетиты—2,5 м, при чем квершлаг в лежачем боку рудной залежи вошел в хлоритовые сланцы и на 12 м остановлен. Нижний квершлаг, пройденный на 70 м от поверхности в южном направлении, на 3 м вошел в магнетитовую залежь, мощностью в 3 м, и затем, пройдя 5 м беляками, на 11 м от ствола гезенка вошел в вышеупомянутые охры с отдельными кусками бурых железняков. На 14 м от ствола гезенка квершлаг из-за значительного притока воды был остановлен. По нижнему квершлагу была

БИБЛИОТЕКА

Основной фонд

Ф 17361

194 г.

взята пробы с каждого метра; результаты их анализа приведены на таблице VII.

Таблица VII. Результаты погодкового опробования нижнего квершлага ш. № 1.

Место взятия проб	Характеристика проб	Cu %
С 3 метра	Хлоритовые сланцы и магнетиты, охры и куски бурых железняков .	Следы
" 4 "		Следы
" 5 "		Следы
" 8 "		0,06
" 9 "		0,30
" 10 "		0,27
" 11 "		0,12
" 12 "		1,04
" 13 "		0,18
" 14 "		0,12
" 15 "		0,09

При пересечении газенком шахты № 1 рудной залежи также было произведено опробование, с глубины (от поверхности) 48,15—50,15 м, при чем анализ показал 0,21% Cu.

Заканчивая описание результата работ по шахте № 1, отметим абсолютные отметки выработок этой шахты, согласно съемке партии: отметка устья шахты № 1—601 м и нижнего квершлага газенка той же шахты—531 м.

Шахта № 5. В 1931—32 г.г., на основании материалов Г. Г. Келля, а именно результата буровой скважины № 3 разведочных работ 1917 г., которая на глубине 85—100 м дала руды зоны cementации Майнской партии, была пройдена шахта № 5 до глубины 90 м от поверхности, на камовом горизонте (1) проведены горизонтальные подземные работы. Абсолютная отметка устья шахты № 5—611 м.

Разрез горных пород, пересеченных шахтой № 5, представляется в следующем виде (фиг. 3). Под незначительным почвенным покровом (45 см) и делювия (55—60 см) начинаются коренные породы, состоящие из буро-зеленого обожженного и слегка оглиненного порфирита, разбитого трещинами, в которых обнаруживается бурая охристая глина. С 5 м в трещинах, кроме охры, появляются и натеки лимонита. С 5 по 9 м выходит более свежий порфирит зеленого цвета. С 20 м ствол шахты постепенно входит в каолинизированные порфириты—“беляки”, при чем до 22 м они более или менее плотные, кое-где с линзочками лимонита, но с 22 м порода становится рыхлой, и по трещинкам наблюдаются отложения охры. На глубине 28—29 м шахта вошла в жильные охры мощностью 0,8—1 м, при чем на этой глубине была вскрыта большая дыра, которая, повидимому, является древней выработкой, идущей от шахты № 1. Падение жилы, примерно, 40°. Ниже залегают рыхлые беляки. С 30 м беляки становятся более плотными и окремненными. С 34 м и по 60 м выходят сильно каолинизированные гранодиориты. Глубже идут беляки, которые местами близки опаловидным породам, а иногда несут в себе желвачки и миндалинки куприта. В соседстве с этими участками беляки окрашены в зеленоватый и голубоватый цвета. Беляки ниже рассланцованны и трещиноваты, а еще ниже переходят в пористую и ноздреватую массу, представляющую собой кремнистую сетку, причем кусок такой породы, пропитанной водою, при сильном скручивании в кулаке сплющивается. Ниже породы становятся плотнее, и по трещинам и трещинкам их обнаруживаются натеки железняка. Цвет пород—от белого до светлобурого. На 66 м выходит в северной стенке

**ПАРЕНЬ 3
НО ШАХТЕ № 5**

0 5 10 15 20 25 м

650

600

550

500

450

400

10.

550

500

450

400

Шурф № 4

Шурф № 5

3-1917

Секция

УСЛОВНЫЕ ЗНАКИ

- Порфирит
- Песок
- Охры и бурый марганец
- Магнетит
- Гранодиорит с кристаллическим
- Перфидит с кварцевым кристаллическим
- Гнейс складчатого профиля
- Сланец
- Сланец с жилами куприта
- Влаги с жилами куприта
- Сланец сульфидные руды

Фиг.

кварцевый прожилок. С 69 м выходит разрушенный бурозеленый порфириит, переходящий в более свежую породу, с незначительной вкрапленностью пирита. С 79 м вкрапленность пирита более густая, а ниже вкрапленность иногда встречается в виде значительных по размерам отдельных кристаллов. На 86 м и глубже шахта вступает в зоны рассланцеванных пород (хлоритовые сланцы).

Южный квершлаг первого горизонта. С горизонта 90 м от поверхности пройден южный квершлаг по азимуту в 200°, вкрест простирания Главного рудного тела. Абсолютная отметка квершлага 521 м. Породы, пройденные квершлагом, представляются в следующем виде, начиная от ствола шахты. От 0 до 4 м порфириит, слегка окремненный и хлоритизированный, серо-темно-зеленого цвета. Порода грубо рассланцована. Наблюдается редкая вкрапленность пирита; размеры кристаллов до 1 мм. С 4 м порфириты постепенно становятся более окремненными и на 7 и 8 м очень сильно окремнены. Порода благодаря этому приобретает светлосерую окраску. С 9 м окремнение ослабевает, и порода приобретает свой прежний вид, но без всякой вкрапленности. На 10 м и 11 м наблюдаются опять зоны пиритовой вкрапленности, мощностью 10—15 см, при чем порода окремнена и цвет ее светло-серо зеленый. Вкрапленность пирита здесь также приурочена к трещинам. Здесь уже наблюдается каолинизация породы по трещинам. И чем дальше, тем процесс этот проявляется более интенсивно. Промежуток от 11,50 до 13 м представляет переход от порфиритов к белякам. В некоторых местах породы и обожрены. На 13 м вскрылась трещина, сквозь которую некоторое время просачивалась вода, мешавшая в свое время проходке квершлага. По бокам трещины порода окрашена в бурый цвет. За трещиной следуют белые окремненные породы. Эти породы сохраняют свои внешние черты описанных выше порфириотов. Вместе с тем они—плотные, местами сильно окремнены и в некоторых местах настолько, что напоминают полуопалы. На всем своем протяжении беляки изрезаны сетью тонких кварцевых прожилков, от 1 до 3 мм мощностью. На 14—15 м беляки более плотные, иногда с зернами кварца. На 17-18 м они пересечены апофизой гранодиорита. На восточной стенке квершлага апофиза проходит от кровли до почвы, сохранив однаковую мощность—1,25 м, книзу слегка расширяясь; на западной же стене она выступает в виде купола, с пологими боками, расширяясь книзу. В контактовой части в беляках наблюдается присутствие зерен и прожилков кварца и они сильно окремнены. Гранодиорит в значительной степени каолинизирован; полевые шпаты его окрашены в розоватый цвет. На 19,5 м пересечена линза „песков“, мощностью около 1,5 м. „Пески“ представляют собой кремнистый пористый скелет, как результат п longo выщелачивания рудного тела. В средней части лизы они представляют рыхлую пористую массу. В некоторых местах „пески“ обожрены. Иногда в них наблюдаются смятые линзоочки каолинизированных пород. „Пески“ залегают в сильно смятых породах, при чем в северной части линзы смятие выражается особенно сильно. За „песками“ продолжаются окремненные беляки, слегка обожренные, вообще серовато-белого цвета. Наблюдается в некоторых местах сильное окварцевание, выражющееся в густой сети кварцевых прожилков. На 24 м встречена зона сильного смятия. Южнее еще на некотором протяжении (1—2 м) заметна сильная трещиноватость и выщелоченность „беляков“, с заметным побурением породы у трещин вследствие отложения бурых окислов железа. С 29 м беляки более или менее плотные, белого цвета. На 30,5 м пересечена вторая линза „песков“, представленная рыхлыми выщелоченными породами белого цвета, аналогичными „пескам“, описанным выше. Мощность данных песков—1,75—3 м. Падение данных линз песков—60°, азимут простирания линз, примерно, ЮВ. 100°.

За линзой „песков“, южнее следуют „беляки“, постепенно к 42 м переходящие в свежие порфиры. Квершлаг остановлен на 42,6 м от ствола шахты в слегка оглиниенном порфириде.

Заканчивая описание южного квершлага шахты № 5, приходится констатировать, что он, пересекая вкрест простирания Главное рудное тело, состоящее из двух линз, обнаружил в них картину полного выщелачивания, с уносом нацело рудных минералов.

С целью исследования двух линз „песков“ из южного квершлага были проведены три выработки: две в западном направлении—штрек № 1 и штрек № 2 и одна в восточном направлении—штрек № 3.

Штрек № 1 заложен из южного квершлага на 31,2 м от ствола шахты во второй зоне „песков“ по азимуту 290° (простирание Главного рудного тела). Вначале штрек идет в „песках“, которые на 4 м поворачивают к Ю и вверх. Мощность линзы в штреке 3 м. Пески граничат с беляками, более или менее окремненными. На 12—13 м каолинизация слабеет, штрек входит в порфиры серо-темно-зеленого цвета. Переход „беляков“ к порфирам—постепенный. На 17 м штреком была пересечена трещина, из которой сочится вода. На 18 м штрек остановлен.

Штрек № 2 пройден из южного квершлага на 19,4 м от ствола шахты в западном направлении по первой линзе „песков“, которая прослежена в слегка окремненных „беляках“. По мере продвижения по штреку линза, постепенно выклиниваясь, уходит вверх, и эта картина наблюдается на протяжении штрека всего в каких-нибудь 3,5 м. Данная линза „песков“ представляет собой рыхловато-пористую породу светло-серо-желтого цвета в середине и желтого цвета близ зальбандов. Порода к зальбандам становится плотнее, чем в центральных частях.

Штрек № 3 задан из южного квершлага на 19,4 м в восточном направлении по простиранию первой линзы „песков“. Длина штрека 8,4 м. На всем этом протяжении линза „песков“ сильно обожрана и постепенно вверх выклинивается, имея форму языка. Снизу у почвы штрека линза „песков“ граничит с сильно каолинизированной апофизой гранодиорита, вблизи которой обнаруживается сильное смятие. Гранодиорит здесь представляет голубовато-зеленоватую породу, с крупными зернами кварца. „Беляки“ значительно окремнены и местами имеют опаловидный характер, с типичным раковистым изломом.

Такие результаты работ 1 горизонта шахты № 5 и характерная особенность выклинивания вверх линз „песков“ приводили к выводу, что шахта № 5 попала, по выражению В. С. Домарева, в карман выщелачивания. В результате данного вывода было решено пройти из штрека № 1, по линии скважины № 3 (1917 г.) западный квершлаг, который в то же время находился бы выше отмеченного кармана выщелачивания. К данному условию штрек № 1 вполне подходил, так как его забой находится в неизмененных каолинизацией порфиридах.

Западный квершлаг задан из штрека № 1 на 16 м от его устья по азимуту 20° в направлении на С. Он проходит параллельно южному квершлагу. До 5 м порфирит слегка обожрен. Порода с желтовато-буроватым оттенком, довольно плотная, с трещинами отдельности. По этим трещинам—отложения бурых окислов железа. На 5 м порода приобретает зеленоватый, нормальный для порфиридов оттенок. Каолинизация порфиридов наблюдается лишь по трещинам. Граница между полукаолинизированным и свежим порфиритом постепенная. На 5,30 м на В. стенке вскрыта рудная линзочка, мощностью 10—15 см. Она представлена пиритом. На 8 м встречен второй прожилок. Мощность его изменчива, 15 мм и меньше. Падение всех прожилков 60°. С 8,5 м в порфириде начинают изредка появляться зерна кварца. Порфирит слегка каолинизован. На протяжении

от 9 до 13,75 м окварцевание увеличивается. Вследствие консервирования работ разведочной партии в 1932 г. данный квершлаг был остановлен.

Кроме вышеописанных подземных работ на I горизонте шахты № 5, был пройден еще Северный квершлаг, проведенный от ствола шахты в С. направлении и находящийся на одной линии с южным квершлагом. Длина квершлага 20 м. Квершлаг проходит по хлоритовым сланцам. С 1,20 м до 2,25 м в хлоритовом сланце наблюдается легкая импреняция магнетита, очень тонкая и располагающаяся в виде полосок. Падение полосок параллельно падению сланцеватости—крутое, примерно, 65—70°. Общая мощность этой импреняции около 85 см. Хлоритовые сланцы несут значительные и очень яркие следы давления и резкого смешения, выражающиеся в зеркалах скольжения и в образовании линзообразно-ячеистого строения породы. На 4,5 м проходит вторая зона импреняции магнетита, более сильная, но менее мощная—около 0,5 м. В магнетите есть вкрапленность сульфидов, в виде отдельных кристалликов пирита. И, наконец, на 8,5 м обнаруживается третья зона магнетитового оруденения, слабее второй зоны, с мощностью около 1,5 м. Здесь также встречается слабая вкрапленность сульфидов, приуроченная большей частью к трещинкам. Угол падения всех вышеуказанных зон 65° с простираемием ЮВ 135—140°. В промежутке между 5 и 8 м участок сложен хлоритизированным порфиритом, не перешедшим еще в хлоритовый сланец. Такая же картина наблюдается местами и дальше. До забоя хлоритовые сланцы местами содержат вкрапленность сульфидов, с налетами самородной меди по трещинкам; вкрапленность очень редкая и даже спорадическая.

С целью определения глубины залегания зоны первичных руд Главного рудного тела, из конца южного квершлага в северном направлении была задана под <70° буровая скважина, которая, пройдя зону „песков“, пересекла под южным квершлагом рудное тело мощностью 10 м, состоящее из сплошных сульфидов зоны первичных руд. Списание буровой скважины шахты № 5 помещено в следующей главе.

Согласно данного результата, была произведена дальнейшая углубка шахты № 5 еще на 30 м, до горизонта 120 м, на каковом горизонте был пройден южный квершлаг II горизонта с целью пересечь Главное рудное тело.

Шахта № 5 от горизонта 90 м проходит в хлоритовых сланцах. На 99 и 100 м кое-где в сланцах, на плоскостях сланцеватости, наблюдается вкрапленность самородной меди. Глубже наблюдается заметное окремнение хлоритовых сланцев, мощности, примерно, 6—7 м. На 144 м, в западной стенке шахты выходит оруденение, проявляющееся в виде вкрапленности и линзочек, мощностью до 10—15 см. Угол падения их 85° с простираемием около БЮВ:95°. Ниже обнаруживается вторая жилка сульфидов мощностью 15—20 см, состоящая из окремненного хлоритового сланца с крупной вкрапленностью пирита. Элементы залегания те же. На данном горизонте и до конца углубки хлоритовые сланцы значительно менее рассланцованны, имея вид хлоритизированных порфиритов. На горизонте 121 м углубка шахты № 5 закончена.

Южный квершлаг II горизонта шахты № 5 заложен на горизонте 120 м от поверхности и пройден в южном направлении. Абсолютная отметка квершлага—491 м. От 0 до 12 м квершлаг проходит в хлоритовых сланцах, кое-где с вкрапленностью пирита. Примерно, на 11 м выходит рудная линзочка, мощности от 5 до 10 см и с крутым падением. С 12 м и до 15 м квершлаг идет в обыкновенном порфириите. В промежутке с 15 до 21 м квершлаг пересек апофизу гранодиорита. На 22 м он вошел в порфириты, затем, пройдя небольшую рассланцовенную зону, вошел в рудное тело, состоящее из сплошных сульфидов. В конце 22 м от ствола

шахты по трещинам рудной зоны внезапно стала прибывать вода, которая в течение одних суток затопила квершлаг и ствол шахты на 28 м, т. е. до глубины 92 м от поверхности. По заключению комиссии, данное затопление обязано образованию застойных вод в трещинах рудной зоны выше горизонта квершлага.

Вода, затопившая квершлаг II горизонта и шахту, была сильно минерализована. Были взяты пробы. Результат их анализа показан на таблице VIII. Нужно лишь заметить, что данные анализы не могут претендовать на довольно точную характеристику минерализации воды по глубинам, вследствие перемешивания ее во время поступления.

Таблица VIII. Состав вод шахты № 5.

№ № проб	Место взятия	CO ₂	S	Fe ₂ O ₃ Al ₂ O ₃	SiO ₂	CaO	Cu	Примечание
1	Гориз. 120 м. от уст. шахты .	0,06	5,85	0,465	елед.	0,255	0,013	в г на литр воды.
2	" 106 м.	0,97	5,84	0,506	"	0,300	0,011	
3	" 95 м.	0,07	5,79	0,676	"	0,280	0,006	
4	Порошок (осадок воды, осевший в бочке)	—	15,65	27,64	0,98	--	нет	в % %

3. Описание буровых скважин.

Впервые на Майнском месторождении буровые работы были проведены Г. Г. Келлем в 1917 году. Пробурено было в тот период 5 буровых скважин. Из них скв. № 1 из-за аварии на глубине 47 м была брошена; о скв. № 4 не сохранилось никакого материала; скв. № 5, по заявлению И. К. Баженова, вошла в сильно окремненную зону и положительных результатов не дала, и, таким образом, только две буровых скважины, а именно № 2 и № 3, материалы о которых сохранились в виде двух вычерченных колонок, пересекли рудную зону Главного рудного тела. Ниже приводится, без каких-либо изменений, геологическое описание скважин, помещенное в вышеотмеченных графических материалах, составленных Г. Г. Келлем.

Скважина № 2 (1917 г.).

- 0,00—14,38—Выветрелые зеленые сланцы.
- 14,38—71,80—Зеленые сланцы. Иногда встречаются пористые охристые прожилки и тонкие прожилки пирита. На глубине 9,19 м трещинки, заполненные азуритом.
- 71,80—77,39—Зеленые, частично каолинизированные сланцы.
- 77,39—78,28—Зеленые каолинизированные хлоритовые сланцы.
- 78,28—80,22—Светлоzelеные каолиново-сернистые или жировиковые сланцы с прожилками самородной меди.
- 80,22—80,65—Красноватая с буровато-серая масса, с вкраплением халькопирита и халькоzина.
- 80,65—80,78—Зеленая каолиново-жировиковая масса.
- 70,78—82,01—Красная глинистая плотная масса, с большей или меньшей вкрапленностью пирита и иногда халькопирита.
- 82,01—82,36—Темнозеленая плотная глинистая масса.
- 82,36—82,95—Красная глинистая масса с вкрапленностью халькопирита и пирита, иногда халькоzина.
- 82,95—83,79—Зеленая, иногда красноватая глинистая масса с пиритом.
- 83,79—83,96—Сланцеватый халькопирит и ковеллин.
- 83,96—84,02—Серый колчедан
- 84,02—85,13—Плотные светлоzelеные каолинизированные сланцы.
- 85,13—85,34—Белый кварц.
- 85,34—87,31—Серный колчедан с примесью медного колчедана и медного блеска, иногда прослойки халькопирита и халькоzина.
- 87,31—89,31—Зеленые каолинизированные сланцы.
- 89,31—89,55—Колчеданы в плотной бурой массе.
- 89,55—103,65—Темнозеленые глинисто-хлоритовые сланцы, с редкой вкрапленностью пирита,
- 103,65—103,97—Медный колчедан в зеленых сланцах.

103,97—173,57—Зеленая афантитовая разных оттенков, иногда тонкозернистая порода с тонкой вкрапленностью пирита. Встречаются тонкие прожилочки пирита; иногда вкрапленность пирита настолько густая, что порода становится состоящей главным образом из пирита.

173,57—176,56—Мягкая порода (образцы не получены).

176,56—181,36—Зеленая зернистая порода.

Данная скважина прошла, примерно, на 30 м юго-восточнее шахты № 1. Средний горизонт рудной зоны данной скважины 515 м, т. е. глубже квершлага гезенка шахты № 1 на 16 м.

Скважина № 3 (1917 г.).

0,00—15,46—Выветрелые зеленые сланцы.

15,46—30,30—Зеленые сланцы обожженные.

30,30—40,60—Сильно окристая плотная порода (выветрельные каолинизированные сланцы).

40,60—63,88—Зеленые сланцы, иногда окристые.

63,88—71,18—Совершенно белая плотная масса (обесцвеченные каолинизированные зеленые сланцы).

71,18—75,74—Мягкие зеленые сланцы с кварцитовыми прослойками.

75,74—82,21—Слегка кремнистая масса (каолинизированные зеленые сланцы).

82,21—87,51—Зеленые сланцы с вкрапленностью пирита и прожилочками кварца.

87,51—88,55—Плотные зеленые сланцы, прожилочки кварца с вкрапленностью халькопирита.

88,55—92,17—Мягкие зеленые и бурые сильно каолинизированные сланцы, переслаивающиеся с бурожелезистыми прослойками, в которых вкраплены пирит и халькопирит и медный блеск.

92,17—92,81—Плотные зеленые сланцы.

92,81—96,61—Сланцы довольно мягкие без кварца.

96,61—107,32—Зеленые сланцы с прожилочками кальцита, кварца и вкрапленностью пирита.

107,32—109,40—Кварц с вкрапленностью пирита.

109,40—110,00—Зеленые сланцы.

110,00—110,20—Кварц с пиритом.

110,20—137,51—Зеленые сланцы, переходящие в зернистые породы, с эпидотом и редкой тонкой вкрапленностью пирита; встречаются кварцевые прожилки с вкрапленностью пирита.

137,51—149,35—Темнозеленые плотные хлоритовые сланцы.

149,35—151,92—Плотные зеленые, сильно окремненные сланцы.

Пройденная скважина находится всего в 16 м западнее ствола шахты № 5. Относительно разреза её нужно сказать, что он, повидимому, не совсем точен; так, на интервале 75—80 м нужно ожидать, судя по новым выработкам, измененный гранодиорит, а не сланцы.

Майнской геолого-разведочной партией за период с декабря 1930 г. по февраль 1934 г. пройдено 15 буровых скважин, из них 12 скважин на Главное рудное тело и 3 скважины на Северо-западное рудное тело (фиг. 1). Первая (I) линия буровых скважин числом 9, пройденных на Главное рудное тело, дала рудный горизонт, с отметкой 445 м (средний приведенный горизонт). Вторая (II) линия скважин представлена только двумя буровыми скважинами, давшими 2-й рудный горизонт Главного рудного тела, с отметкой 405 м, и третья (III) линия буровых скважин представлена одной скважиной, давшей 3-й рудный горизонт Главного рудного тела, с отметкой 305 м. Северо-западное рудное тело имеет одну—первую (I) линию буровых скважин, где пройдены 3 скважины на рудный горизонт с отметкой 455 м. Все скважины были запроектированы с интервалом как в горизонтальном, так и вертикальном направлении в 50 м. Пройдены они вкрест простириания рудных тел под углом в 70° к горизонту; только незначительное число буровых скважин пройдены под углом в 80° к горизонту.

Главное рудное тело разбурено следующими буровыми скважинами, начиная с СЗ. конца.

Скважина № 10—I.

0,00—8,00—Порфирит, местами слегка рассланцованный; по трещинам—бурый железняк.

8,00—13,38—Гранодиорит выветрелый, каолинизированный,

13,38—40,09—Хлоритизированная порода, обожженная, местами рассланцовенная.

- 40,09—54,88—Порфирит сильно хлоритизированный. Жилки и зерна кварца.
 54,88—58,79—Окремненная порода, перемежающаяся с хлоритовыми сланцами; зерна пирита и жилки кварца.
 58,79—80,52—Кварцево-хлоритовая порода с вкрапленностью пирита.
 80,52—80,91—Порфирит.
 80,91—83,54—Окварцованный и карбонатизированный порфирит.
 83,54—85,39—Диабазовый порфирит, хлоритизированный.
 85,39—86,33—Эпидото-кварцевая порода.
 86,33—117,97—Порфирит, местами окремненный, с жилками эпидота и кальцита; по трещинам железный блеск и хлорит. Местами редкие примазки турьита.
 117,97—122,63—Кварцево-полевошпатовая, хлоритовая порода, эпидотизированная; редкие зерна карбонатов.
 122,68—142,80—Порфирит эпидотизированный, хлоритизированный и слегка окремненный, местами с зернами халькопирита и пирита.
 142,80—144,44—Гранодиорит—розовый; местами жилки кальцита.
 144,44—146,41—Порфирит с афантитовым обликом, окварцованный, с жилками и зернами пирита.
 146,41—148,33—Керни разбит.
 148,33—200,05—Гранодиорит красновато-зеленоватый, местами сильно хлоритизированный.

Скважина № 6—I.

- 0,00—51,64—Эпидотизированный, хлоритизированный, местами окремненный порфирит, вначале сильно выветрелый с участками рассланцовки и редкими зернами пирита.
 51,64—54,64—Диабазовый порфирит, частично рассланцованный.
 54,64—109,14—Порфирит хлоритизированный, эпидотизированный, с участками окремнения (окремнение красного цвета), с участками железного блеска и самородной меди. Жилки и зерна пирита.
 109,14—109,81—Диабазовый порфирит с жилками и зернами эпидота, кварца и реже кальцита.
 109,81—115,94—Порфирит часто афантитового облика, с зернами пирита.
 115,94—134,15—Сланец, сильно хлоритизированный и карбонатизированный, с жилками и зернами кальцита и кварца и зернами пирита.
 134,15—135,41—Гранодиорит среднезернистый.
 135,41—165,83—Порфирит окварцованный, часто афантитового облика, местами рассланцованный, жилки кальцита, зерна и кубики пирита. Хлоритизация к концу увеличивается.
 165,83—178,83—Гранодиорит средне- и крупно-зернистый, с жилками кальцита, зернами эпидота и редко роговой обманки.

Скважина № 1—I.

- 0,00—24,88—Разрушенный порфирит желтобурого вначале, а затем зеленобурого цвета, сильно хлоритизированный с миндалинками и жилочками эпидота, реже кварца. Порода местами рассланцованна.
 24,88—30,92—Кварцево-хлоритовая порода, слегка рассланцованныя; местами, но редко, кварц превалирует над хлоритом; в этих случаях заметна эпидотизация.
 30,92—87,19—Порфирит, в различной степени хлоритизированный. Порода слегка ноздревата и слабо рассланцованна.
 87,19—104,72—Порфирит окварцованный с зернами пирита; участками сплошной пирит.
 104,72—151,00—Окварцованный порфирит с мелкозернистой кварцево-полевошпатовой массой; изредка миндалинки эпидота и пирита

Скважина № 4—I.

- 0,00—6,22—Светлый, светло-зеленый тонкозернистый порфирит, местами сильно рассланцованный.
 6,22—34,49—Темнозеленый тонкозернистый плотный афантит. Изредка миндалинки эпидота и жилочки кварца. К концу секции проявляется сланцеватость.
 34,49—79,94—Темнозеленый рассланцованный афантит, местами миндалинки лимонита, кое-где вкрапленность пирита, очень редко налеты самородной меди, жилочки и миндалинки эпидота.
 79,94—90,23—То более светлый, то более темный, слегка рассланцованный афантит, с редкой и тонкой вкрапленностью пирита, лимонита, реже самородной меди. Местами заметна окварцованнысть.
 90,23—96,72—Светло-зеленый какбы пористый афантит с налетами охры и самородной меди. К концу секции порода приобретает более темный цвет.
 96,72—112,60—Темнозеленый эпидотизированный и кальцитизированный порфирит с жилками лимонита. Вначале секции наблюдаются жилки кальцита.

- 112,60—115,00—Руда: светлый мелкозернистый пирит.
 115,00—116,31—Хлоритовый сланец.
 116,31—118,00—Руда: светлый мелкозернистый пирит.
 118,00—136,92—Окварцованный хлоритовый сланец.
 136,92—139,54—Пирит с прожилками кальцита и кварца.
 139,54—161,36—Хлоритовый сланец с вкрапленностью пирита.
 161,36—168,84—Окварцованный порфирит.
 168,84—174,32—Диабазовый порфирит, хлоритизированный.

Скважина № 5—I.

- 0,00—101,53—Миндалекаменный темнозеленый порфирит, местами слегка рассланцованный. В верхних горизонтах преобладают миндалины кальцита, реже кварца. С 30 м преобладают миндалины эпидота. Местами порода окремнена и эпидотизирована. Кое-где жилки лимонита.
 101,53—109,25—Альбитофибр серозеленый с выделениями кварца. Изредка вкрапленность пирита.
 109,25—120,63—Темнозеленый афанит, эпидотизированный и окварцованный, местами с довольно-густой вкрапленностью пирита.
 120,63—133,54—Руда: пирит с прослойками хлоритового сланца. В пирите вкрапленность халькопирита и сфалерита.
 133,54—136,91—Керн размыт.
 136,91—142,25—Гранодиорит.
 142,25—150,00—Порфирит сильно хлоритизированный и эпидотизированный.

Скважина № 7—I.

- 0,00—19,95—Хлоритизированный, слегка рассланцованный порфирит, с миндалинами хлорита, эпидота и кварца.
 19,95—22,72—Брекчия порфирита.
 22,72—48,17 Сильно хлоритизированный и эпидотизированный порфирит, часто с афанитовым обликом. Зерна пирита и редко роговой обманки.
 48,17—57,22—Сильно глинистая, обожженная, рассланцованный порода.
 57,22—62,73—Керн размыт.
 62,73—67,40—Черно желтая обожженная порода с налетами медной зелени и сини.
 67,40—65,78—Керн размыт.
 65,78—67,22—Та же порода с оруденением—налетом медной зелени и охрой, окремненная.
 67,22—75,44—Керн размыт.
 75,44—87,47—Порфирит с афанитовым обликом, слегка рассланцована, обожженный, местами окремненный и отчасти каолинизированный; к концу секции порода сильно эпидотизированная.
 87,47—95,40—Кварцевый альбитофибр, с редкой сыпью самородной меди.
 95,40—98,12—Сильно хлоритизированный порфирит.
 92,12—100,16—В начале секции идет сплошной пирит около метра, далее идет хлоритово-кварцевая порода, эпидотизированная.
 100,16—103,57—Эпидотизированный, хлоритизированный порфирит, окварцованный.
 103,57—113,41—Сплошной пирит.
 113,41—136,34—Чередование рудного керна с эпидото-хлоритово-кварцовой породой с большим количеством глинистых продуктов. На 115,57, 115,74, 116,43, 126,54, 132,62, 135,21, 136,34—рудный керн.
 136,34—138,32—Чередование рудного керна с хлоритовым сланцем, также с прожилочками пирита.
 138,32—141,65—Рудный керн с участками хлоритового сланца.
 141,65—142,95—Хлоритовый сланец.
 142,95—143,90—Рудный керн с участками хлоритового сланца.
 143,90—165,00—Хлоритовый сланец с прожилочками пирита.

Скважина № 8—I.

- 0,00—6,15—Разрушенный оглиниевый порфирит, слегка окремненный.
 6,15—13,86—Хлоритизированный афанит, местами окремненный, с зернами и жилками кварца.
 13,86—27,20—Сильно хлоритизированная, рассланцованныя, слегка выветрелая порода. К концу секции рассланцовка ослабевает, появляется эпидотизация.
 27,20—34,46—Зеленый эпидотизированный порфирит. К концу секции слабое окремнение и жилочки кальцита.

- 34,46—50,56—Миндалекаменный хлоритизированный и окремненный порфирит. Миндалины кварца и кальцита. Местами порода сильно рассланцована.
- 50,56—62,90—Тонко рассланцованные темнозеленые хлоритизированные породы с редкими миндалинками пирита.
- 63,90—93,01—Миндалекаменный порфирит с миндалинками эпидота, кварца и пирита. Местами слабое окремнение. Иногда в миндалинках эпидота самородная медь.
- 93,01—99,47—Каолинизированная и сильно окремненная порода (гранодиорит).
- 99,47—107,14—Сильно окремненный хлоритизированный афантит с зернами кварца. Местами обогренность.
- 107,14—104,94—Молочно-белый кварц с зернами хлорита.
- 109,64—121,86—Сильно окремненный афантит, в начале секции зеленого и серого цвета. Местами Рвралленность самородной меди.
- 124,18—125,43—Окда сульфидная.
- 125,43—141,57—Укрепленный хлоритизированный афантит серозеленого цвета, местами с вкрапленностью пирита.
- 141,57—156,19—Рассланцованный афантит с редкой вкрапленностью пирита. В начале секции окварцовый.
- 156,19—164,54—Хлоритовый сланец с тонкой и слабой вкрапленностью пирита.

Скважина № 9—I.

- 0,00—16,69—Желтовато-зеленый, слегка обогранный порфирит.
- 16,69—93,21—Порфирит эпидотизированный и хлоритизированный, с миндалинами эпидота и кальцита, редко кварца; порода местами оглинина и обогрена.
- 93,21—106,44—Рассланцованный порфирит, с красными окремненными пятнами, жилками кальцита и редкими кристаллами пирита.
- 106,44—118,18—Темнозеленый хлоритизированный порфирит, эпидотизированный, с жилками пирита; изредка налеты самородной меди.
- 118,18—147,83—Окварцованный, хлоритизированный и эпидотизированный порфирит.
- 147,83—148,74—Руда - сплошной пирит.
- 148,74—162,78—Хлоритизированный порфирит, местами окварцованный.
- 162,08—166,51—Руда—сплошной пирит, довольно богатый халькопиритом.
- 166,51—175,24—Хлоритизированный порфирит, к концу интервала окремненный.
- 175,24—176,47—Карбонатизированная обогрнная порода, с зернами кварца.
- 176,47—197,30—Порфирит, местами окремненный, с мелкими зернами кальцита и сыпью пирита.

Скважина № 11—I

Данная скважина на глубине около 200 м получила значительное искривление и ликвидирована. Вследствие изменения простирания Главного рудного тела она не дошла до рудной зоны.

Скважина № 1—II.

- 0,00—4,72—Разрушенный слегка окремненный и эпидотизированный порфирит.
- 4,72—23,13—Порфирит с миндалинами эпидота, кое-где участки слабого окремнения и рассланцовки; по трещинкам отложения бурого железняка.
- 23,13—24,57—Керн размыт.
- 24,57—74,36—Порфирит, кое-где сильно окремнен.
- 74,36—77,06—Керн размыт.
- 77,06—165,37—Порфирит в различной степени окремнения, эпидотизирован и хлоритизирован; в начале секции налеты самородной меди. Пирит встречается в виде одиночных кристаллов.
- 165,37—166,92—Мелкозернистая пиритовая руда с участками порфирита.
- 166,92—207,65—Хлоритизированный порфирит, иногда перемежающийся с участками хлоритового сланца. Некоторые участки очень сильно окремнены и эпидотизированы; жилки кварца и кальцита; слабая вкрапленность пирита и небольшие рудные жилки в 4—6 см мощностью.

Скважина № 5—II.

- 0,00—30,63—Оглинистый трещиноватый порфирит.
- 30,63—156,19—Хлоритизированный порфирит, с участками окремнения; по трещинам заметны примазки охры и малахита. Кое-где налеты самородной меди. Во второй половине секции окремненные порфириты с редкой вкрапленностью пирита.

- 156,19—156,66—Руда: мелкозернистый пирит с участками незамещенной пустой породы.
 156,66—173,06—Хлоритизированный окремненный порфирит, с вкрапленностью пирита.
 173,06—173,55 Сплошная руда: пирит, халькопирит.
 173,55—188,12—Порфирит сильно хлоритизированный, чередующийся с хлоритовым сланцем; местами вкрапленность пирита.
 188,1?—188,30—Сплошная руда: пирит и халькопирит.
 188,30—199,68—Хлоритовый сланец, местами с густой вкрапленностью пирита.

Скважина № 7—III.

- 0,00— 25,83—Разрушенный, оглинистый порфирит с настеками бурого железника.
 25,83— 34,00—Шламм желтозеленый.
 34,00— 48,28—Разрушенный, оглинистый порфирит с настеками лимонита по трещинам.
 48,28— 84,36—Порфирит в различной степени хлоритизированный, с участками значительной рассланцовки, отдельная вкрапленность пирита, кое-где по трещинкам налеты самородной меди, изредка жилки кальцита и кварца и миндалиники эпидота.
 84,36—187,17—Окремненный порфирит, с участками хлоритизации. В участках сильной эпидотизации и окремнения развивается вкрапленность сульфидов, к концу секции значительное окремнение.
 187,17—189,65—Хлоритизированный с крупными зернами кварца гравидиорит.
 198,65—193,92—Хлоритизированный с тонким окремнением и эпидотизацией порфирит.
 193,92—197,00—Сильно окварцованный породы (гранодиорит).
 197,00—234,45—Хлоритизированный порфирит с вкрапленностью пирита. Вкрапленность сильно развивается в красных яшмовидных участках и затухает при выходе из них. Жилки кварца.
 234,45—248,00—Хлоритовый сланец. Вкрапленность сульфидов колеблется от слабой до густой. На горизонте 237,77 м жилки пирита и халькопирита.
 248,00—286,26—Окремненный хлоритизированный порфирит с участками очень сильного окремнения и эпидотизации, с жилками кварца.

Буровая скважина шахты № 5.

- Данная скважина пройдена из конца южного квершлага I горизонта шахты № 5 вкрест простирания Главного рудного тела под углом в 70°.
- 0,00— 0,78— Слегка окремненный каолинизированный порфирит. По трещинкам охристые налеты.
 0,78— 7,53—Белая выщелоченная каолинизированная порода (беляки).
 7,53— 14,88—Окремненная каолинизированная порода. По трещинкам налеты охры.
 14,88— 17,97—Бурожелтая охра, переходящая к концу секции в бурожелтый песок.
 17,97— 24,56—Каолинизированная порода с обожренными участками (беляки).
 24,56— 25,68—Оглинистый порфирит.
 25,68— 25,95—Порфирит с вкрапленностью пирита.
 25,95— 26,75—Хлоритовый сланец с вкрапленностью пирита.
 26,75— 27,94—Шламм (зеленосерый и желтый песок).
 27,94— 38,41—Руда: сплошные колчеданы с участками порфирита. Руда представлена пиритом и халькопиритом.
 38,41— 39,03—Порфирит с зернами кварца. Порода трещиноватая; заметны плоскости скольжения.
 39,3— 41,23—Гранодиорит.
- Северо-западное рудное тело разбурено одной линией буровых скважин; начиная с СЗ. конца тела, мы имеем следующие скважины.

Скважина № 18.

- 0,00— 21,38—Сильно оглинистый порфирит; в начале секции глина.
 21,33 108,72—Окремненный порфирит, участками хлоритизирован. По трещинкам бурые окислы железа.
 108,72—117,29—Окремненный, слегка хлоритизированный порфирит, с редкой вкрапленностью сульфидов.
 117,29 118,87—Керн размыт.
 118,87—190 —Сильно окремненный и хлоритизированный порфирит с жилками кварца. Вкрапленность колчеданов то уменьшается до полного исчезновения, то увеличивается, порой переходит в мелкие жилки. Ниже вкрапленность колчеданов совсем исчезает. Порода чрезвычайно сильно окремнена, отчего цвет ее становится серовато-белым.

Данная скважина, пройдя проектную глубину, не встретила рудной зоны.

Скважина № 16.

- 0,00— 9,84—Разрушенный оглинистый порфирит.
 9,84—138,95—Окременный порфирит. С гориз. 103,36 появляется вкрапленность колчеданов; по трещинам натеки бурого железняка.
 138,95—141,00—Руда пиритовая.
 141,00—158,50—Окременный порфирит с вкрапленностью и гнездами колчеданов. Вкрапленность то гуще, то значительно слабеет. Жилки кварца.

Скважина № 15.

- 0,00— 9,85—Выветрелый эпидотизированный и слабо окременный порфирит с прослойками глины.
 9,85— 31,30—Охры от светло-желтого и до желтооранжевого цвета.
 31,30— 37,75—Керна нет (судя по муту, данная секция абсолютно аналогична предыдущей секции).
 37,75— 40,72—Белики, постепенно переходящие к концу секции в обычновенный порфирит, слабо выветрелый и трещиноватый.
 40,72— 43,85—Окременный порфирит, разрушенный, с кристалликами пирита.
 43,85— 46,35—Керн размыт (муть черная — рудная).
 46,35— 49,15—Порфирит; слабая вкрапленность пирита.
 49,15— 52,10—Керн размыт (муть черная — рудная).
 52,40— 53,40—Руда; сплошная очень густая вкрапленность пирита.
 53,40— 56,92—Керн размыт (муть черная — рудная).
 56,92— 57,42—Порфирит с вкрапленностью пирита.
 57,42— 60,04—Керн размыт (муть в некоторых участках слабо темнела).
 60,04— 70,12—Давленный порфирит с вкрапленностью пирита.
 70,12— 83,57—Керн размыт.
 83,57—150,20—Окременный и эпидотизированный порфирит, трещиноватый, эпидотизированный и окременный; трещинки выполнены пиритом.

Данная скважина вскрыла неожиданно новую линзу (вероятно, скрытую) значительной мощности. Скв. № 18 на незначительной глубине также были встречены охры, но это не было принято во внимание; принесли за опускавшийся со склона делюзий. Скважина № 15, пройдя проектную глубину, также не встретила рудную зону Северо-западного рудного тела.

4. Форма рудных тел.

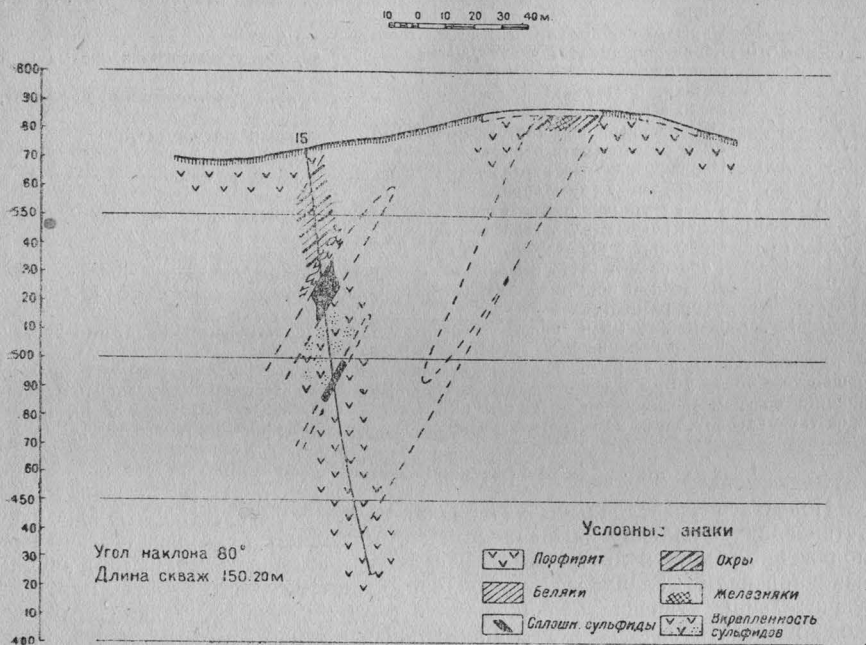
Пользуясь разведочными материалами Г. Г. Келля, И. К. Баженов устанавливает наличие на Майнском месторождении двух параллельно расположенных друг к другу жил. Эти жилы обединены нами под общим наименованием „Главное“ рудное тело. Вместе с тем, работы партии в значительной степени увеличивают тот материал, на основании которого можно сделать заключение относительно формы рудных тел месторождения. Прежде всего, обратимся к Главному рудному телу. Мы имеем здесь картину перемежаемости рудной вкрапленности различной интенсивности с рудами, состоящими из сплошных сульфидов. Кроме того, внутри рудной зоны Главного рудного тела обнаруживаются участки, иногда довольно значительные, пустой породы. Возможно, что тело является гораздо более сложным и состоит из более мелких линз чистой руды, ибо контуры его, составленные по точкам скважин, получились не совсем естественными.

На продолжении зоны Главного рудного тела вскрыты Северо-западное тело, четкообразное по простирианию, и второе, параллельное ей, вскрытые скв. № 15. Последнее тело, вероятно, состоит из двух линз, представляющих, повидимому, скрытые линзы, и потому интересные (фиг. 4).

На основании результатов поверхностных и, особенно, шурфовых работ, задавались буровые скважины, при чем сначала создавалось впечатление о непрерывности Главного рудного тела от поверхности в глубину. Баженов также признает, на основе материалов разведки 1917 г., непрерывность в глубину двух параллельных жил. Однако, выработки шахты № 5, а именно южный и северный квершлаги I горизонта дают нам совершенно иные показатели (фиг. 3). По падению от поверхности и на глубину Главное рудное тело непрерывности не дает, что показали результаты север-

ного квершлага. Правда, южный квершлаг дает нам две линзы „песков“, но они не совпадают с общей линией падения поверхности тела, хотя сами на данном горизонте имеют, примерно, такое же падение. Буровая скважина, заданная из конца южного квершлага ш. № 5 в северном направлении под углом в 70° вкрест простирации рудных линз, прошла данные две линзы „песков“ и затем уже вскрыла рудное тело, мощностью 10 м, состоящее из сплошных сульфидов зоны первичных руд, при чем это

РАЗРЕЗ по скв. № 15



Фиг. 4.

тело имеет, примерно, такое же падение, как и поверхность тела, и даже находится на его продолжении.

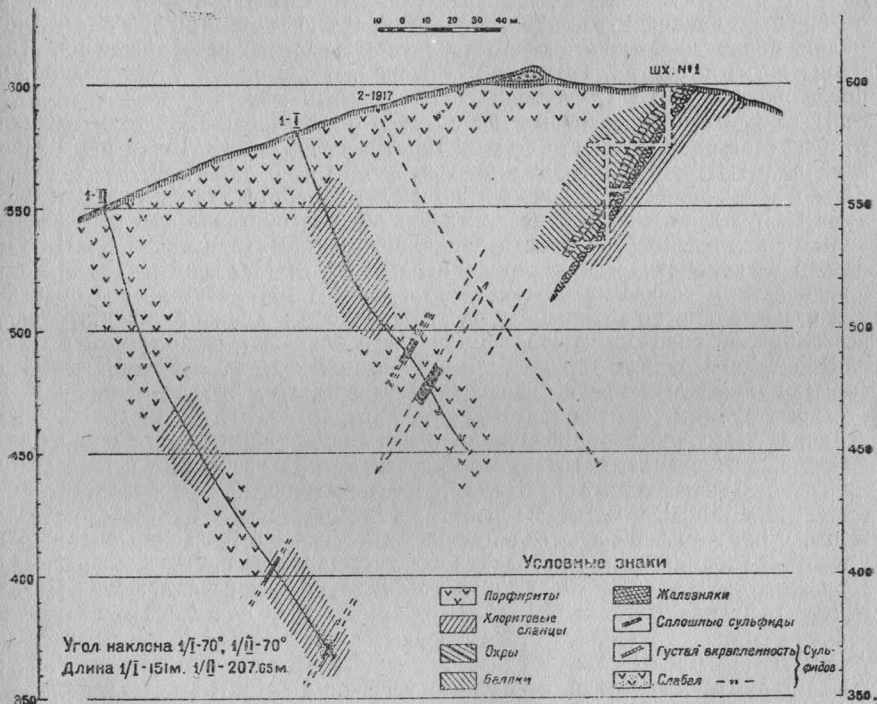
Но интересно, что мощность рудного тела на среднем горизонте скважины шахты № 5 (абс. отм. 491 м) меньше, чем на рудном горизонте скважины № 5 (абс. отм. 470 м). Таким образом, наблюдается определенное выклинивание данного рудного тела вверх до I горизонта шахты № 5. Иными словами—хотя данное и поверхность рудные тела по падению совпадают, но они представляют различные линзы в одной общей рудной зоне. И, наконец, особое положение в висячем боку этой зоны занимают те тонкие рудные тела, от которых сохранились лишь „пески“ южного квершлага ш. № 5.

Теперь, если перейти к геологическим документам шахты № 1 и ствола шахты № 5, то мы имеем следующую картину. Среди древних работ шахты № 1, проведенных на разных горизонтах (8 м, 20 м и др. от поверхности), и замеренных неполностью (судя по плану подземных работ Блуменау, а также и по описанию проф. Никитина) Ю.В. штрека по Главному рудному телу имеет 70 с лишним метров, это указывает на то, что древ-

ние выработки доходили до линии шахты № 5. Отсюда вполне понятным становится внезапное вскрытие стволом шахты № 5, при пересечении зоны охр на глубине 28—29 м от поверхности, больших размеров дыры. Данная зона охр также не совпадает по падению с общей линией падения поверхности рудного тела. Но древние выработки шахты № 1 везде проходили в зоне окисления Главного рудного тела. Отсюда само собой вытекает следствие, что зона охр на 28—29 м шахты № 5 и "пески" южного квершлага I горизонта той же шахты есть одно и то же рудное тело. Если же учесть, что в лежачем боку нижней линзы "песков" обнаруживается апофиза гранодиорита, которая и наблюдается и в стволе шахты № 5 (разрез скв. 3/1917 г., повидимому, дефективный), то нужно заключить, что изменение угла падения Главного рудного тела на горизонте 28—29 м от поверхности было обусловлено наличием данной апофизы.

Такая же картина наблюдается в разрезе буровых скважин № 1—I,

РАЗРЕЗ ПО СКВ. № 1/I 1/II И ШАХТЕ № 1



Фиг. 5.

№ 1—I, № 2 (1917 г.) и выработка шахты № 1 (фиг. 5), где рудная зона шахты № 1 не совмещается с рудными зонами буровых скважин.

Возвращаясь к шахте № 5, мы констатируем, что буровая скважина данной шахты дала новую линзу, состоящую из сплошных сульфидов зоны первичных руд. Таким образом, скважинами вскрыта скрытая линза Главного рудного тела, которая располагается несколько кулисообразно относительно поверхности рудного тела.

5. Электроразведочные работы.

В 1930 году Геофизическим Институтом была организована Хакасская электрометрическая партия под руководством горн. инж. Ю. Н. Лепешинского, которая, помимо работ на Темирском месторождении, провела электрометрические работы и на Майнском месторождении. В результате этих работ выявился ряд аномалий, которые по отчетным данным Ю. Н. Лепешинского, и нанесены на карту месторождения. Эти аномалии имеют следующее буквенное обозначение: А, ВСД, Е, F и G. Аномалии нанесены на карту (фиг. 1) в масштабе их интенсивности.

В 1932 г., по инициативе В. С. Домарева, Геофизическим Сектором ЦНИГРИ электрометрические работы на м-нии были повторены под руководством Ю. Н. Лепешинского и этими работами подтверждены все аномалии 1930 года.

Аномалии ВСД и Е расшифровывались легко, поскольку поверхностные и глубокие горные и буровые работы вскрыли соответствующие рудные тела: северо-западную рудную линзу и Главное рудное тело. Аномалию А, наиболее мощную, Ю. Н. Лепешинский считал безрудной и обяснял ее влиянием рельефа, поскольку она проходит по оси лога. Аномалии, обнаруживающиеся в ЮВ площади Майнского месторождения, Лепешинский считал северную F—рудной, а аномалию Т—безрудной, и последнюю по тем же причинам, что и аномалию А.

В результате разведочных работ 1933 года изменилась точка зрения относительно безрудности аномалии А, скважина № 15 с проектной глубиной 150 м была задана на северо-западную линзу, но на глубине 9,85—56,92 м пересекла зону охр и рудную зону, представленную сульфидами (фиг. 4). Этот факт в данное время вообще поставил под вопрос выводы относительно безрудности аномалий, в частности и аномалии G. Характер электрометрических аномалий на площади Майнского месторождения, в данном случае их интенсивность, зависит от глубины зоны окисления и, как видно по аномалиям Северо-западного и Главного рудного тела, все аномалии смещены в сторону висячего бока тел. Выявленный же характер формы рудных тел месторождения, при наличии кулисообразных и скрытых линз, заставляет определенно утверждать, что аномалии F и Т отвечают рудным скрытым линзам, только, вероятно, с глубокой зоной окисления. К этому нужно прибавить, что все аномалии имеют, примерно, одинаковое простижение, совпадающее со структурой участка.

Такой благоприятный результат электрометрических работ заставляет определенно пожелать, чтобы электроразведочные работы были продолжены, с охватом в первую голову полосы эффузивов близ контакта с Майнским гранодиоритом от Майнского месторождения как на запад, до Кальского месторождения, так и на восток, в районе расположения Никитинского рудника.

IV. Руды.

1. Минеральный состав рудных зон и структура первичных руд.

Пользуясь материалами разведочных и буровых работ 1917 г., И. К. Баженов устанавливает на Майнском месторождении зону первичных руд, зону железной шляпы и две зоны вторичных сульфидов. Зона I вторичных сульфидов находится на глубине 85—100 м. В состав ее входят халькопирит, халькозин, ковеллин, самородная медь и малахит. Этот вывод сделан по данным буровой скважины № 2 1917 года. Но кроме этой зоны вторичных сульфидов им установлена и II зона вторичных сульфидов, при-

чем данный вывод базируется на анализе довольно солидных древних глубоких выработок. Эта зона проводится им на глубине, примерно, 50 м от поверхности. Образование II зоны вторичных сульфидов И. К. Баженов обясняет изменением физико-географических условий района, в связи с оледенением Зап. Саяна, в результате чего воды Енисея, подпerteые ледником, были подняты на значительную высоту, а это сопровождалось и подъемом уровня подземных вод, вследствие чего горизонт отложения вторичных сульфидов все время поднимался, пока не достиг глубины 50 м. С последующим изменением физико-географических условий, при отступлении ледника, уровень воды Енисея понизился, и горизонт зоны цементации опять достиг глубины 85—100 м.

В данное время данные работ Минской геолого-разведочной партии, а также учет разведочных работ 1917 года и древних подземных выработок представляют такой значительный материал, что на основе его можно сделать более определенные выводы в части состава и классификации руд м-ния, в частности—и относительно вторичных сульфидов.

По характеру руд следует рудные тела Минского месторождения разбить на четыре зоны.

Зона, вскрытая поверхностными и неглубокими шурфовыми работами до горизонта 10 м, представлена рудами зоны полного выщелачивания. Здесь мы имеем преимущественно бурые железняки и охры, а также сохранившиеся от первичной зоны в лежачем боку тела магнетитовые руды. В зоне полного выщелачивания только по трещинам среди бурых железняков и охр, а также кое-где в магнетитовой залежи обнаруживаются отдельные участочки, покрытые налетами малахита и очень редко азурита. Бурые железняки, большую частью очень плотные, иногда пористые, перешедшие частично в ярко-красный турийт. Магнетиты—плотные очень тонкозернистые, довольно слабо действующие на магнитную стрелку.

Ниже зоны полного выщелачивания проходит очень глубокая зона окисления. В данной зоне и развивались древние подземные глубокие работы. Основной рудой была хризоколла—шлаковая медная руда, каковая очень редко образует крупные скопления. В данном случае она, повидимому, концентрировалась в виде жилок и более крупных жил, преимущественно—в наиболее мощном участке зоны железной шляпы. По причине выработанности этой руды, вероятно, и были прекращены старые подземные работы. Во всяком случае, как по сообщению Палласа, так и по экспертным работам проф. Никитина, работы остановились на очень тонких горизонтально лежащих прослоях хризоколлы. В зоне окисления встречаются в незначительных скоплениях малахит и азурит. Бурые железняки в зоне окисления занимают значительное место, протягиваясь от поверхности до горизонта, примерно, 70 м. Случайно и магнетитовая залежь на горизонте 90 м от поверхности по шахте № 5 выклинивается, и здесь обнаружаются только отдельные участки рассланцеванных порфиритов с вкрапленностью магнетита.

В вертикальном разрезе наклонного шурфа № 4, шахты № 5, буровой скважины № 3 (1917 г.), скважины № 5—I и скважины № 5-II (фиг. 3) верхние две линзы Главного рудного тела выщелочены, с уносом рудных минералов на цело, причем ниже I горизонта шахты № 5 они на каком-то расстоянии выклиниваются. Нижняя же линза, разведенная скважиной шахты № 5 и скважинами 5—I и 5-II, представлена рудами первичной зоны. Таким образом, в этом большом разрезе, разведенном достаточно полно, зоны цементации, повидимому, нет, или она незначительна, если не считать на горизонте 58—60 м от поверхности отдельные желвачки и миндалинки куприта, вскрытые стволом шахты № 5. Не противоречит этому и скважина № 3 (1917 года), которая пересекла только вкрапленность пирита

и халькопирита, также медного блеска или бурожелезистые прослойки, с вкрапленностью сульфидов, обнаруженно в хлоритовых сланцах. То же самое дает нам и ствол шахты № 5, где на 79 м от поверхности встречена вкрапленность пирита, а несколько выше по трещинкам обнаруживаются настки бурого железняка и т. д. А если все эти признаки несколько сместить, согласно крутому падению рудных тел, то мы и получим необходимое совмещение, с слабо представленной рудной зоной скважины № 3 (1917 года).

Несколько иная картина наблюдается в другом подобном же разрезе, а именно в разрезе шахты № 1, скважины 2 (1917 г.), скважины № I—II и скважины № 1—II (фиг. № 5). Разница здесь заключается в результатах скважины № 2 (1917 г.), от которой сохранилась графическая колонка с кратким описанием пройденных пород и руд, м. б. не совсем точным. Общая мощность рудной зоны, вскрытой скважиной № 2 (1917 г.), выражается в 23,10 м, куда входят и участки боковых пород, представленные каолинизированными, а иногда и не измененными сланцами, общая мощность которых достигает 7 м. Таким образом, суммарная мощность собственно рудной зоны выразится в 16,10 м. Рудная зона представлена в основном вкрапленностью сульфидов, где доминирующую роль занимает пирит, совершенно подчиненную роль—халькопирит, а также в убывающем порядке ковеллин и халькоzin. Встречаются и сплошные участки руд различной мощности от 0,06 до 1,97 м. Встретился один участок мощностью 0,17 м, состоящий из халькопирита и ковеллина. Для большей ясности расположения вскрытой скважиной № 2 (1917 г.) рудной зоны по отношению к другим разведочным выработкам, необходимо отметить, что средний горизонт данной рудной зоны—515 м, т. е. всего на 16 м глубже горизонта квершлага гезенка шахты № 1, равного 531 м. Если же провести сравнение с выработками шахты № 5, то рудная зона скважины № 2 (1917 г.) находится глубже горизонта I всего на 6 м. Но ниже южного квершлага I горизонта шахты № 5 вскрыта линза зоны первичных руд. Таким образом, рудная зона скважины № 2 (1917 г.) соответствует скрытой линзе шахты № 5, и, повидимому, скважина № 2 (1917 г.) пересекла эту рудную линзу в ее верхней части, где и имеет место образование вторичных сульфидов.

Итак, на Майнском месторождении можно выделить 4 зоны руд.

а) Зона полного выщелачивания—до горизонта 10 м от поверхности. Зона представлена бурыми железняками, турритом, охрами зоны железной шляпы; есть магнетитовая залежь. По трещинам и трещинам кое где наблюдаются налеты малахита и очень редко кристаллики азурита.

б) Зона окисления—до горизонта 9—100 м от поверхности, точнее—нижнюю границу данной зоны необходимо выразить абсолютной отметкой, которая колеблется в пределах 510—620 м. Зона характеризуется бурыми железняками, протягивающимися на глубину до 70 м, и медиистыми соединениями, преимущественное значение из которых имеет хризоколла (шлаковая медная руда), в значительной степени выработанная древними глубокими работами; затем малахит и азурит; кое где встречаются в очень незначительных количествах—халькопирит и халькоzin. Данная характеристика зоны окисления относится к рудным линзам Главного рудного тела, так как глубина зоны окисления для северо-западной части месторождения будет меньше.

в) Зона цементации. Вскрыта только одной буровой скважиной № 2 (1917 г.). Рудная зона в основном состоит из пирита и халькопирита, в значительно меньших количествах—ковеллина и халькоzина. Таким образом, на м-ии зона цементации, отвечающая I зоне вторичных сульфидов И. К. Баженова, выражена очень слабо.

Что касается II зоны вторичных сульфидов И. К. Баженова, то, основываясь на вышеперечисленных геологических материалах разведочных работ, мы полагаем, что ее фактически не существует, ибо нигде на наблюдали ее, а некоторые колебания в глубине нахождения отдельных участков вторичных сульфидов обусловлены распадением рудной зоны м-ния на отдельные линзы, из коих многие являются скрытыми.

г) Первичные руды. Минская геолого-разведочная партия обладает достаточно большим материалом по зоне первичных руд как Главного, так и Северо-западного рудных тел, именно—кернами буровых скважин. Рудные зоны буровых скважин весьма различны по своей мощности и представлены как вкрапленными, так и сплошными рудами.

Пользуясь этим, одним из основных признаков, мы разделили руды месторождения на три категории: сплошные руды (состоящие из сплошных сульфидов), густую вкрапленность и редкую или слабую вкрапленность, соответственно чему на таблице IX расклассифицированы рудные зоны скважин.

Таблица IX. Разделение рудных зон скважин на категории.

№№ скважин	Сплошные сульфиды м	Густая вкрапленность м.	Слабая в крепленность м.	Суммарная мощность в м.
1/I	3,43	—	—	3,43
4/I	3,89	2,77	—	6,57
5/I	4,71	2,75	6,71	14,17
7/I	22,70	2,47	18,93	44,10
8/I	0,58	—	1,25	1,83
9/I	5,45	—	—	5,45
Шахта № 5	6,47	1,51	0,69	8,67
16	1,62	—	0,99	2,61
15	9,33	—	—	9,33
6/I	1,21	2,18	1,13	4,52
10/I	—	—	0,29	0,29
1/II	1,38	0,28	1,40	3,06
5/II	1,06	1,93	9,14	12,13
7/III	—	2,78	14,67	17,45

Макроскопически рудам можно дать такую обобщенную характеристику. В основном рудная зона состоит из перемежаемости сплошных сульфидов с участками боковой породы, содержащей б. или м. густую сульфидную вкрапленность. Руды большею частью тонкозернисты и плотны. В висячем боку, например, по скважине № 7, они светложелтого цвета, благодаря преимущественному развитию пирита, но местами появляется значительное количество цинковой обманки, что резко меняет окраску, придавая руде сероватый цвет. По мере удаления от висячего бока к лежачему, пиритовая руда меняет окраску на зеленоватую, что характеризует уже приличное содержание меди.

Под микроскопом в отраженном свете шлифы сплошной сульфидной руды в основном состоят из пирита; прочие рудные и жильные минералы находятся в подчиненном количестве. Этими рудными минералами являются халькопирит, сфалерит и гидрогематит. В двух шлифах встречен ковеллин. В состав жильных минералов входят кварц и в значительно меньших количествах кальцит и хлорит.

Пирит—преобладает по количеству над всеми компонентами сплошных руд и составляет редко менее 50% от рудного тела. В шлифах скв. № 7/I (109,45—110,45) и скв. № 15 он является единственным рудным минералом.

Пирит проявляется следующим образом. 1) В эвгедральных зернах с наблюдающимися размерами зерен в пределах сотых долей миллиметра и реже в более крупных зернах—до 0,5—0,8 мм. Эвгедральные зерна пирита обрастаются кварцем, волнисто-угасающим, в удлиненных зернах, располагающихся перпендикулярно кристаллическим ограничениям пирита. 2) В срастании зерен пирита, при чем отдельные зерна агрегата различимы лишь при травлении пирита кислыми растворами перманганата. Размеры зерен колеблются здесь обычно в сотых долях миллиметра. 3) В большинстве шлифов пирит несет следы раздробления, при чем образуются мелкие трещинки, которые явились путями для проникновения и раскристаллизации более поздних сульфидных эманаций. Или же агрегат зерен, разбиваясь на отдельные обломки, цементируется прочими минералами рудного тела. В последнем случае обломки пирита изъедены замещающими минералами, с образованием раскрошенных структур замещения. Замещение пирита по определенным направлениям дает полосатый облик руде.

Магнетит. Количество магнетита в шлифах непостоянно. Обычно оно не велико. В скважине № 7 в висячем боку его совершенно нет, а в лежачем боку он кое-где в незначительных количествах встречается. Из свойств Майнского магнетита необходимо отметить его чрезвычайно легкую способность травиться SnCl_2 и концентрированным раствором HCl . Размеры зерен магнетита очень малы и почти не превышают 0,05 мм, а иногда размеры их определяются тысячными долями миллиметра. Часто размеры зерен трудно установить из-за значительной их раздробленности. Магнетит имеет стремление к образованию эвгедральных зерен. В отдельных случаях встречались удлиненные зерна магнетита. Он наблюдается между зерен пирита, или в отдельных зернышках, или же в целых срастаниях, иногда же в виде отдельных жилок.

Сфалерит. Количество сфалерита непостоянно. В наибольшем количестве он встречен в шлифах скважины № 9. В ряде шлифов по другим скважинам он совершенно отсутствует. При травлении кислым раствором перманганата выявляется аллотриоморфно-зернистая структура сфалерита. Зерна сфалерита имеют размеры—0,1—0,05 мм. Части двойники в виде различной ширины полосок. В удлиненных зернах сфалерита наблюдается изогнутость их вследствие испытанных рудным телом дислокаций. В некоторых участках наблюдаются мельчайшие эмульсионные включения халькопирита в сфалерите. Особенно часто сфалерит виден в срастании с халькопиритом. Границы срастаний ровные и прямые. В редких случаях приходилось наблюдать короткие жилки халькопирита между зернами сфалерита. Последний чаще встречается в виде жилок в жильных минералах, между зернами пирита. В шлифах скв. № 9 хорошо наблюдается картина замещения сфалеритом пирита, неправильные изъеденные остатки которого создают раскрошенную структуру замещения. Иногда замещение сфалеритом пирита проходит по зонам раздробления, что создает полосчатый характер руде.

Халькопирит наблюдается обычно в небольших количествах, но присутствует почти во всех шлифах. При травлении 25% раствором пирросульфата аммония с аммиаком выявляется аллотриоморфно-зернистый агрегат халькопирита, состоящий из мелких зерен, размерами в пределах 0,01—0,1 мм. Часто наблюдаются двойники в виде прямых полосок, напоминающие полисинтетические двойники плагиоклазов. Халькопирит встречается в ангедральных зернышках между зернами пирита. В случае больших количеств он образует короткие лапчатые жилки, выполняя также промежутки между зернами пирита и их незамещенными остатками, что создает петельчатую структуру замещения. Таким образом, в замещении пирита на ряду со сфалеритом принимает значительное участие халькопи-

рит, при чем последний доминирует над первым. Тонкие жилки халькопирита проникают по трещинам пирита и, замещая его, создают многочисленные заливчики, что создает при образовании отдельных остатков зерен пирита раскрошенные структуры замещения. Как уже упоминалось выше, халькопирит иногда наблюдается в срастаниях со сфалеритом, иногда в виде эмульсионных включений в последнем. В некоторых участках заметна более поздняя раскристаллизация халькопирита по отношению сфалерита, так как в трещинках последнего иногда располагаются короткие жилки халькопирита. В халькопирите встречаются идиоморфные включения хлорита в лучистых агрегатах.

Турьит присутствует почти во всех шлифах, но количество его очень не велико. В шлифах турьит имеет серовато-голубоватый цвет. Хорошо выражен внутренний рефлекс красного цвета. При скрещенных николях ясно поляризирует, при чем выявляется структура с частыми пластинчатыми двойниками. При травлении SnCl_2 турьит тускнеет, и обнаруживаются его структурные особенности. Размеры зерен колеблются в пределах 0,05—0,1 мм. Форма зерен обычно игольчатая, хотя не редки и аллотриоморфные агрегаты. Срастания игольчатых зерен в жильных минералах образуют дендритообразные агрегаты. Турьит часто наблюдается с магнетитом, при чем кое-где заметно замещение турьитом последнего. Взаимоотношения турьита со сфалеритом и халькопиритом устанавливаются не-трудно: в агрегате сфалерита встречаются зернышки турьита; в срастаниях с халькопиритом турьит дает кое-где эвгедимальные очертания.

Ковеллин встречен в двух шлифах скважины № 7, в наиболее высоких горизонтах, и в шлифе скважины шахты № 5. Его таблички замещают халькопирит по краям зерен или же дают короткие жилки.

2. Порядок выделения минералов.

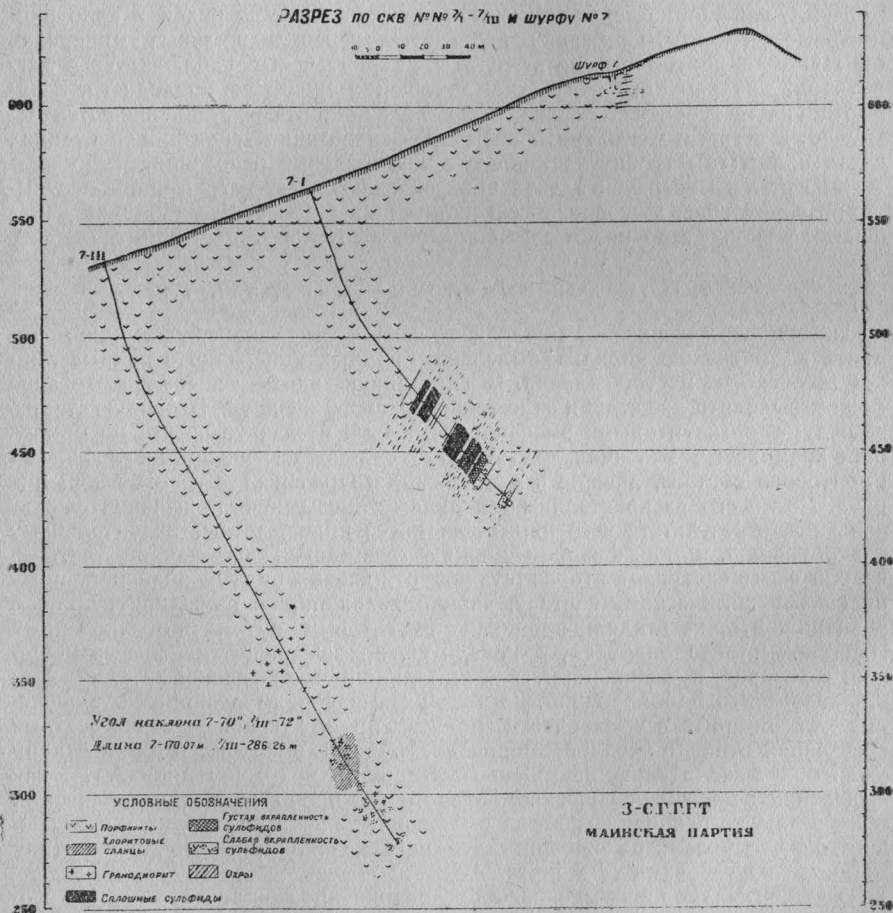
На основе материалов минерографического исследования можно пойти к выяснению порядка выделения рудных минералив в рудных линзах Майнского месторождения. В гипогенную эпоху минералообразования можно выделить две стадии отложения рудных минералов. В первую стадию на ряду с магнетитовыми эманациями, весьма незначительными по объему, шли кремнистые эманации, чрезвычайно сильно насыщенные сульфидами пиритового состава, давшие в основном эвгедальный агрегат зерен пирита. После его раскристаллизации рудные линзы испытали значительное давление, в результате чего пиритовая масса подвернулась значительному раздроблению, с образованием мелких трещинок. После данной тектонической фазы наступает вторая стадия отложения рудных эманаций, иных по своему химическому составу, давших халькопирит и сфалерит, при чем эманации второй стадии, проникая по готовым путям многочисленных трещинок пиритовой массы, раз'едали ее, производя интенсивные замещения. Сфалерит и халькопирит в значительной части данной стадии кристаллизовались одновременно, на что указывают эмульсионные включения халькопирита в сфалерите и ровные прямые границы в совместных срастаниях этих минералов. Вероятно, рудные эманации второй стадии были более значительно насыщены сульфидами меди, чем цинка, так как выделений первого больше, чем второго, и процесс раскристаллизации сфалерита уже закончился, когда выделения халькопирита еще продолжались, на что указывает раскристаллизация халькопирита в виде коротких жилок между зернами сфалерита.

В супергенную эпоху минералообразования произошло образование вторичных минералов, встреченных в первичной рудной зоне месторождения в весьма незначительных количествах, а именно — турьита и ковеллина.

3. Химическая характеристика руд.

Руды зоны окисления, протягивающиеся на глубину по 90—100 м от поверхности, нас мало интересуют, поскольку они в основном представлены бурьми железняками и охрами, с незначительными примазками малахита и линзочками хризоколлы. Хризоколла в древнее время имела практическое значение, но была в наиболее мощном участке зоны окисленных руд выработана. Опробование охр, бурых железняков и магнетитов, произведенное проф. Никитиным в 1916 г., только кое-где дало положительные результаты, в смысле содержания меди, но не выше 1,5%, и только опробованный рудный штабель, состоящий в основном из хризоколлы, дал 5,0% меди. Результаты опробования зоны окисления, произведенные Майнской геологоразведочной партией, дали в подавляющем случае отрицательные результаты.

Руды зоны цементации, вскрытые только одной буровой скважиной



Фиг. 6.

№ 2 (1917 г.), показывают в некоторых участках высокое содержание меди, согласно данным Г. Г. Келля (9, а именно по этой скважине было встречено руды с содержанием меди ниже 2%—6,2 м. суммарной мощности. Что касается определенного им среднего содержания меди на протяжении 5 м около 11,9%, то, как видно из приведенных цифр, это не отвечает действительности.

Опробование на золото и серебро дало отрицательный результат.

Особенно полно исследована теперь зона первичных руд месторождения. Сюда прежде всего относится I рудный горизонт Главного тела, разбуренный 6 скважинами. В висячем боку рудное тело существенно состоит из пирита. По мере перехода от висячего к лежачему боку, в состав рудного тела входит халькопирит, доходящий иногда до 6—10%. Наиболее рельефно эта картина наблюдается в мощных участках рудного тела. Для иллюстрации мной представляется ниже таблица (Х) процентного содержания меди по скв., № 7, начиная от висячего бока, при чем в ней даны среднее содержание меди по отдельным зонам (фиг. 6).

Таблица Х средних содержаний меди по рудным зонам скв. № 7/1.

Рудные зоны	По скваж. в м		Приведенная мощность в м	Содержание меди в %
	От	До		
I	103—47	123—53	18,66	0,25
II	123—57	134—22	9,79	2,01
III	135—26	150—87	14,89	1,82

По содержанию меди разведанные рудные зоны буровых скважин были разделены на 2 сорта, при чем к рудам I сорта были отнесены все те участки рудной зоны, которые давали содержание меди не ниже 1,5%. Ниже нами приводятся таблицы (XI и XII) среднего состава руд I рудного горизонта, составленные по данным парциальных анализов.

Обращает на себя внимание повышенное содержание цинка в рудах II сорта, т. е. в участках с меньшим содержанием меди. Такая же картина наблюдается и по Северо-западному рудному телу, где рудное тело, вскрытое одной буровой скважиной № 16, мощностью около 2 м, состоит исключительно из серного колчедана, с незначительным процентным содержанием меди, от 0,13% до 0,25%, но зато в состав данной бедной медью руды входит цинк, содержание которого колеблется в пределах от 1,03% и до 5,80%.

Для более детальной характеристики состава руд, ниже нами представляется результат полного анализа по скважинам № 1 и № 9, при чем необходимо обратить внимание на высокое содержание цинка в рудах скважины № 9 (табл. XIII).

Таблица XIII. Полный химический анализ по скв. №№ 1 и 9.

Скв. №	Секции скв. в м	SiO ₂	Al ₂ O ₃	TiO ₂	MnO	CaO	MgO	Fe	Zn	S	Cu	P ₂ O ₅
Скв. 1	118,60 — 119,60	4,72	2,57	Нет	Сл.	8,71	1,90	34,44	1,18	37,14	2,90	0,05
• 9	147,97 — 148,57	3,83	0,21	Нет	Нет	3,49	Нет	33,28	10,67	45,44	0,28	0,04
• 9	165,58 — 166,05	7,28	1,25	Нет	Нет	5,00	1,02	35,82	3,54	35,95	3,55	Нет

Сводная таблица XI среднего состава руд по Главному рудному телу Манинского месторождения для первого горизонта.

Руды I сорта.

№	Краскин	Средний % соедпк.	Суммарная руды I сорта на 1 тонну	Техесер на 1 тонну	Средний % соедпк.	Суммарная руды I сорта на 1 тонну	Техесер на 1 тонну	Средний % соедпк.	Суммарная руды I сорта на 1 тонну	Техесер на 1 тонну	Средний % соедпк.	Суммарная руды I сорта на 1 тонну	Техесер на 1 тонну		
1/1 . .	2.41	3.81	9.182	1.98	3.81	7.544	37.04	3.81	141.122	35.53	3.81	135.369	4.94	3.81	18.821
4/1 . .	1.71	5.74	9.815	0.27	2.90	0.783	41.42	1.05	43.491	29.05	1.05	41.003	17.04	1.05	17.892
5/1 . .	2.02	9.10	18.382	0.28	3.61	1.011	38.25	4.77	182.448	32.87	3.09	101.581	18.74	3.09	57.907
7/1 . .	1.77	26.26	46.480	0.73	24.08	17.578	31.15	26.26	817.999	36.03	19.55	704.387	12.84	19.55	251.022
8/1 . .	1.58	4.42	6.984	2.36	3.26	7.694	41.85	3.75	156.938	40.90	3.75	153.375	3.94	3.75	14.786
Шх. 5 .	3.23	11.11	35.885	0.19	9.19	1.746	—	—	—	—	—	—	—	—	—
	—	60.44	126.728	—	46.85	36.356	—	39.64	1341.998	—	31.25	1135.715	—	31.25	260.428

Отсюда среднее содержание на I горизонте в рудах I сорта меди—2.10%, цинка 0.77%, серы—33.85%, железа—36.34%, кремнезема—11.53%.

Средний удельный вес руд I сорта—4.15.

Сводная таблица XII среднего состава руд главного рудного тела для 1 горизонта.

Руды II сорта.

№-е	Содержание Металлов	Содержание Гипса в %	Содержание Содергания Кремнезема	Содержание Кремнезема в %	Литература данных	Содержание Гипса в %	Содержание Содергания Кремнезема	Содержание Кремнезема в %	Литература данных	Содержание Гипса в %	Содержание Содергания Кремнезема	Содержание Кремнезема в %	Литература данных	Содержание Гипса в %	Содержание Содергания Кремнезема	Содержание Кремнезема в %	Литература данных	Содержание Гипса в %	Содержание Содергания Кремнезема	Содержание Кремнезема в %	Литература данных				
4/I	0.67	2.40	1.608	0.70	1.50	1.050	37.60	2.10	78.96	37.12	—	—	—	—	—	—	—	—	—	—	—	—	—	—	
5/I	0.58	5.65	3.227	0.11	1.84	0.202	—	—	—	—	—	—	—	—	—	—	—	—	—	—	—	—	—	—	—
7/I	0.17	20.10	3.417	0.66	20.10	13.266	26.63	20.10	535.263	29.16	20.10	586.116	22.94	20.10	461.094	—	—	—	—	—	—	—	—	—	
8/I	0.54	2.67	1.442	0.44	0.51	0.224	46.22	0.51	23.572	39.79	0.51	20.293	7.92	0.51	40.39	—	—	—	—	—	—	—	—	—	
9/I	0.27	1.21	0.327	7.33	1.21	8.869	45.30	1.21	54.813	35.29	1.21	42.701	4.91	1.21	5.941	—	—	—	—	—	—	—	—	—	
	32.03	10.021	—	25.16	23.611	—	23.92	692.608	—	23.92	727.062	—	23.92	488.504	—	—	—	—	—	—	—	—	—	—	

Средний удельный вес руд II сорта—3.85.

4. Запасы руд и металлов.

Подсчет запасов руды и металла по Майнскому м-нию произведен только по Главному рудному телу, как по наиболее разведанному об'екту. При данном подсчете были использованы как материалы разведочных работ 1930—1933 г.г., так и материалы разведки 1917 г. В подсчет в основном вошли руды первичной зоны, а также учтены руды зоны цементации по данным скв. № 2 (1917 г.). Руды зоны окисления не принимаются во внимание, вследствие значительной выработанности в древнее время на площади наиболее мощного их развития, а также по причине незначительного процентного содержания меди в спорадически редко расположенных примазках малахита и линзочках хризоколлы в трещинах бурых железняков. Подсчеты сделаны по прилагаемым графическим схемам (фиг. 7 и 8), на которых выклиника рудной зоны принята на горизонте 305 м, как это явствует из разреза по скв. 7—III (фиг. 6) и чему не противоречит разрез по скв. 5—II (фиг. 3), показавший быстрое расщепление на глубину рудной линзы скважины из ш. № 5. Результаты подсчета приведены в сводной таблице XIV.

Сводная таблица XIV. Запасов руд и металла по Главному телу Майнского месторождения.

Категория запасов	Сорт	Запас ру-	Запас ме-	Средн. содерж. меди в %	Запас цинка в т.	Средн. содерж. цинка в %	Запасы серного колчеда- на в т	Средн. содерж. серы в %
		ды в т.	ди в т.					
В	I	864.818	17.942	2,07	6.040	0,70	507,216	33,85
	II	508.217	1.658	0,33	3.901	0,77	267,881	28,96
Итого запасов В		1.373.035	19.600	1,43	9.942	0,72	775,097	
С	I	534.609	9.839	1,84	5.292	0,99	313,548	33,85
	II	420.893	1.093	0,26	3.90	0,81	221,353	28,96
З о н а ц е м е н т а ц и и								
Итого запасов С	I	118.454	11.845	10,0			69,473	33,85
		1.073.956	22.777		8.682		604,804	
всего		2.446.991	42.377		18.624		1.379,971	

Необходимо отметить, что руды II сорта в основном находятся в висячем боку рудного тела и почти полностью состоят из сплошных сливных серных колчеданов, бедных медью.

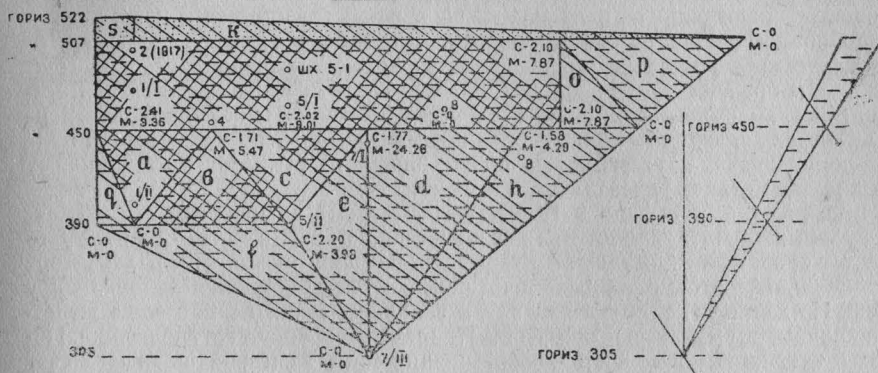
Если принять во внимание другие рудные тела, каковые еще не подвергались достаточной разведке, как-то, северо-западное тело и затем вскрытое скв. № 15 новое рудное тело, состоящее, повидимому, из двух линз, а также юго-восточные аномалии, которые, по нашему мнению, являются рудными, то цифра запаса меди, данная В. С. Домаревым для Майнского месторождения в 110.000 т, является не проблематичной, а весьма вероятной.

V. Генезис месторождения.

Впервые довольно подробно на типе Майнского месторождения останавливается И. К. Баженов, которым сделаны выводы на основании исследования материалов разведки 1917 г. (4, 34). Он относит Майнское ме-

СХЕМА
подсчета запасов Майнского меднорудного м-ния
руды I^{го} сорта

20 0 20 40 60 80 мт



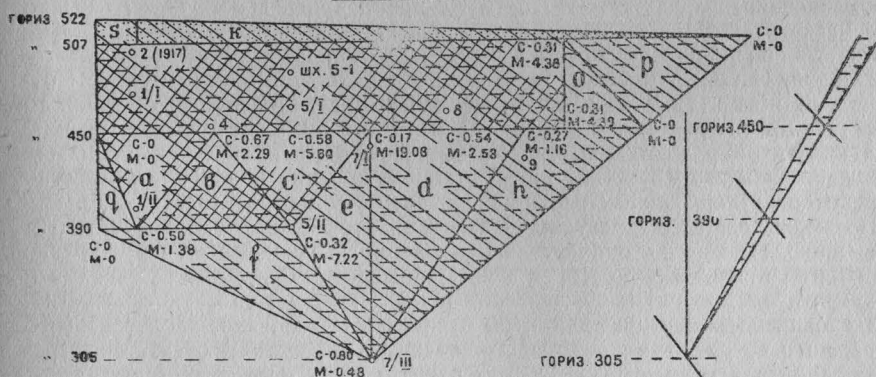
Условные знаки

- | | |
|---------------------|--------------------|
| Зона руд цементации | Запасы категории В |
| Зона первичных руд | Запасы категории С |

Фиг. 7.

СХЕМА
подсчета запасов Майнского меднорудного м-ния
руды II^{го} сорта

20 0 20 40 60 80 мт



Условные знаки

- | | |
|---------------------|--------------------|
| Зона руд цементации | Запасы категории В |
| Зона первичных руд | Запасы категории С |

Фиг. 8.

сторожение к контактово-метаморфическому типу, хотя им и учитывается отсутствие характерных контактовых минералов, как граната, везувиана и друг., а по форме—к жилообразным телам. Отсутствие в рудной зоне характерных контактовых минералов Баженов объясняет, во-первых, быстрым остыванием гипабиссальной интрузии гранодиорита и, во-вторых, влиянием вмещающих пород, каковые, не являясь известняками, чрезвычайно слабо поддаются процессам замещения. При этом Баженов считает, что Майнское месторождение можно было бы назвать разновидностью контактово-метаморфических месторождений, т.е. отнести его к контактово-метасоматическим образованиям, но в этом нет особенной необходимости—продолжает он—поскольку по ассоциации минералов и по процессам их отложения данная разновидность почти ничем не отличается от типичных контактово-метаморфических образований.

Еще раньше, а именно в 1916—17 г., во время экспериментальных и разведочных буровых работ, проф. В. В. Никитин, проводивший общее руководство работами, делает некоторые заключения по вопросу о характере и типе Майнского месторождения (6). Некоторые сомнения возникли и у проф. Никитина, так как на ряду с наличием значительной зоны железной шляпы, присутствуют и магнетиты в лежачем боку месторождения. Поэтому ставилось под вопрос образование зоны железной шляпы за счет серноколчеданных руд месторождения, и даже возникло подозрение, что магнетиты отложены на контакте щелочной магмы и известняков, при чем хлоритовые породы на большей глубине будут отвечать хлоритово-гранатовым породам Меднорудянского рудника, а охры—есть продукт выветривания известняков, сланцев и частью гранатовых пород, подобных так называемой „железине“ Меднорудянского рудника. При таком представлении шлаковатая медная руда есть также вторичный продукт, подобный шлаковатой руде и малахиту, так называемой „тальковой“ или глинистой руде Меднорудянского рудника. Отсюда проф. Никитин делает предположение, что тогда на более глубоких горизонтах, защищенных от выветривания, мы нашли бы вместо сплошных колчеданов только вкрашенность последних в магнетите и в хлоритово-гранатовых породах, и данная вкрашенность, по аналогии с Меднорудянским рудником, вероятнее всего—не промышленного характера. Но в то же время проф. Никитин отмечает, что магнетиты Майнского месторождения своеобразны и довольно сильно отличны по внешнему виду от магнетитов типичных контактовых месторождений. Наконец, отмечает он, если хлоритовые породы и сланцы отличны от пород, типичных для колчеданных уральских месторождений, то вместе с тем мы не могли бы назвать заведомого контактового месторождения, контактовые породы которого совершенно бы отвечали типу Майнских сланцев. Правда, присутствие магнетитов в небольших количествах известно в некоторых колчеданных месторождениях, например—в Калатинском.

Позже, на основании результата анализов буровых железняков и магнетитов, проф. Никитин окончательно приходит к заключению, что верхние горизонты Майнского месторождения, сложенные бурыми железняками и охрами, представляют зону железной шляпы. Правда, вследствие магнетиты Майнского месторождения он относит к образованиям контактового типа, но в то же время само месторождение, вследствие отсутствия граната, диопсида и эпидота, не может отнести к контактовому типу (8).

Используя достаточно значительные материалы разведочных работ 1930—33 гг., а также материалы работ прошлых лет, мы имеем возможность более уверенно подойти к разрешению вопроса о генезисе Майнского месторождения. Итак, в результате внедрения гипабиссального тела Майнского гранодиорита в эфузивную толщу, последняя подверглась процессам контактового метаморфизма, с привносом вещества из магмы.

Контактовыми минералами в основном оказались: эпидот-актинолитовая роговая обманка и хлорит. Эпидот, по данным Баженова, отложился как в гранодиорите, так и в порфиритах, где он замещает минералы в боках трещинок. Актинолитовая роговая обманка привнесена была несколько позже, так как кое-где она замещает эпидот. Что же касается хлорита, то Баженов указывает на наличие двух его разновидностей, которые можно узаконить двух минералов (1). Этот процесс контактowego изменения эффузивных пород, повидимому, продолжался достаточно долго, по мере остывания интрузии Майнского гранодиорита. Данные, сравнительно высокотемпературные эманации, проникали по мельчайшим порам минеральных зерен пород и субмикроскопическим трещинам по всей зоне контакта. При этом наблюдается крайне неравномерная эпидотизация эффузивов как по интенсивности, так и по охвату площадей. То же нужно сказать относительно неравномерного распределения участков хлоритизации, между прочим приуроченных к породам, или слабо, или совсем не эпидотизированным, так как более ранний процесс—эпидотизация сопровождалась усилением плотности и крепости пород. В дальнейшем эффузивы площади Майнского месторождения подверглись значительному сжатию, в результате чего отдельные зоны, неправильной формы, ослабленные хлоритизацией, были в значительной степени рассланцованны, тогда как порфириты, эпидотизированные и в слабой степени хлоритизированные, или совсем не несут рассланцовки, или несут на себе только следы ее.

Но возвратимся к поствулканическим процессам интрузии. После хлоритизации наступила новая стадия раскрывания трещин, по которым устроились растворы магнетитового состава, которые и дали небольшую залежь Майнскох магнетитов. Нужно отметить, что эти магнетиты чрезвычайно тонкозернисты и плотны.

После данной стадии образования магнетитовой залежи эффузивы также подвергались чередующимся периодам сжатия и ослабления, в результате чего образовывались трещины различного характера, по которым шли растворы из более глубоких частей интрузии, где происходило скопление конечных продуктов дифференциации. В следующую стадию поднимались, вероятно, кремнистые растворы, в составе которых значительную роль играли и сульфиды. В результате произошло образование серноколчедановых линз, где отдельные зерна, а также целые агрегаты пирита окружены оторочкой кварца с распределением удлиненных зерен его перпендикулярно-кристалическим ограничением пирита. Кроме того, данная стадия сопровождается значительным окремнением и окварцеванием, прилегающими к рудным зальбандам эффузивов. В конце данной стадии эффузивы претерпели сжатие, вследствие чего пириты серноколчеданных линз несколько деформировались, с образованием многочисленных трещинок, которые явились путями для проникновения новых растворов, в состав которых входили сульфиды халькопирита и цинка. Данные растворы, проникая по трещинкам, замещали пирит.

В последующее время район м-ния неоднократно подвергался давлению, которое, действуя селективно, рассланцевало более скатые хлоритизированные участки и сравнительно слабо затронуло компетентные руды, в которых—однако—нередко встречаются зоны смятия.

VI. Характеристика прочих месторождений цветных металлов района.

В полосе эффузивной толщи северной части Зап. Саяна, приурочиваясь к контакту Майнского гранодиорита, залегает ряд месторождений цветных металлов, в основном меднорудных.

Никитинское месторождение описано И. К. Баженовым (1, 45). М-ние расположено в 8 км на ЮВ от д. Означенной, в самой вер-

шине кл. Никитинского, впадающего справа в р. Енисей. Месторождение залегает в порфиритах в виде незначительных линз и жилок пирита и халькопирита, с простиранием СЗ:300°, при чем рудная зона достигает 10 м мощности. Порфириты эпидотизированы, хлоритизированы и импренированы магнетитом, железным блеском и пиритом. Зона окисленных руд по глубине распространения незначительна, достигая метров 8, и представлена бурыми железняками, с налетами медной зелени. Месторождение вскрыто небольшим числом мелких выработок. По своему характеру месторождение напоминает Майнское, но по размерам уступает, вероятно, последнему.

Месторождение по ключу Касташному находится в 4 км к ВЮВ от д. Означенной на правом берегу р. Енисея. Месторождение залегает в порфиритах, каковые остались в виде небольшого пятна на Майнском гранодиорите. Месторождение вскрыто несколькими неглубокими ямами на протяжении 100 м по простиранию рудного тела ЮЗ:240°. Рудная зона представлена магнетитом и бурыми железняками. Окисленных руд меди не наблюдается (1,46).

Кальское м-ние находится на левой стороне рч. М. Калы, в 4 км к Ю от д. Калы. Расположено на вершине водораздельной гривы между рч. Ср. и М. Калы, на высоте 100 м над уровнем речек. Месторождение залегает в порфиритах и кв. альбитофирах. Многочисленные мелкие выработки расположены в направлении ЮЗ:210° и занимают зону шириной 20 м, на протяжении примерно 200 м. Зона окисления здесь, вероятно, очень незначительна, так как Баженов фиксирует на глубине 4 м первичные сульфиды. Руды зоны окисления представлены плотными и пористыми бурыми железняками, жилками халькопирита и пирита и примазок малахита.

Кроме вышеотмеченных месторождений, зафиксировано И. К. Баженовым еще ряд рудных точек, менее значительных по размерам, например,—м-ние на горе Амай, залегающее также в полосе эффузивных пород, и др.

VII. Заключение.

Майнское меднорудное месторождение известно с давних пор: в 1732 г. на нем был открыт Майнский рудник, причем разработки велись в зоне окисления и добывалась, главным образом, шлаковатая медная руда—хризоколла. В том же столетии добыча медных руд была прекращена, вследствие, вероятно, уже значительной их выработанности, при чем в основном разработки велись на площади наиболее мощного развития окисленных руд.

Впервые планомерной и геологически обоснованной разведке Майнское м-ние подверглось в 1917 г., каковые работы проводил инж. Келль под общим руководством проф. Никитина.

В 1930 г., в связи с планом работ первой пятилетки, в основу которого легла подготовка сырьевой базы для новой, а также реконструируемой тяжелой промышленности Союза, возникла проблема Хакасско-Минусинских медных руд, как сырьевой базы для будущего Хакасско-Минусинского медеплавильного завода. Среди ряда меднорудных месторождений Хакасии, подвергнувшихся разведке, было и Майнское месторождение, разведочные работы на каковом продолжались с 1930 и по 1933 г. включительно, проводимые стационарной партией Зап.-Сиб. ГРУ.

Майнское месторождение находится в 80 км от г. Минусинска и в 7 км на Ю от д. Означенной, Аскызского района Хакасской автономной области, и расположено в предгорьях Зап.-Саяна на самой вершине Майнской горы, на abs. высоте 634 м. Месторождение залегает в полосе кембрийских эффузивов, протягивающихся в широтном направлении. Эффузивы в 0,5 км к северу от месторождения прорваны линейной интрузией Майнского гра-

нодиорита, с которой генетически и связывается оруденение района, при чем интрузивная порода констатирована местами вблизи м-ния, слагая линзоподобные тела, обладающие, очевидно, склонением (фиг. 3). Эффузивы подверглись зеленокаменному изменению, преимущественно под влиянием интрузии, и приобрели почти одинаковый внешний вид, будучи довольно разнообразны по составу, от кв. альбитофириров до диабазов. На юге полоса эффузивов по тектонической зоне граничит с метаморфической толщей Зап. Саяна, представленной тонкозернистыми известняками, роговиками и сланцами.

Выхода рудных тел Майнского м-ния обнаруживаются у самой вершины Майнской горы. Доминирующее простирание рудных тел СЗ:290°, с падением на ЮЗ под углом 60°, соответственно структуре эффузивов, испытавших давление еще до рудообразования (фиг. 1). Главное рудное тело по простиранию вскрыто на 450 м, выклиниваясь на глубине, примерно, 250 м. Северо-западное прослежено по простиранию на 250 м. Вскрытое буровыми работами второе северо-западное рудное тело, состоящее, вероятно, из двух довольно значительных по мощности рудных линз, пока не прослежено по простиранию (фиг. 4).

Изученное достаточно подробно Главное рудное тело представляет собственно зону, состоящую из линз сплошной сульфидной руды, перемежающихся с более или менее густою вкрапленностью сульфидов, а также с порфиритами, которые испытали значительные эпидотизацию, хлоритизацию и окремнение, при чем хлоритированные участки в последующем под влиянием тангенциального давления рассланцевались в хлоритовые сланцы.

Первичные руды состоят существенно из пирита с некоторою примесью халькопирита и сфалерита, выделившихся в приведенном порядке после указанной выше минерализации. Интересно, что перед сульфидами местами отложилось порядочное количество магнетита.

Таким образом, Майнское м-ние имеет некоторые признаки контактowych м-ний, относясь вообще к группе серноколчеданных медно-цинковых м-ний гидротермального происхождения.

Руды главного тела м-ния разбиты на 2 сорта, с границей между ними по содержанию меди в 1,5%. Среднее взвешенное содержание в рудах I сорта равняется для меди 2,10% и для цинка—0,77% (табл. XI), а в рудах II сорта—соответственно 0,31% и 0,94%. Отсюда видно, что Майнское м-ние представляет интерес и в отношении цинка, но для окончательного решения этого вопроса необходимы еще дополнительные исследования, а именно—по другим рудным телам.

Зона выщелачивания и окисления спускается в линзах, выходящих на поверхность, до глубины местами 100 м, не представляя промышленного интереса—тем более, что наиболее крупные скопления хризоколлы и других окисных соединений меди были выбраны еще в XVIII ст. Зона цементации также не велика, а в слепых линзах почти совсем не проявилась. Таким образом, запасы металлов содержатся существенно в первичной зоне. Запасы по Главному рудному телу подсчитаны (табл. XIV) в количестве, примерно, 42 тыс. т меди и 18 тыс. т цинка.

Электроразведка, проведенная на м-нии в 1930 и 1932 г.г., обнаружила еще несколько аномалий, параллельных разведенными рудным телам (фиг. 1). Из них аномалия А уже проверена в верхнем горизонте скважиной № 15, обнаружившей здесь слепую рудную линзу (фиг. 4). Возможно, что и аномалии F и G окажутся рудными, и тогда Майнское м-ние окажется достаточно богатым.

Список литературы.

1. Баженов, И. К.—Отчет о геологических исследованиях в районе Майнского м-ния.—Изв. СОГК, т. IV—I, 1924.
2. Баженов, И. К.—Предварительный отчет о геологических исследованиях в 1925 году в ЮЗ. Саянах.—Изв. СОГК, 1926, IV—I.
3. Баженов, И. К.—Предварительный отчет о геологических исследованиях в 1924 г. в ЮЗ. Саянах.—Изв. СОГК, IV—1925.
4. Молчанов, И. А.—Геологическая характеристика участка проектировки Верхнеенисейской гидро-электроцентрали.—Рукопись Отдела Фондов Зар.-Сиб. ГРТ.
5. Келль, Г. Г.—Материалы по медным м-ням Минусинского и Ачинского уездов.—Геологический Вестник № 1, 1916.
6. Никитин, В. В.—Майнский медный рудник. Отчет 1916 г.—Материалы Отдела Фондов ЗСГРТ.
7. Реутовский—Майнский рудник.—Там-же.
8. Никитин, В. В.—Выписка из дополнения к отчету „Об экспертизе месторождений Я. А. Метелкина в Минусинском районе“. 1916.—Там же.
9. Никитин, В. В.—Письмо директору Ю-СОГМ заводов Л. З. Ратмовскому.—Там же
10. Келль, Г. Г.—Выписка из записки „Майнское меднорудное м-ние. Разведка 1917 г.“—Там же.
11. Паллас, П. С.—Путешествие по разным провинциям Российского государства 1772—1773 г.—Перевод Василия Зуева, 1788 г.
12. Баженов, И. К.—Геологический и геохимический очерк Хакасско-Минусинского района.—Рукопись 1933 г. в Отделе Фондов ЗСГРТ.
13. Яговкин, И. С.—Вторичное обогащение сульфидов. Горный Журнал, 1923 и 1924 г.г.

Summary.

The Mainsk deposit is situated 80 km south from the town Minussinsk and 7 km south from the village Oznatchenaya, West Siberia, and lies within a belt of Cambrian effusives of latitudinal strike. Half a kilometer northward, intruding these effusives occurs the linear intrusion of Mainsk granodiorite which is responsible for the ore-bearing of locality. The intrusion has produced a green-stone alteration of effusives, which received nearly the same appearance being rather variable in composition from quartz albitophyres to diabases. Southward the effusive belt borders along a tectonical zone—the West Sayan metamorphic series that generally consists of finegrained limestones, hornfelses, and schists.

The Mainsk deposit had been known long ago: in 1732 there was laid the Mainsk Mine, the mining took place in the oxidized zone and the ore was worked mainly in the form of chrysokolla.

The ore bodies occur close the summit of Mount-Mainsk, outcropping at the surface with chief strike northwest 290° and dip southwest 160° . The chief ore body was opened by working along the strike at the distance 250 m; it disappears at the depth about 260 m. The northwestern ore body has been traced 250 m along the strike. The second northwestern ore body, uncovered by drilling works, is probably composed of two thick lenses but did not traced along the strike.

The chief ore body, carefully studied, represents a range of compact sulphide lenses alternating both with more or less disseminated ore and porphyrites showing much epidotization, chloritization, and silicification. During the subsequent pressure the chloritized portions of these rocks were changed into chloritic schists.

The original ore of the deposit is pyrite with some chalcopyrite and sphalerite; anteceding the pyrite is much magnetite.

The leached and oxidized zone extends at places to the depth 100 m and in most part was removed by previous works. The zone of cementation is but only presented.

According the data obtained, the Mainsk deposit carries several signs of a contact deposit belonging generally to the group of the hydrothermal pyrite-copper-zinc deposits.

The ore of the chief ore body shows by weighed percentage: copper-2.10, zinc-0.77. Its general store is about 42000 t of copper and 18000 t of zinc.

A range of anomalies occurs, uncovered by geophysical electrical works; among them the one has been verified by the working giving the ore. It is possible that all the anomalies are to be ore bearing; in this case the Mainsk deposit becomes of a great importance.

КЕЛЬБЕССКИЙ ЗОЛОТОНОСНЫЙ РАЙОН.

(Отчет о работах Кельбесской геолого-поисковой партии Зап.-Сиб. ГРТ в 1932 г.)

П. С. Краснопеева.

The Kelbess Goldbearing Region.

By P. S. Krasnopalova.

1. Введение.

Кельбесский золотоносный район находится на северной окраине Кузнецкого Алатау, занимая довольно значительную площадь в СЗ. части Мариинской золотоносной тайги. Главной речной артерией этого района служит система правых притоков р. Яи: Золотого Китата, Кельбеса, Барзаса. Свое название район получил от р. Кельбеса, по которой впервые были открыты золотоносные россыпи. Центром Кельбесского р-на в настоящее время является Веро-Надеждинский прииск, расположенный в верхнем течении р. Сухой, левого притока Золотого Китата. Кроме Веро-Надеждинского прииска, в р-не Кельбеса находятся приисковые поселки: Благовещенский и Корниловский на Н. Суете, Левая вершина—на Левом Единце, Успенский—на р. Кельбесе, Глухаринка—на р. Большой Силе. Район расположен в затаеженной полосе и покрыт густой еловой и пихтово-осиновой тайгой с большетравием и завалами, затрудняющими геолого-исследовательские и поисковые работы. Приисковый район связан трактовыми дорогами с г. Щегловском и ст. Берикуль и Мариинск, Томской ж. д. Между приисками сообщение по преимуществу трактовое, но вследствие сильной затаеженности и глинистости грунта, дороги быстро избиваются и требуют регулярного ремонта. В район приисков, находящихся в системе р. Мурюка, проходит верховая тропа, которая в ясную погоду более или менее пригодна и для тележного сообщения. Вследствие небольших абсолютных высот р-на и относительно благоприятных климатических условий, последний является довольно густо заселенным: здесь разбросано большое количество мелких поселков и хуторов.

В прошлом и до настоящего времени Кельбесский район известен как исключительно россыпной район. До 1912 г. он дал значительное количество золота, но уже с конца прошлого века промышленность резко пала. Это объясняется, частично, тем, что большинство россыпей р-на уже выработано довольно тщательно поставленными в прошлом работами, а также и тем, что сохранившиеся к настоящему времени целики и нетронутые площади требуют детальной и основательной постановки на них разведочных работ. Разведочные и эксплоатационные работы Приискового управления за последний год не дали положительных результатов в деле открытия новых площадей и в настоящее время прекращены; в более широком масштабе продолжаются старательские работы.

Кельбесская г/п партия ЗапсибГРТ явилась первой партией на рудное золото в этом районе. В задачу работ партии входило выяснение условий золотоносности вообще и, в частности—освещение золотоносности и генезиса конгломератов, пользующихся в р-не значительным распространением.

Уже прежними исследователями конгломератам придавалось значение в деле образования золотоносных россыпей р-на. Рeutовский сравнивал железистые конгломераты р-на с конгломератами Трансваля, подчеркивая их важную роль как об'екта для разработки рудного золота. Но, несмотря на эти определенные указания, действительное значение конгломератов, их стратиграфическое положение и даже коренное залегание их и золотоносность оставались не выясненными.

Вследствие сильной затяженности и большой мощности наносов, геологическая с'емка и поисковые работы были приурочены, главным образом, к долинам рек и ключей; попутно изучались разрезы и состав пород по выработкам, закладываемым на россыпное золото, причем ввиду мощности наносов разведка проводилась глубокими шурфами.

Первым исследователем Кельбесского р-на был проф. Зайцев (1, 2). Начиная с 1892 г. он дал ряд статей, освещавших геологическое строение р-на, а также описание некоторых его приисков. Во всех своих работах он не касался вопросов золотоносности р-на и генезиса его россыпей. Одновременно с Зайцевым в р-не проводил обследование горн. инженер Рeutовский (3, 4), который осветил условия золотоносности Кельбесского р-на. Одним из источников золота в деле образования золотых россыпей р-на он считал конгломераты, железистые разности которых пользуются широким распространением, но которые нигде, как отмечает Рeutовский, не обнажаются в выходах. Следующим исследователем р-на является Краснопольский, проводивший в 1898 г. геологическую с'емку р-на в масштабе 1:10000. Краснопольский (5) дал геологическую карту правых и левых притоков р. Яи, составленную под углом зрения изучения угленосности р-на. Попутно он описывает некоторые россыпи, обнаруженные им разведкой на уголь. К более поздним исследователям нужно отнести Бересневича (7), давшего детальную экономическую сводку по описанию золотых приисков Мариинского и Томского округов. Бересневич подтвердил мнение Рeutовского относительно важной роли конгломератов в деле образования золотоносных россыпей района, также не касаясь стратиграфического положения и генезиса их.

За последнее время в течение почти 10 лет Мариинская золотоносная тайга обследовалась геологом Никитиным, который представил геологическую карту Мартайги, включая и Кельбесский р-н, но, к сожалению, описания к карте не дано; из этой карты видно, что конгломераты р-на относятся Никитиным к толще верхнего девона. Примерно, в то же время западная часть Кельбесского р-на подвергалась обследованию геологов Бутова и Яворского. В своем труде (13) они осветили геологию этой части р-на, не касаясь деталей строения рыхлой толщи и, в частности,—генезиса золотоносных конгломератов. В деле образования золотоносных россыпей р-на они указывают на роль верхних горизонтов конгломератов верхнего девона. В 1929 г. геологом ЗапсибГРТ Радугиным обследовался р-н, прилегающий к Кельбесскому с севера. Им представлен отчет с приложением геологической карты данного планшета (16), в которой он дал подробное освещение геологического строения р-на и описание отдельных формаций, не касаясь, впрочем, условий золотоносности р-на. В 1930 г. район посетила учетно-экономическая партия ЗапсибГРТ под руководством геолога Жукова (17) с целью выяснения состояния золотой промышленности р-на и путей дальнейшего развития ее. Жуков дополнил статистические данные Бересневича и останавливает внимание на описании россыпей. О конгломератах и их роли в деле золотоносности р-на Жуков нигде не упоминает. Наконец, имеются отрывочные сведения о россыпях и наличии кварцевых золотоносных жил в некоторых

участках Кельбесского р-на в работе геолога Гуковского (19); последний золотоносные железистые конгломераты считает девонскими, при чем золотоносность их приписывает метасоматическому выносу рудоносных эманаций в связи с интрузией гранита.

II. Оро-и гидрография.

Кузнецкий Алатау в участке Кельбесского р-на представляет плоскую возвышенность, незначительно приподнятую над Западно-Сибирской низменностью. Наибольшие высоты его над уровнем моря не превышают 360—400 м. Речной системой р-н расчленен на ряд неправильно расположенных плоских водораздельных грив. Рельеф местности сильно слажен, водоразделы рек выражены не резко. Долины рек широки и сопровождаются пологими склонами; реки в большинстве случаев мелководны. В весенний период таяния снегов многие почти безводные летом ключи и вершины рек становятся вполне пригодными для промывки в них песков. В своих истоках реки проходят в широких заболоченных долинах, причем аллювий их представлен по преимуществу окатанной галькой древних речниковых образований; коренные обнажения отсутствуют. В среднем течении реки носят горный характер и обладают каменистым руслом; здесь кое-где по бортам долин обнажаются и коренные выходы горных пород. В низовьях реки имеют спокойное течение; русла их заилены. Относительно реже русло рек в устье бывает обнажено до коренных пород; это наблюдалось по р. Конюхте, Солонешной и Кондратьевскому ключу. Водораздельные гривы сложены рыхлой толщей; оттуда берут начало реки: Ср. Кельбес, Сухая, Единис, Нижняя Суeta, Конюхта. Это водораздельное пространство имеет важное значение в образовании золотоносных россыпей р-на. В ЮЗ. участке (напр., по р. Конюхте, Тарлинскому ключу) мощность наносов не велика, и здесь близко к поверхности выходят серые песчаники, конгломераты юры и продуктивная толща верхнего карбона.

III. Геологическое строение района.

Геологическое строение Кельбесского золотоносного р-на в части его, заснятой геологической съемкой, представляется довольно сложным. Район слагается разнообразными формациями.

Формации эти следующие: 1) толща мраморов, кварцитов, кремнисто-глинистых, кремнистых сланцев и зеленых хлорито-серicitовых сланцев с порфиритами альгонкского возраста, 2) интрузия диоритов и габбро-диоритов, 3) известняки кембрия с фауной археоцита, 4) лиловые глинисто-песчанистые сланцы и формация мандельштейнов нижнего силура или верхнего кембрия, 5) интрузия адамеллитов, 6) формация альбитофиров и мелафиров н. девона, 7) красные песчаники верхнего девона, 8) известняки н. карбона, 9) продуктивная толща верхнего карбона, 10) конгломераты и песчаники юры и 11) третичные образования с горизонтами железистых золотоносных конгломератов.

Из осадочных формаций наиболее древней надо считать толщу кристаллических известняков, вытянутую в виде полосы СЗ. направления, которая располагается вдоль водораздела р.р. Барзаса и Золотого Китата. Известняки представлены белыми, реже темносерыми и розоватыми грубозернистого сложения мраморами, содержащими обильные выделения графита. Последний местами собирается в скопления, придавая породе полосчатую текстуру (р. Единис, Глухаринка). П. м. в мраморах изредка наблюдается присутствие л�чисто-шестоватых агрегатов tremolита, диопсида и редких пластинок мусковита. Мраморы на значительном про-

тяжении находятся в непосредственном контакте с диоритами; однако графигизация мраморов сохраняется и вдали от непосредственного контакта интрузивного тела (Сухая, Единис).

Следующей, повидимому, более молодой формацией, можно считать метаморфическую толщу сланцев и кварцитов, которая вытянута также в СЗ. направлении. Она протягивается от В. Суеты через вершины рр. Единиса и Сухой к устью р. Б. Силы. Эта толща представлена преимущественно хлоритовыми и серицитовыми, а также глинистыми и глинисто-известковыми, песчано-глинистыми, кремнистыми сланцами и кварцитами, включающими в себе редкие прослои известняков. Текстура этих пород сланцеватая, иногда плойчатая. П. м. видно, что порода чешуйчатой структуры состоит преимущественно из хлорита, кварца и серицита, с примесью кальцита и эпидота. Реже в толще развиты глинистые сланцы грязно-зеленоватой окраски, часто ожелезненные, окварцованные и перебитые жилками кальцита. Иногда в сланцах наблюдаются тонкие прослои песчаника. Породы часто серицитизированы и в редких случаях импрегнированы пиритом (Н. Суэта выше Половинки, Средний Кельбес ниже Успенского прииска). Присутствие серицита по плоскостям придает этим породам филлитовый характер.

К этой толще относятся также кремнисто-глинистые сланцы темносерой, зеленоватой, пятнистой или светлосерой окраски, представляющие, повидимому, разновидность глинистых сланцев. Подобного рода сланцы пользуются значительным распространением по Благовещенскому ключу, В. Суете и обеим вершинам Единиса. В некоторых участках, напр., по р. Сухой, они ожелезнены; иногда же имеют брекчиевидную текстуру (Благовещенский ключ, р. Кельбес, у 3-й шахты ниже Успенского прииска) и реже — яшмовидный характер (Правый Единис). Подобные яшмовидные сланцы хорошо развиты в гальке верхнедевонских конгломератов. Присутствие в сланцах органического вещества обусловило наличие в них углистых примазок, наблюдаемых часто на плоскостях сланцеватости. П. м. порода по своему составу является по преимуществу кварцевой, причем кварц образует скопления, а в виде прослойков развито углисто-глинистое вещество; в породе наблюдаются также редкие блестки биотита и серицита. Кремнистые сланцы, путем переходов, связываются с кремнисто-глинистыми сланцами и кварцитами. Заметным развитием в этой же метаморфической толще пользуются розоватосерые, реже желтоватые и зеленые мелкозернистые и плотные кварциты, часто перебитые тонкими прожилками вторичного кварца и кальцита; черные плотные разности кварцитов можно назвать лидитами. Наибольшим распространением кварциты пользуются по р. Н. Суэте вблизи Благовещенского прииска, а также по обеим вершинам Единиса. Кварциты часто связываются с кремнистыми сланцами; часть их, несомненно, произошла за счет метасоматического окварцевания известняков.

В верхах древней толщи довольно широким развитием пользуются порфиры, образующие повидимому интрузивные залежи среди древней метаморфической толщи. Порфиры подверглись интенсивной складчатости и были превращены в диабазы и диабазовые порфиры и, реже, зеленые сланцы. Диабазы и порфиры представлены породами зелено-серой окраски, местами они сильно импрегнированы сульфидами и проникнуты вторичным кальцитом. Они развиты по Б. Силе, Александровскому ключу, Единису, В. Суете и т. д.

П. м. основная масса порфириотов обладает пилотакситовой структурой; порода обычно забита вторичным хлоритом и кальцитом. В выделениях представлены кислые плагиоклазы, щелочные полевые шпаты, пластиники биотита. В других, более основных разностях, основная масса обладает интерсертальной или оффитовой структурой; она обогащена магнетитом;

выделения представлены авгитом и лабрадором. Зеленая окраска эфузивов обусловлена зеленокаменным изменением, возникшим в них в связи с проявлением древнейшей (альгонской) фазы складчатости (18).

Формация гнейсовидных диоритов в Кельбесском р-не представлена, главным образом, породами средней основности, а именно: разностями диоритов и габбро-диоритов, доходящих до пироксенитов. Наибольшим развитием из них пользуются диориты. Интрузия диоритов образует линейно-вытянутые тела, залегающие согласно с простиранием древней осадочно-эфузивной толщи. Диориты представляют собой глубинные породы темнозеленой или темнобурой окраски, средние или крупнозернистого сложения, обладающие ясно выраженной гнейсовидной текстурой. Нередко они обогащены шлировыми выделениями крупнозернистого амфибола (р.р. Глухаринка, Сухая). П. м. диориты состоят преимущественно из идиоморфной с зеленым плеохроизмом роговой обманки и достаточно идиоморфного плагиоклаза (андезина), который в большинстве случаев сильно цоиттизирован и серицитизирован. В очень подчиненном количестве присутствуют апатит, магнезиит и сульфиды. Иногда совместно с роговой обманкой присутствуют авгит и реже биотит. Довольно широко распространены также автометаморфизованные разности, в которых сильно развиты: хлорит, серицит, цоизит и эпидот. Необходимо отметить, что диориты часто, особенно по западной границе массива, заметно давлены и милонитизированы. К краевым зонам диорит переходит в габбровидные породы, образуя местами настоящие крупнозернистые горнбледиты и пироксениты.

Жильные породы, связанные с интрузией диоритов, пользуются в р-не слабым развитием; из них можно отметить микродиориты, порфировидные диориты и диоритовые порфириты. Диоритовые порфириты (р. Единис), рассекающие зеленую сланцевую толщу, представляют собой породы зелено-серой окраски с порфировыми выделениями плагиоклаза. П. м. основная масса их зернистой структуры, сильно серицитизированная, состоит из плагиоклаза и роговой обманки. В выделениях преобладает цоизитизированный плагиоклаз; наблюдается легкая эпидотизация породы. Микродиорит р. Сухой проходит в зеленых сланцах и состоит существенно из плагиоклазов и роговой обманки; структура породы микрогранитовая.

Контактовые зоны диоритов представлены недостаточно ясно. Известняки в контакте обычно превращены в мраморы с развитием в них графита, лучисто-шестоватых агрегатов диопсида и tremолита; метаморфизм известняков проявляется на большое расстояние.

В контактовых зонах диоритовой интрузии с диабазовыми порфиритами и зелеными сланцами широким развитием пользуются амфиболиты и альбитовые роговики. Амфиболиты это—среднезернистая эпидотизированная порода желтосерой с бурым оттенком окраски. П. м. они состоят существенно из темнозеленой роговой обманки и альбита; структура породы диабластическая; наблюдается цоизитизация породы.

Альбитовые роговики, это—порода желтосерой окраски, состоит преимущественно из альбита с вкрапленностью пирита.

Реже в контактовых зонах развиты роговиковые (горнфельзовые) разности пород; так, по Б. Силе в контакте с диоритом встречаются лиловые роговиковые порфиры, подчиненные зеленокаменной толще. П. м. видно, что кварцево-полевошпатовая основная масса породы несет включения сыпи биотита и рудных минералов; структура породы роговиковая, в выделениях много резорбированного кварца. Кремнистые сланцы в контактах превращаются в кварциты и обогащаются блестками биотита. Вообще, метаморфизм пород в контактах с диоритом выражается слабо, проявляясь главным образом, в эпилотизации, альбитизации и амфиболизации. Породы при этом всегда приобретают зеленую окраску.

Кембрий и силур. По р. Единису, ближе к его устью, обнаружена другая характерная толща известняков, а именно—темносерых разностей иногда с лилово-бурым отливом и розоватыми или охристыми разводами. Известняки отличаются плотным или мелкокристаллическим сложением; вдоль западного контакта кристаллические известняки местами имеют ясно выраженную брекчевидную текстуру. Они содержат фауну археоциат и водоросли *Eriphiton* sp. Иногда совместно с археоциатовыми известняками выступают подчиненные им красноватые туфитовые сланцы.

Следующей, стратиграфической более высокой толщей являются серые и красно-лиловые глинистые сланцы, иногда включающие в себе прослои песчаников; им иногда бывают подчинены красные яшмовидные кремнистые сланцы. Эта толща развита в истоках р. Конюхты с ее притоками и в меньшей степени в вершине Ср. Кельбеса, Б. Силы (Глухаринки) и по Единису. По Единису они переслаиваются с мандельштейнами и красными туфо-песчаниками.

Вблизи контакта этих пород с более молодой интрузией адамеллитов наблюдаются переходы данных разностей в зеленоватые сланцы (устье Пелагеевки, притока В. Суэты). Лиловые сланцы р. Конюхты пересекаются дайками порфиритов, в которых, м. быть, можно видеть корни мандельштейновых излияний.

Толща мандельштейнов наиболее типично представлена по р. Единису, располагаясь к западу от полосы известняков с археоциатами. Более редко мандельштейны встречаются в участке В. Суэты. Они выявляются в виде покровов, заключающих прослои лиловых сланцев и песчаников. Мандельштейны представляют зеленоватые, иногда лиловобурые с красноватым оттенком породы, миндалекаменной или брекчевидной текстуры. Макроскопически мандельштейны часто обладают темнозеленой окраской; основная масса их—тонкозернистого сложения, в выделениях наблюдаются плагиоклаз и реже—темноцветные компоненты. В породе присутствуют многочисленные миндалины кальцита и реже хлорита; местами мандельштейны заметно рассланцеваны. Часто встречаются перемытые туфы мандельштейнов. П. м. основная масса породы имеет интерсерпальную структуру и заметно кальцитизирована; в выделениях представлены основной плагиоклаз, авгит и ромбический пироксен.

Мандельштейнам подчинены красноватые рассланцеванные туфы или туфиты, переходящие в лиловые сланцы. Рассланцовка их СЗ: 310° с крутым падением на СВ; местами наблюдается эпидотизация этих пород.

С фаунистически охарактеризованным кембрием и толщей мраморов толща мандельштейнов находится в тектоническом контакте. На линии продолжения этой формации к юго-востоку в Мурюкском р-не геол. Никитином была обнаружена фауна трилобитов и брахиопод силура. Поэтому формацию мандельштейнов и толщу лилово-серых красноватых сланцев р. Конюхты и Ср. Кельбеса следует провизорно отнести к нижнесилурийской толще.

Интрузия адамеллитов. Реже в Кельбесском районе встречаются интрузивные породы кислого ряда, относящиеся к гранодиоритам или адамеллитам. Они выступают на крайнем востоке района, а именно в системе р. В. Суэты и Мурюка в поле развития диоритов. Гранодиориты представляют собой среднезернистые породы сероватой или розовой окраски. П. м. они обладают гипидиоморфно-зернистой структурой и состоят преимущественно из довольно свежих плагиоклазов (олигоклаз-андезин), перититовых щелочных полевых шпатов (микроклины) и резко ксеноморфного кварца, имеющего иногда облачное погасание. Из темноцветных компонентов присутствуют биотит и роговая обманка; изредка в породе встречаются пластиинки мусковита, крупные кристаллы рутила и примесь магнетита.

Иногда гранодиорит переходит в светлые, бедные темноцветными компонентами аляскитовые породы. Соотношение гранодиоритов, вернее, адамеллитов, к породам диоритовой интрузии осталось не ясным вследствие слабой обнаженности р-на. Но виду того, что адамеллиты обладают свежестью и массивной текстурой, можно думать, что адамеллиты являются другой, более молодой интрузивной формацией.

По Мурюкам и в верховьях Н. Суэты в толще зеленокаменных пород, в лиоритах и мандельштейнах изредка встречаются дайки аплитов розовой окраски. Они состоят из кварца, кислого плагиоклаза, щелочного полевого шпата и небольшой примеси биотита. Фактический материал по изучению контактовых зон адамеллита представлен слабо. Можно только отметить, что местами наблюдается слабая эпидотизация мандельштейнов (В. Суэта)¹⁾.

Девон. В системе левых притоков Н. Суэты, и особенно по правым притокам В. Суэты, широким развитием пользуется толща диагенетизированных эфузивов. Эта толща эфузивов представлена как кислыми, так и основными разностями пород диагенетизированной фазы (18) с лилово-буровой, бурой и красноватой окраской; реже в ней встречаются и зеленокаменные разности, которые, как будто приурочены, главным образом, к приконтактовым зонам адамеллитовой интрузии. Порфиры и порфиры сопровождаются туфогеновыми породами.

Порфиры В. Суэты представляют собой породы бурой или темнозеленой с лиловым оттенком окраски, содержащие обильные выделения белого, зеленоватого или розового плагиоклаза и, реже, темноцветных компонентов (пироксен). Иногда они заметно рассланцованны и импренированы сульфидами. Реже встречаются плотные афаниговые разности пород с темнозеленой окраской. Здесь же, по В. Суэте, развиты более основные разности этих пород, обладающие лилово-буровой окраской и пилатакситовой структурой; основная масса их сильно забита окислами железа; в выделениях представлены роговая обманка и андезин.

Не меньшим распространением в районе пользуются альбитофиры. Это—породы, имеющие лиловосерую или краснобурую окраску и плотную основную массу; в выделениях представлены красноватые и желтоватые полевые шпаты. В некоторых разностях альбитофиры (Н. Суэта, Глухаринка) в выделениях присутствует кварц. П. м. основная точковернистая масса их аллотриоморфной структуры; в выделениях представлены альбит и кварц.

Эфузивы, как уже упоминалось выше, иногда сопровождаются туфами, имеющими часто грубо аггрегативный характер или даже характер вулканических брекчий (Н. Суэта у Корниловского пр., Семинарский кл., В. Суэта). Эти породы обладают красновато-буровой окраской и состоят из обломков зеленоватых и розовых фельзитов, а также из массы кристаллов кварца. П. м. порода состоит из обломков диагенетизированного стекла, кристаллов авгита, плагиоклаза и кварца. Эфузивы типа альбитофиров секутся дайками красных порфиров, которые, повидимому, можно считать за корни кислых эфузивов (устья Швецовского и Семинарского ключей).

Красноцветная толща девона вытянута в виде узкой полосы СЗ-ЮВ. направления, начиная от устья В. Суэты к вершине Н. Суэты. Представлена она базальными конгломератами и песчаниками, обладающими краснобурой окраской. Этого вида конгломерат хорошо выражен в коренном выходе на левом берегу Н. Суэты, ниже Благовещенского прииска. В состав конгломератов входит по преимуществу галия диагенетизированных разностей девонских эфузивов и сланцев, реже кварцитов и кварца. Размеры галии непостоянны по величине, колебляясь от 5 см до 50—60 см и

¹⁾ Согласно позднейшим исследованиям в Первомайском р-не Мартайги в 1933 г., где гнейсов, диориты прорываются гранодиоритами, возраст адамеллитовой интрузии можно считать каледонским.

более в поперечнике. Цементом конгломерата часто служит кальцит, иногда песчанистое вещество.

Выше конгломерат сменяется красными песчаниками и сланцами, коренные выходы которых имеются в устье Банного кл. у Корниловского прииска. Песчаники и сланцы имеют полосатую текстуру; в состав их входят те же породы, что и вышеупомянутых конгломератов. П. м. песчаники состоят из малоокатанных обломков порфиров, порфиритов с фенокристами краснобурого биотита, обломками полевых шпатов и кварцитов. В обломках преобладают эфузивы. Разрушенные и перемытые разности красно-цветной толщи, наблюдаемые в участке Н. Суэты, являются золотоносными; у местных старателей они носят название „красули“.

Известняки нижнего карбона представлены по преимуществу зернистыми разностями пород лиловосерой окраски. Они содержат разнообразную фауну, которая предварительно определена как *Sp. attenuatus* Sow., *Sp. subsignatus* Sow., *Syringothyris* sp., *Seminula* sp., *Polypora biseptata* Ul., *Michelinia* sp.

Полоса известняков протягивается в направлении СЗ-ЮВ в р-не Н. Суэты; кроме того, эти же известняки были встречены в отвалах по Петропавловскому кл. (Ср. Кельбес). По Тарлинскому ключу известняки с фауной содержат в себе прослои желтобурого халцедона, а местами они замещены бурым железняком, но сохраняют при этом свою органическую структуру. Наблюдаемое залегание известняков следующее: простирание ССЗ, падение ЮЗ $\angle 70^\circ$.

Продуктивная толща занимает ЮЗ. часть исследованного района. Она представлена серыми песчаниками, серыми аргиллитами, черными углистыми и глинистыми сланцами с подчиненными толще пластами угля. Простиранье пород этой толщи СЗ., падение как на СВ, так и на ЮЗ, колебляясь от горизонтального до $\angle 45^\circ$. Выходы продуктивной толщи известны по рр. Солонешной, Н. Суете и Еычковскому ключу. По р. Солонешной небольшой штолней производилась разработка пласта угля для местных нужд промышленности; мощность пласта угля достигает $1\frac{1}{2}$ м. Кровлей пласта в данном участке служит серый песчано-глинистый с тонкими черными прослойками сланец, а почвой—черный углисто-глинистый сланец.

Юрская формация в исследованном районе представлена песчаниками, конгломератами и аргиллитами. Эта толща занимает довольно значительную площадь в ЮЗ. части исследованного р-на, будучи приурочена, главным образом, к выходам продуктивной толщи. Особенно типично представлена она в системе Н. Суэты (Тарлинский и Швецовский кл.). Залегание пластов этой толщи близко к горизонтальному, но местами угол падения доходит до 30° , с падением на ЮЗ.

Литологически песчаники и конгломераты представляют зеленосерые или желтоватосерые, иногда охристые слабо сцементированные породы. По своему составу песчаники представляют аркозовые, часто слюдистые разности. П. м. порода состоит существенно из мелких, в большинстве случаев равномерно угловатых, иногда окатанных обломков кварца (часто с волнистым погасанием), измененных щелочных полевых шпатов и плагиоклазов, обломков эфузивов (порфиров и порфиритов), реже кремнистых сланцев с пластинками слюды. Цемент конгломератов песчанистый, загрязненный охрой.

В состав конгломератов входит по преимуществу галя кварца и кремнистых пород, реже встречаются обломки черных глинистых пород, угля, серого песчаника и эфузивов. Цемент их песчаноглинистый, слюдистый. В толще песчаников и реже конгломератов обнаружены растительные отпечатки, ближе не определимые.

Рыхлая толща. Весь Кельбесский р-н покрыт рыхлой толщей, мощ-

ность которой увеличивается на водоразделах, достигая 30 метров. Разрез рыхлой толщи сверху вниз представляется в следующем виде.

Правый Единис (Никольский ключ), абсолют. высота 350 м:

1. Почвенный слой—10 см.
 2. Глина желтого цвета—7 см.
 3. Супесь желтого цвета с мелкой галькой кварца и кремнистых пород—1 м.
 4. Частое чередование тонких пропластков серой глины, песков, супесей с галькой—2,5 м.
 5. Чередование прослоев белой глины и супеси с включением галечников—4,50 м.
 6. Чередование прослоев серой и желтой глины и песка с галькой кварца и кремнистых пород—3 м.
 7. Песок светлосерого цвета—1 м.
 8. Железистый песчаник—20 см.
 9. Песок желтый с галечником—80 см.
 10. Железистый песчаник—25 см.
 11. Песок желтый с галечником—60 см.
 12. Железистый конгломерат—20 см.
 13. Серая глина—3 м.
- Тарлинский ключ, абс. высота 260 м:
1. Почвенный слой—30 см.
 2. Желтая глина—3 м.
 3. Супесь с глыбами серого юрского песчаника (элювий)—0,5 м.
 4. Песчаник серый—1 м.
 5. Конгломерат серый—2 м.

Важным членом рыхлой толщи являются золотоносные конгломераты, представленные в районе двумя разновидностями. Первые из них—рушистые конгломераты („запеки“) развиты в западной части района, будучи приурочены к полосе развития юрских конгломератов. Это, повидимому, слабо перемытые разности юрских конгломератов, отлагавшиеся в западнях небольшими линзами. Второго типа—железистые конгломераты, пользуются в районе региональным распространением, за исключением ЮЗ. части изучаемого планшета. Они наблюдались также и в северной части Кузнецкого Алатау в системе р.р. Керти, Алчедата, Чебулы; подобные же образцы известны около Тисуля (сообщение Булынникова). Главной составной частью этих конгломератов является кварцевая галька, довольно хорошо отсортированная по величине, но различная по степени окатанности. Кроме кварцевой гальки, в состав конгломератов входит также галька кремнистых пород и кварцитов. Наблюдалось, что железистые конгломераты, составленные неокатанным материалом вышеупомянутого состава, включают также обломки красных ожелезненных глинистых пород и эфузивов (Крестовоздвиженский кл.—левый приток р. Сухой, Сапатый кл.—левый приток р. Суэты и левая вершина Единиса). Степень ожелезнения конгломератов, повидимому, не влияет на содержание в них золота; что же касается разновидностей конгломератов по их составу, то более богатыми по содержанию золота являются конгломераты, составленные породами различного литологического состава. Разведочные работы—1932 года показали, что железистые конгломераты в большинстве случаев залегают в виде крупных глыб. В единственном случае (шурф № 4) конгломераты были обнаружены в первичном залегании в виде тонкого пропластика среди желтых песков. Источником материала галечников рыхлой толщи служили, повидимому, преимущественно юрские конгломераты, которые размывались третичным морем и проточными водами и в дальнейшем отлагались в виде

лииз в прибрежных полосах многочисленных заливов третичного моря. Образование железистых конгломератов можно об'яснить пропитыванием галечников подземными проточными водами, содержащими в себе окислы железа, получившиеся при химическом выветривании как рыхлой толщи, так и древних, импреннированных колчеданами, пород.

Вопрос, каким образом железистые конгломераты оказались в неправильном залегании в виде разрозненных глыб среди глин (*in situ*), в настоящее время не вполне разрешен. На первый взгляд подобного типа отложения напоминают моренные образования; но факт отсутствия в рыхлой толще валунов других пород заставляет к этому вопросу подходить более осторожно. Повидимому, образование их можно об'яснить разрушением третичной толщи с железистыми конгломератами в континентальных условиях, при чем конгломераты почти не подверглись разрушению и отдельными глыбами погружались в рыхлую толщу глин.

IV. Стратиграфия и тектоника.

В Кельбесском районе, как указывалось выше, широким развитием пользуется рыхлая толща, окутывающая мощным покровом водораздельные пространства и склоны долин. Обусловленная этим слабая обнаженность р-на не дала возможности партии собрать достаточно детальный фактический материал, на основании которого можно было бы отчетливо расчленить геологические формации и выяснить их стратиграфические и тектонические соотношения.

Наиболее древней толщей р-на нужно признать формации графитовых мраморов и темных углеродистых известняков, кварцитов и кристаллических сланцев с горизонтом диабазов и порфиритов. Более нормально эта толща представлена в устьевой части Единиса. На западе, в истоках р. Единиса и Сухой, в эту толщу внедряется интрузивное тело диорита и габбро-диорита. Известняки здесь превращаются в мрамора со скарновым материалом, а сланцы с подчиненной им толщей диабазовых порфиритов превращаются в роговообманковые сланцы и амфиболиты. Толща известняков и кварцитов вытянута согласно в СЗ. направлении. По стратиграфическому разрезу геол. Радугина, работавшего севернее, по Золотому Китату, эти толщи относятся к докембрию. Кельбесские мраморы с графитом представляют непосредственно их продолжение на юг. В Кельбесском р-не эти толщи залегают ниже известняков с археоциатами и могут быть также параллизованы с битуминозной толщей Саралы, где была найдена флора водорослей верхне-альгонского возраста. В период древнейшей фазы складчатости, когда все альгонские толщи были собраны в складки СЗ. простирации, проявившаяся затем интрузия диорита прорвала и метаморфизовала эту толщу с образованием мраморов и амфиболитов. Интрузивное тело диорита, вытянутое в СЗ. направлении, залегает конкордантно с общим простирием древней толщи. С этой интрузией связано образование кварцевых золотоносных жил, развитых в зеленокаменной толще приконтактовых частей интрузивов. На древний, а именно — альгонский возраст интрузии диоритов указывает пространственная приуроченность линейно-вытянутого тела габбро-диоритовой интрузии к толще альгонских мраморов, кремнистых сланцев и зеленокаменных пород, их заметный метаморфизм и приуроченность к ним кварцевых золотоносных жил. К этому же мнению приходит и Радугин, проводивший с'емку в р-не к северу от Кельбеса (16).

Ближе к устью Единиса выступает литологически отличная толща кембрийских известняков с фауной археоциат и водорослей *Eriphiton sp.*, содержащих в себе прослои красноватых сланцев. Возраст изве-

стняков определяется как средний кембрий или же верхние горизонты нижнего кембрия. Западный контакт известняков с толщей мандельштейнов является тектоническим, т. к. представлен типичной брекчией трения. К западу от кембрийских известняков развита толща мандельштейнов и туфобрекчий с прослойками лиловых песчаноглинистых сланцев; эту эфузивную толщу Радугин относит к кембрию. Но на основании последних работ в Горной Шории (21) и Мартайге (22), эту толщу—можно причислить к и нижнему силуру.

Древние толщи альгонка собраны в складки СЗ. направления; такое же СЗ. простирание имеют толща известняков с археоциатами и толща лиловых сланцев нижнего силура. Ввиду того, что в районе между толщами альгонка и нижнего палеозоя проходят тектонические контакты, нет конкретных данных судить о согласном или несогласном их напластовании.

Что же касается соотношения толщ кембрия и нижнего силура с интрузией диорита, то эти осадочные толщи, вследствие отсутствия в них признаков контактowego метаморфизма, а также и отсутствия в них дайковых пород, связанных с этой интрузией, можно считать более молодыми образованиями.

В Каледонскую фазу складчатости, когда толщи палеозоя были собраны в круговые складки, произошла интрузия адамеллита. Интрузивное тело адамеллита выступает в восточной части района. Эта интрузия прорывает древние диориты и дает ряд даек аплитов, пегматитов и гранито-рифров, рассекающих толщу мандельштейнов.

При разрешении вопроса о стратиграфическом положении кислых и основных эфузивов, развитых между Н. Суетой и В. Суетой, отмечалось, что эти эфузивы представлены диагенетизированными разностями. Эта эфузивная толща лежит ниже красноцветной толщи девона и в восточней части изучаемого ряда соприкасается с адамеллитовой интрузией. Взаимоотношение этой толщи с интрузией адамеллита не вполне установлено, ввиду исключительно слабой обнаженности участка и незначительной протяженности контакта. В контактах с адамеллитом эфузивы почти не претерпевают изменения, если не считать очень слабо выраженной эпидотизации этих пород, которую можно об'яснить процессом автометаморфизма. Поэтому толщу диагенетизированных эфузивов можно считать более молодыми образованиями, чем адамеллитовая интрузия. Литологически эфузивы рр. В. Суэты и Н. Суэты сходны с породами Тельбесской формации (14), а также и эфузивами Горной Шории (21), где возраст этой формации установлен как нижне- или средне-левонский.

Верхний палеозой представлен, главным образом, известняками среднего карбона и продуктивной толщой. Формация среднего палеозоя начинается толщей красных конгломератов и песчаников, залегающей трансгрессивно на разных горизонтах древней толщи. Красные конгломераты и песчаники, на основании аналогий их с соседними р-нами, следует отнести к верхнему девону. Стратиграфически выше эта формация сменяется толщей нижнего карбона, представленной известняками с фауной нижнекаменоугольного возраста. Над известняками согласно залегает угленосная толща, которая на основании сопоставления с угленосной толщей соседних участков (устье р. Конюхты), относится к Балахонской свите.

Несколько особо стоит толща серых песчаников и золотоносных серых конгломератов, определяемая мною условно как юрская. За юрский возраст данной толщи говорит трансгрессивное залегание этого горизонта как на известняках карбона, так и на продуктивной толще и на древних зеленых сланцах. Наблюданное залегание этой толщи—горизонтальное (Кондратьевский, Тарлинский кл.) или же с слабым наклоном на СВ (песчаники Швецовского ключа).

Наконец, самой молодой является толща рыхлых образований, представленная озерно-речными и частично континентальными осадками. Нижние горизонты этой толщи, заключающие в себе конгломераты, белые глины и пески и древние элювиальные россыпи, можно рассматривать как образования третичного возраста. К постплиоцену относятся верхние горизонты толщи: глины, супеси и аллювиальные россыпи.

V. Поисковые и разведочные работы.

Вследствие большой мощности рыхлой толщи, поисковые работы на кварцевые жилы явились неосуществимыми, и главное внимание было сосредоточено на исследовании конгломератов. После безрезультатных попыток найти какой-либо каменный материал по водоразделам и склонам гор, партия переключилась на более упрощенный метод поисков, приурочив их к руслам рек, логов и ключей. Параллельно производилось детальное обследование глубоких выработок, закладываемых на россыпное золото. Такой упрощенный метод поисков явился вполне достаточным, так как при горизонтальном залегании конгломератов более детальный метод поисков в сущности не требовался. Параллельно с конгломератами регистрировались свалы кварцев, кварцитов и железняков.

Поисковые и в дальнейшем разведочные работы показали, что конгломераты сохранились в верховых рек и ключей. На водоразделах они уходят в глубь рыхлой толщи, а в низовьях рек они уже смты и частично разрушены, давая начало золотоносным россыпям. Поисками охвачены следующие системы рек: Сухая с притоками, выше Веро-Надеждинского прииска, Правая и Левая вершины Единиса в их верхних частях, Н. Сута от вершины до Семинарского и Главного ключей, Средний Кельбес в окрестностях Успенского прииска и М. Кельбес (Б. Сила) в р-не пр. Глухаринки. Необходимо отметить, что различные по составу конгломераты приурочиваются к различным стратиграфическим толщам. Так, железистые кварцевые конгломераты распространены по всему изучаемому р-ну, за исключением небольшого участка в ЮЗ. части р-на, где близко к поверхности выходит юрская толща. Рушистые конгломераты (запеки) приурочены по преимуществу к области распространения юрской и продуктивной толщи карбона; так, мощные линзы рушистого конгломерата наблюдались по р. Конюхте и кл. Придорожному, впадающему в Туганаковский Кельбес.

Разведочные работы имели своей целью выяснить характер залегания конгломератов, а также и содержание и распределение в них золота. Ввиду мощности рыхлой толщи, разведочные работы велись шурфами. По договоренности с Приисковым Управлением было решено разведкой охватить несколько участков района, чтобы этим самым дать представление об общей золотоносности конгломератов. Разведочные работы производились на следующих участках: (см. разрезы шурfov на стр. 70).

Никольский ключ (правая вершина Единиса). Здесь, в самой вершине ключа шурфом (№ 4) на глубине 23—25 м было обнаружено два про- пластика ожелезненных песчаников, а ниже—пласт варцево-железистых конгломератов, залегающих горизонтально среди желтоватых песков со слабым наклоном на ЮЗ. Мощность пластов песчаников равна 10—15 см каждого, а мощность конгломератов—20 см. Ниже от вершины Никольского кл. разведочными шурфами на россыпное золото также были обнаружены вышеописанные пласти с включениями в них плоских глыб конгломерата. Позднее было пробито еще 2 шурфа по левому притоку Никольского ключа. Конгломератов в данном участке обнаружено не было, но обоими шурфами был пройден пласт золотосодержащих песков, мощ-

мостью в 1—2 м. Пески представлены серой глиной, содержащей в себе небольшое количество окатанной гали кварца и щебенки коренных пород—кремнисто-глинистых сланцев, местами сильно окварцованных. В одном шурфе пески содержат золото; коренная порода при ковшевом опробовании ее положительных результатов не дала.

Кондратьевский ключ, правый приток р. Конюхты. Разведочными работами из четырех заданных здесь шурfov двумя шурфами была пересечена линза серого рушистого конгломерата мощностью от 0,5 м 5,5 м. Опробование бороздой по мощности этих конгломератов показало присутствие в них золота, распределенного неравномерно. Ниже их наблюдаются горизонтально залегающие серые песчаники юрского возраста.

Никольский ключ (верш. Н. Суэты), левый приток р. Н. Суэты. В этом участке большим развитием пользуются ожелезненные конгломераты; здесь на площади 350 кв. м было задано 5 шурfov; в четырех из них на глубине 5—10 м были встречены конгломераты, залегающие в виде крупных глыб в серой глине. Почвой здесь являются кремнисто-глинистые сланцы, в верхних горизонтах ожелезненные.

Благовещенский ключ. В участке Благовещенского ключа известны конгломераты двух разновидностей: 1) запеки, т. е. слегка ожелезненные рушистые конгломераты и 2) железистые конгломераты. Первого вида конгломераты известны были ближе к устьевой части Благовещенского ключа, они работались в качестве россыпи с богатым содержанием золота, встречающегося часто и в виде самородков. С целью вскрытия этих конгломератов было задано 2 шурфа в средней части Благовещенского ключа, но они разведкой обнаружены не были. Здесь был вскрыт золотоносный пласт небогатых песков, мощностью в 2 метра, представленный серой глиной с небольшим количеством окатанной гальки кварца и щебенкой коренных кремнисто-глинистых нижележащих коренных пород. Чтобы обнаружить железистые конгломераты, было задано 2 шурфа ближе к истокам Благовещенского ключа. Таковые и были встречены в обоих шурфах, но лишь в незначительном количестве мелких обломков.

Железистые конгломераты по данным ковшевого опробования на 70% являются золотоносными. По данным химического анализа содержание золота в них колеблется.

Кроме железистых конгломератов разведке подвергались древние серые конгломераты юрского возраста, пользующиеся значительным развитием по правым притокам Н. Суэты ниже Благовещенского прииска и особенно—по Тарлинскому и Швецовскому ключам. Здесь конгломераты этого типа залегают горизонтально более или менее мощными линзами. По данным ковшевого опробования серые конгломераты являются более богатыми по содержанию в них золота. Это подтверждается также наличием здесь наиболее богатых россыпей из всей системы Н. Суэты.

Тарлинский ключ. Разведочные работы на данном участке, как и на Швецовском ключе, тормозились сильным притоком воды, а также большой крепостью пород; вследствие этого из 5 заданных здесь шурfov три остались незаконченными. Двумя шурфами обнаружена линза серых конгломератов, которая быстро выклинивается; наблюдаемая мощность его колеблется от 0,5 м до 1,5 м. Залегание конгломератов на данном участке горизонтальное. Кровлей их являются серые песчаники. В двух шурфах (№ 18 и 20) обнаружены золотоносные пески, залегающие на серых песчаниках. В 18 шурфе пески представлены серой глиной, включающей в себе окатанную кварцевую гальку и обломки серых песчаников; в 20 шурфе пески представлены слоем черной глины с обломками темных глинистых сланцев и прилегающим к нему сбоку слоем рыхлого галеч-

ника. В 22 шурфе на глубине 7 м шурфом пройден золотоносный пласт слабо цементированного конгломерата в 1,30 м мощности, бурой окраски, в состав которого входит по преимуществу галька кремнистых пород девонских конгломератов. Почвой его являются серые аргиллиты с тонкими темными пропластками. Кровля его — серая глина, включающая в себе глыбы различных размеров серого юрского песчаника и конгломерата.

Швецовский кл. Серые конгломераты, развитые по Тарлинскому ключу, здесь разведочными работами обнаружены не были. В устье ключа шурфом № 26 пройден пласт своеобразного золотоносного слабо сцементированного конгломерата, по своему составу аналогичного красному девонскому ковгломерату, но являющемуся, повидимому, разрушенными верхними частями его. Наблюданная мощность этих конгломератов равна 5,5 м; виду притока воды, шурф остался незаконченным.

VI. Золотоносность района.

В прошлом Кельбесский район являлся достаточно производительным по добыче россыпного золота. Приисковые площади были приурочены к сист. рек: Н. Суеты, Правой и Левой вершинами Единиса, Конюхте, Сухой и Кельбесу с притоками. Наиболее богатой по добыче россыпного золота являлась система р. Н. Суеты. Нижняя Суeta работалась почти на всем протяжении, за исключением лишь устьевой ее части, при чем правый ее увал по добыче являлся более богатым.

Перейдем теперь к вопросу о генезисе Кельбесских россыпей. В районе значительным развитием пользуются русловые россыпи, которые разрабатываются и сейчас по многим речкам и ключам. Эти россыпи, повидимому, не отличались особым богатством содержания и не дали много золота. Наибольшие размеры разработок таких россыпей имеются в долинах Н. Суеты, Б. Силы, Конюхты. Русловые россыпи отличаются неглубоким напластованием и образовались в ближайшую эпоху за счет размыва как коренных м-ний золота, так и древних россыпей. Наиболее распространенными для Кельбесского р-на являются древние россыпи; главная масса россыпного золота была получена за счет разработки именно этого типа россыпей. Эти россыпи имеют глубокое напластование и залегают нередко под увалами, то ниже, то несколько выше уровня современного русла рек. Разработка их велась ортами и шахтами. Многие из этих россыпей находятся под наносами в верхних частях рек (Правая и Левая вершины Единиса). Эти россыпи имеют аллювиальное происхождение, но иногда в них наблюдается значительная примесь элювиального материала. Образование их, повидимому, происходило еще в третичное время. В этих россыпях чаще попадается крупное золото и часто совместно с кварцем. Повидимому, они генетически связаны с "запеками" галечниками и железистыми конгломератами, отличающимися, как известно золотоносностью. Особенным богатством отличались россыпи Н. Суеты, доставившие приблизительно половину всего количества золота, добывшего в р-не. Все это говорит за то, что древняя гидрографическая сеть не совпадала с современной и таким образом, находка новых россыпей в Кельбесском р-не еще не исключена.

В заключение нужно отметить, что золотой промысел в прошлом был развит в следующих разных системах района. По Н. Суете работались долинные и увальные россыпи; кроме того, велись работы по ключам: Благовещенскому, Никольскому, Тарлинскому и Швецовскому. По Единису и Сухой россыпи разрабатывались только в их вершинах. По р. Кельбесу большие работы велись в системе Б. Силы (Глухаринки) и по кл. Александровскому. Наконец, в системе Верх. Суеты разработка россыпей велась, главным образом, в верхнем течении реки.

Что являлось источником золотых россыпей района? При обследовании россыпей Кельбесского р-на первое, что бросается в глаза, это обилие в отвалах глыб и галек железистых конгломератов, а также наличие большого количества хорошей окатанной гали кварца, кремнистых пород и кварцита. Этой особенностью характеризуются все без исключения россыпи р-на.

Реже в отвалах встречаются не окатанные глыбы кварца и других пород. Ранее прежние исследователи р-на (напр., Рeutовский) конкретно указывали на связь золота с железистыми конгломератами, коренные выходы которых *in situ* не наблюдались. Геологическое исследование партии, опирающееся, в свою очередь, на данные поисков и разведок, дает возможность представить условия золотоносности района в следующем виде.

Первоисточником золота конгломератов и россыпей р-на являются несомненно кварцевые жилы, генетически связанные с интрузией диорита. Рудные золотосодержащие жилы залегают преимущественно в толще кремнистых сланцев, кварцитов, зеленых сланцев, порфиритов, полосы которых, как видно из прилагаемой карты, протягивается по водоразделу р.р. Сухой, Единиса, Кельбеса и Барзаса. Такое заключение подтверждается также наличием в р-не свалов золотоносных кварцев. Так, работами промконторы свалы золотоносного кварца были обнаружены шахтой на Левой вершине Единиса, по р. Сухой ниже и выше Веро-Надеждинского прииска, при чем здесь одним местным жителем в отвалах шахты № 3 был найден самородок золота в белом кварце. Работами геологической партии были обнаружены свалы богатого золотом белого охристого кварца по Сапатому ключу, впадающему слева в Н. Суete, Благовещенскому ключу и по В. Суете (Константиновский ключ); известны кварцевые свалы с золотом по Камжале. По своему характеру кварцы в большинстве случаев представлены белыми, реже сероватыми плотными разностями с охристой примазкой; кроме кварцев, в деле золотоносности некоторая роль принадлежит также золотоносным кварцитам древней толщи. Следует упомянуть также о золотоносных кварцевых свалах, обнаруженных ортой по левому берегу Конюхты, выше устья Кондратьевского ключа, по Н. Суете выше Половинки и в устье Благовещенского ключа, где они обнаружены неглубокими выработками старателей. Золотоносность последних свалов партией не прорвана ввиду того, что к настоящему времени эти выработки не сохранились и небольшие отвалы их поросли травой. Известны свалы богатых золотом кварцитов по Благовещенскому ключу и Н. Суете в р-не Благовещенского прииска. Можно упомянуть еще о золотосодержащих железняках, обнаруженных по Петропавловскому ключу, левому притоку ср. Кельбеса.

Однако, главным источником золота как древних, так и особенно современных россыпей р-на являются конгломераты — как железистые, так и рушистые их разности. Значительная роль в образовании золотоносных россыпей принадлежит и серым конгломератам юрского возраста, а также, повидимому, верхним горизонтам конгломератов девонского возраста. Золотоносность железистых конгломератов является довольно устойчивой для данного р-на. Золото в железистых конгломератах содержится как в кварцевой гале, так и в железистом цементе. Что же касается серых юрских конгломератов Тарлинского ключа, то по данным опробования эти конгломераты, а также серые конгломеративные песчаники оказались более богаты и по содержанию золота, чем железистые конгломераты.

Юрские конгломераты представляют собою, повидимому, береговую (озерную или морскую) россыпь, вытянутую довольно правильной полосой в СЗ. направлении вдоль берега, сложенного породами нижнего палеозоя, содержащего в себе, коренные месторождения золота. Что касается золото-

носности железистых и рушистых конгломератов более молодого возраста, то они, представляя из себя озерные или аллювиальные отложения, частично могли заимствовать золото из юрских конгломератов за счет их размыва, а также за счет разрушения кварцевых жил.

VII. Заключение.

Еще давно в литературе известное значение придавалось золотоносным конгломератам Кельбесского золотоносного района, расположенного в СЗ. части горной системы Кузнецкого Алатау, как возможному рудному объекту, но в то же время ни стратиграфическое положение конгломератов, ни их золотоносность, ни их региональное распространение совершенно не были освещены.

В 1932 г. в Кельбесский р-н была послана геолого-поисковая партия, которая провела там геологическую и топографическую съемку (100 кв. км), и поисковые и разведочные работы для освещение условий золотоносности района.

Геологическое строение Кельбесского золотоносного р-на можно представить так. Основу его составляет толща альгонских известняков, силицилитов, кремнисто-глинистых сланцев, с горизонтами диабазов и диабазовых порфиритов. Все эти древние толщи собраны в складки сев.-зап. простирания и разбиты крупными тектоническими нарушениями. Интрузия диоритов, прорвавшая древние толщи в докембрийскую фазу складчатости, контактово изменила их с образованием графитовых мраморов, амфиболитов, кристаллических сланцев и, реже, скарнов и роговиков. Известным распространением в районе пользуются известняки кембрия с фауной археосиат, формация основных эфузивов (мандельштейнов) и толща лиловокрасных и зеленых сланцев и песчаников н. силура. Эти толщи также собраны складки СЗ. простирания, при чем, скорее всего, они представляют тектонически выкроенные участки, вытянутые в СЗ. направлении. Интрузивных тел диоритовой формации в этой толще обнаружено не было. Более поздней по времени является интрузия адамеллитов, происшедшая в период каледонской фазы складчатости. Жильные дериваты этой интрузии (аплиты и пегматиты) встречаются в толще мандельштейнов. Верхнедевонская трансгрессия моря отложила в р-не толщу красных конгломератов и песчаников, последняя выше переходит в известняково-песчанистую формацию нижнего карбона и выше — в продуктивную толщу балахонской свиты пермо-карбона. Позднее, в юрское время, трансгредирирующее море отложило толщу серо-зеленых конгломератов и песчаников, занявших значительные площади ЗЮЗ. части р-на.

Широким региональным распространением пользуется в р-не толща рыхлых образований третичного и четвертичного возраста, окутавшая мощным покровом все возвышенности и тем обусловившая слабую обнаженность р-на. Рыхлая толща представлена глинами и супесями с прослойками галечников, сцементированных бурым железняком и окристым песчано-глинистым материалом с образованием железистых конгломератов и запек. Мощность рыхлой толщи достигает 25—30 м.

Главным источником золота древних и современных россыпей Кельбесского р-на служат золотоносные конгломераты юрского и третичного возраста, но первоисточником их являлись кварцевые золоторудные жилы и вторичные кварциты, развитые в сланцево-эфузивной толще древних формаций. Эта рудоносная полоса, заключающая в себе кварцевые золотоносные жилы, протягивается полосой вдоль контакта с линейно-вытянутым телом диорита, приурочиваясь к водоразделу р.р. Сухой, Единиса, Н. Суэты, Кельбеса. Свалы золотоносных кварцевых жил нередко обнаруживались

в р-не глубокими выработками и по руслам рек (р. Единис, Н. Суэты); кроме того в россыпях часто встречаются не окатанные куски кварца с самородками золота. Все это подтверждает заключение о роли кварцевых золотоносных жил, как первоисточника древних и современных россыпей р-на. Золотоносные кварциты известны по Н. Суете в р-не Благовещенского прииска.

Юрские конгломераты, занимающие крупные площади по правобережью Н. Суэты в верховьях Конюхты и Кельбеса, как показали разведочные работы, залегают полого и характеризуются значительным содержанием золота; впрочем, качественная оценка их дается на основании ковшевого опробования. Юрские конгломераты, представляющие собою древнюю береговую россыпь, явились, повидимому, главным источником золота древних и современных россыпей и конгломератов третичного и четвертичного времени. Железистые и рушистые конгломераты и генетически с ними связанные россыпи Кельбесского р-на отличаются заметной золотоносностью, причем древние россыпи (увальные) являлись главным об'ектом золотопромышленности. Как показали разведочные работы и исследования партии золотоносными в р-не являются железистые конгломераты, "запеки" и даже железниты, но золотоносность последних незначительна.

Дальнейшие перспективы р-на должны исходить из детального освещения площади распространения, а также золотоносности как юрских, так и более поздних железистых и рушистых конгломератов и древних россыпей р-на.

Литература.

1. Зайцев—Геологические исследования вдоль линии Сиб. ж. д. в области Яи и Кии. Горн. Журнал, 1893 г. № 3.
2. Зайцев—О золотоносности россыпей Мариинского округа. Вестник Золотопромышленности, 1894 г. № 14, 15, 16, 17. 1895 г., № 23.
3. Рeutовский—Золотоносные районы Томского Горного Округа. Вестн. Золотопр. 1896 г. № 6—9.
4. Рeutовский—Полезные ископаемые Сибири; 1905 г.
5. Краснопольский—Геологические исследования в Мариинском и Томском округах. Геологические исследования по линии Сиб. ж. д., вып. XIV, 1898 г.
6. Обручев, В. А.—Геологический обзор золотоносных р-ов Сибири. Золото и Платина, ч. 1, 1911, № 1—5.
7. Бересневич—Отчет по статистико-экономическому и техническому исследованию золотопромышленности Томского Горн. Округа. 1912 г.
8. Никитин, Д. В.—Геологические исследования в Мариинской золотоносной тайге. Изв. Г. К., 1924 г., т. 43, № 2, ст. 151—152.
9. Никитин, Д. В.—Отчет о состоянии и деятельности Геол. Ком-та за 1925—26 г. стр. 91—92.
10. Никитин, Д. В.—Стратиграфия Мариинской тайги Том. губ. Записки Рос. Минер. О-ва, 1927 г., 2-я серия, ч. 56, вып. 1—2, стр. 231—232.
11. Никитин, Д. В.—Находка фауны в одной из древнейших толщ Кузнецкого Алатау. Геол. Вестн. 1928 г., т. IV, № 1—3.
12. Эдельштейн, Я. С.—Геологический очерк. З.-Сиб. равнины. Изв. ЗСОРГО, т. V, 1925—1926 г.
13. Бутов и Яворский—Кузнецкий каменноугольный бассейн. Тр. Г. К., вып. 177, 1927 г.
14. Усов, М. А.—Тельбесский железорудный район. Изв. СОГК, 1927 г. т. VI, вып. 5.
15. Коровин, М. К.—Очерк геологического строения и полезных ископаемых Томского округа. Труды О-ва изучения Томского края, вып. 1. 1927 г.
16. Радугин, К. В.—Отчет о работах в СЗ. оконечности Кузнец. Алатау в 1928 г. (О. Ф. ЗСГРТреста).
17. Жуков, П. В.—Отчет о работе Мариинской учетно-экономической партии, 1929 г. (О. Ф. ЗСГРТреста).
18. Усов, М. А.—Фазы эфузивов, Томск 1929 г.
19. Гуковский, Е. А.—Мариинская золотоносная тайга, 1931 г. (О. Ф. ГРТреста. Томск).
20. Чураков, А. Н.—Кузнецкий Алатау, АН СССР, 1932 г.
21. Кузьмин, А. М.—Геологический обзор Горной Шории. Минерально-сыревая база Кузнец. Метал. Комбината, изд. ГСРТ и КМК, 1933 г.
22. Дингельштедт, Н. Н.—Геологические исследования в бас. р. Больш. Кожуха (Мариинская тайга). Труды ВГР Об'единения НКТП СССР, вып. 249, 1933 г.

Summary.

The Kelbes goldbearing region is situated in the northern part of Kusnetsk Alatau and covers the lowest area of it. The main water systems of the region are Kelbes and Zolotoi Kitat rivers composing left affluents of the Iaia River.

In the past the region was marked by richness of goldfields. At present its gold production is in decline. In 1932 the region was geologically investigated and surveyed in economic aspect.

The Algonk and Lower Palaeozoic formations constitute the main part of the region. Algonk is here presented by masses of marble, quartzite, siliceous shales with carbonaceous limestone interlayers gathered in folds of north-western strike. Linearly elongated intrusive bodies of diorites and gabbrodiorites are subordinated to the Algonk series; with these intrusives the quartz goldbearing veins are genetically connected. The diorite intrusion is thought to be of Algonk age. Tectonically limited from Algonk series appears a mass of Cambrian limestones faunistically determined, and mass of reddish-lilac shales and effusives of mandelstein type of silurian age.

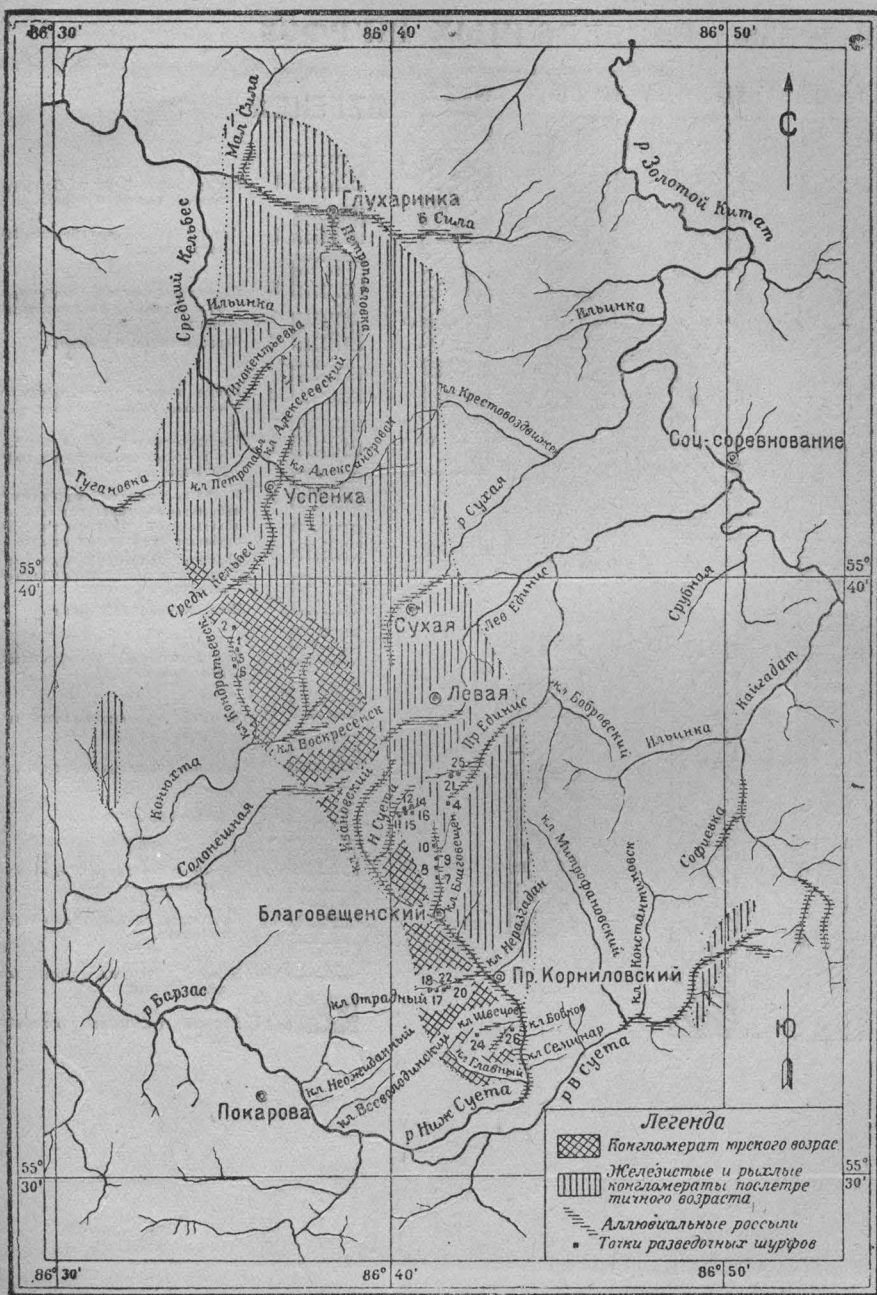
The younger intrusion of adamellite appears in form of small bodies breaking through Lower Palaeozoic masses. The younger formations are those of diagenetic effusives: albitophyres and porphyrites of Lower Devon; those of red sandstones and conglomerates of Upper Devon; those of limestones with Lower Carbon fauna and productive series of Upper Carbonian with coalbeds. All these Middle and Upper Palaeozoic formations are situated in a south-western part of the explored region.

The youngest formations are almost horizontally bedded Jurassic series of goldbearing conglomerates and sandstones, friable masses of Tertiary age with interlayers of ferriferous gold-bearing conglomerates, and Quaternary deposits. The Jura and Tertiary goldbearing conglomerates have been main sources of gold in rich goldfields of the region.

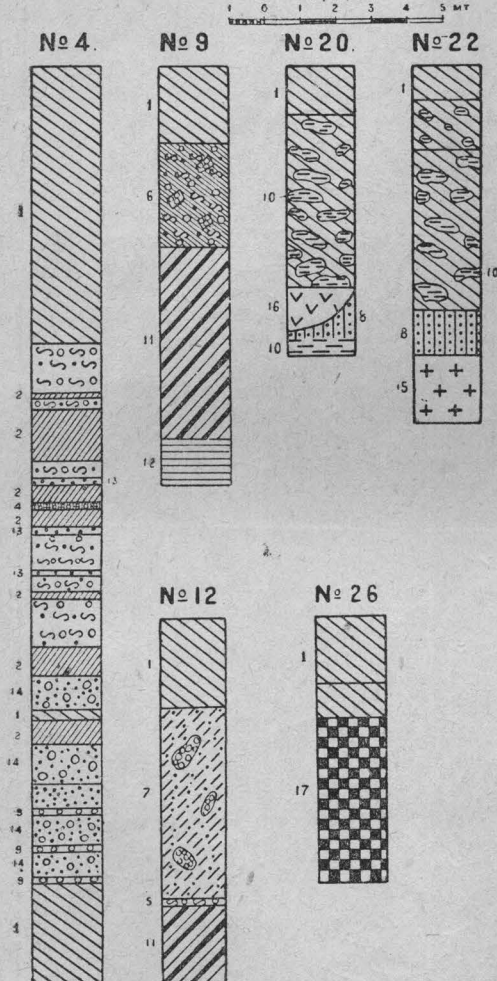
Карта распространения конгломератов Кельбесского района

Составлена геологом П. С. Краснопеевой 1932 г.

1 0 1 2 3 4 км



РАЗРЕЗЫ РАЗВЕДОЧНЫХ ШУРФОВ



ЛЕГЕНДА

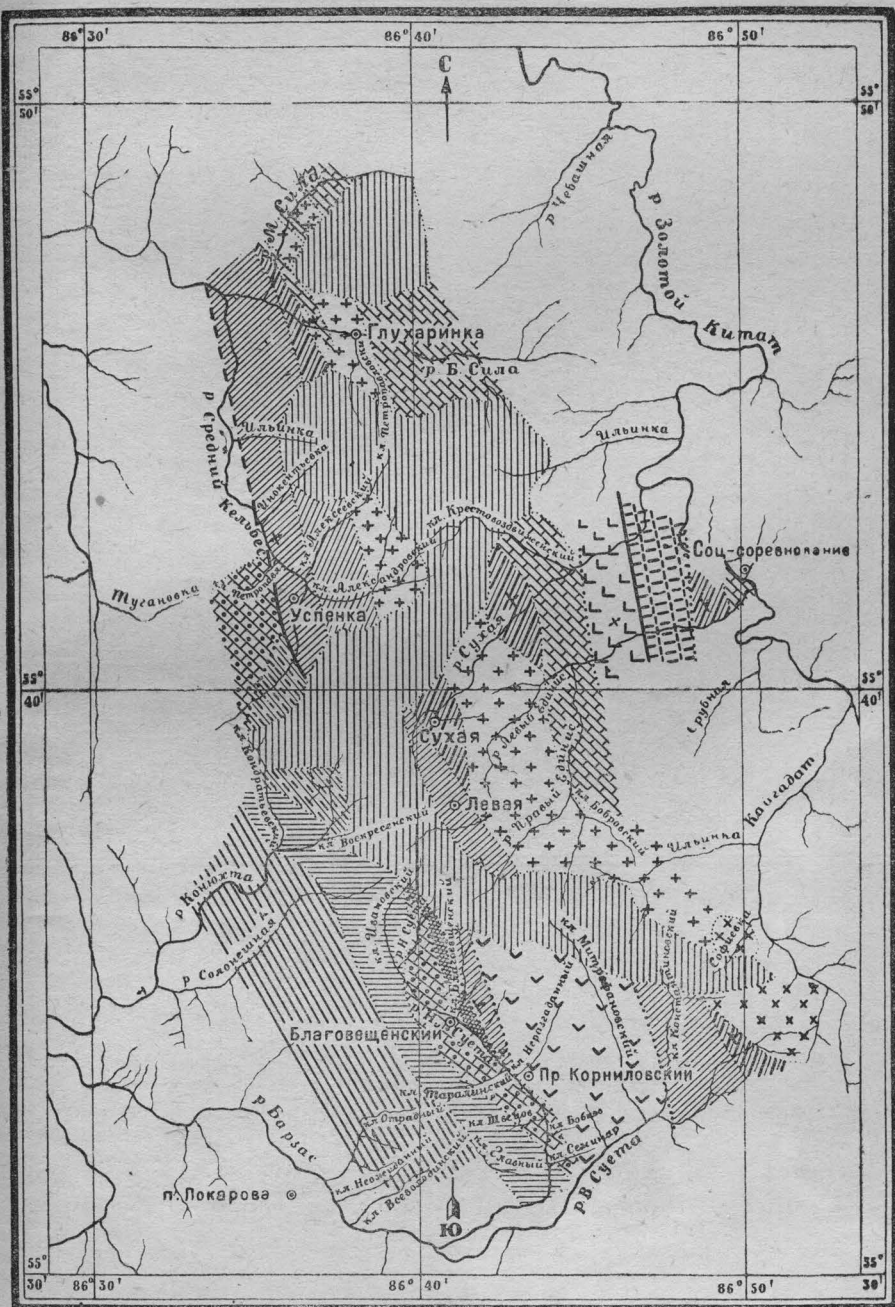
- 1 Глина желто-бурового, бурого, серого, зольного цвета.
- 2 Глина белого, голубовато-белого цвета.
- 3 Песчано-глинистый материал бурового, светло-серого цвета.
- 4 Рыхлый песок с галькой.
- 5 Глина желто-бурового цвета с мелькой галькой кварца.
- 6 Песчано-глинистый материал с глыбами железистого конгломерата.
- 7 Песчано-глинистый материал с небольшим количеством глыбок железистого конгломерата и щебени кремнистых пород.
- 8 „Запека“ рушистый конгломерат с песчано-глинистым цементом.
- 9 Железистый конгломерат.
- 10 Песчаник серый с железистыми прослойками.
- 11 Элювий кремнисто-глинистых пород.
- 12 Кремнисто-глинистые сланцы.
- 13 Светло-серый песок.
- 14 Серый конгломерат юрского возраста.
- 15 Глинистые сланцы темно-серого цвета.
- 16 Элювий черных глинистых сланцев (Au).
- 17 Элювий девонских конгломератов.

ГЕОЛОГИЧЕСКАЯ КАРТА КЕЛЬБЕССКОГО РАЙОНА

Составлена геологом П.С.Краснопевовой

1932 г.

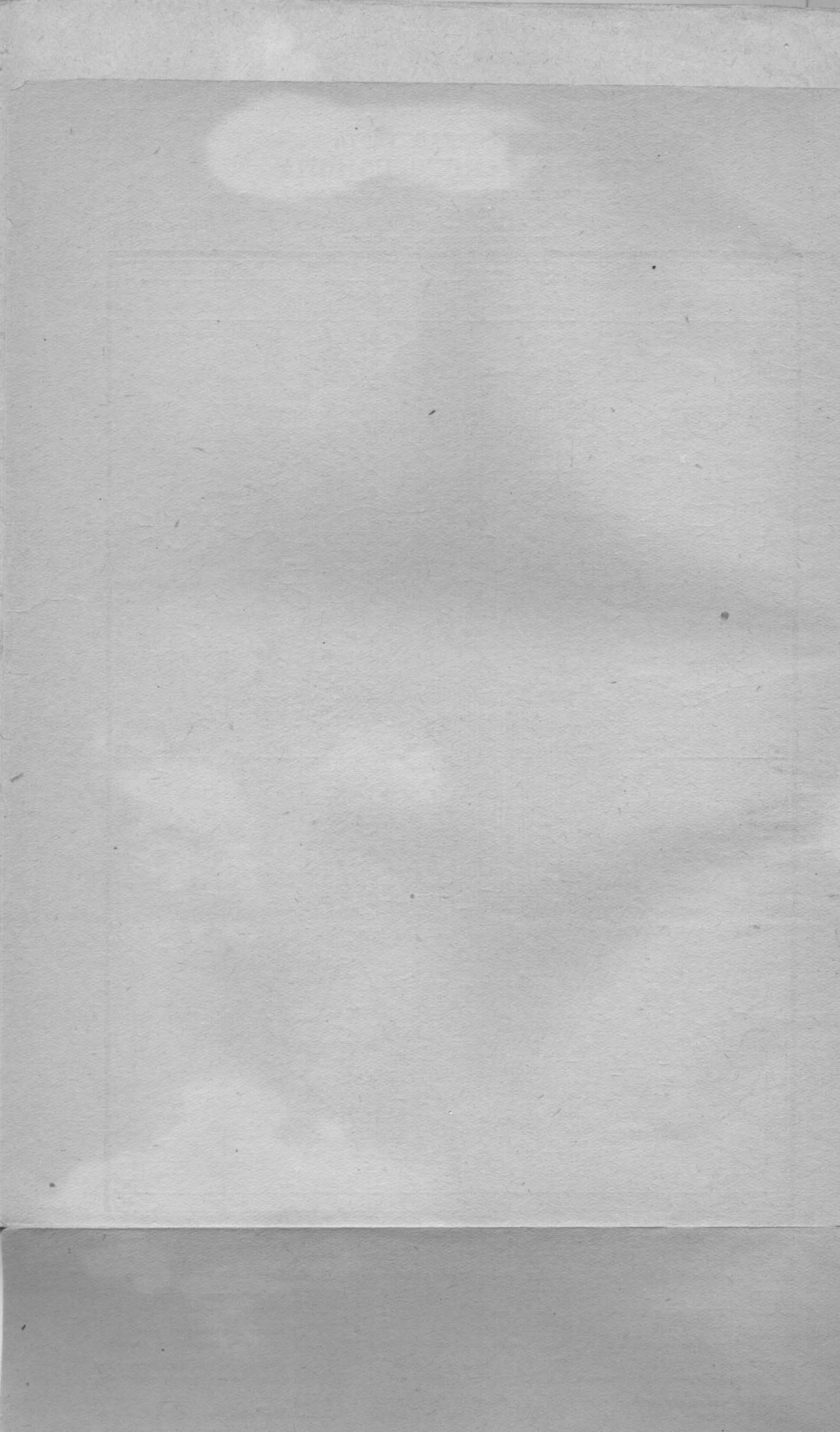
1 0 1 2 3 4 5 6 7 км

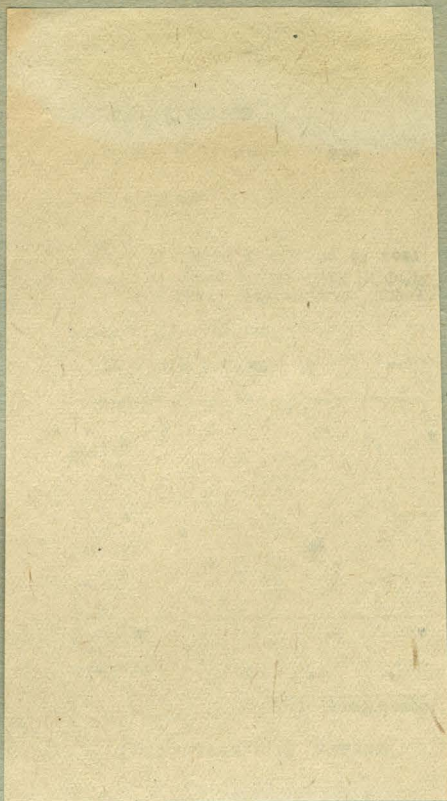


ЛЕГЕНДА

Рыхлая толща с железистыми конгломератами		Альбитофирмы и порфириты D_1		Габбро, диориты
Песчаники и конгломераты J		Адамеллиты $D_1 - S_2$		Амфиболиты, зеленые сланцы, диабазы
Продуктивная толща C_3		Толща мандельштейнов		Толща кремнистых сланцев, кварцитов, глинистых сланцев
Известники нижнего карбона C_1		Лиловые и зеленые глинистые сланцы		Кристаллические известники с графитом, биминозные известники
Красные конгломераты и песчаники девона D_3		Известники с фауной археозиат $Ст^2 - Ст^1$		Тектонические линии

Исполнитель Войниловский





Цена 3 р. 50 к.

35а